

Busca da origem da assimetria matéria antimateria no Universo, na experiencia LHCb.

Ignacio Bediaga

Centro Brasileiro de Pesquisas Físicas

1- Questões gerais sobre anti matéria.

2- Condições de Sakharov e a violação de CP.

3- Força fraca, estrutura de famílias.

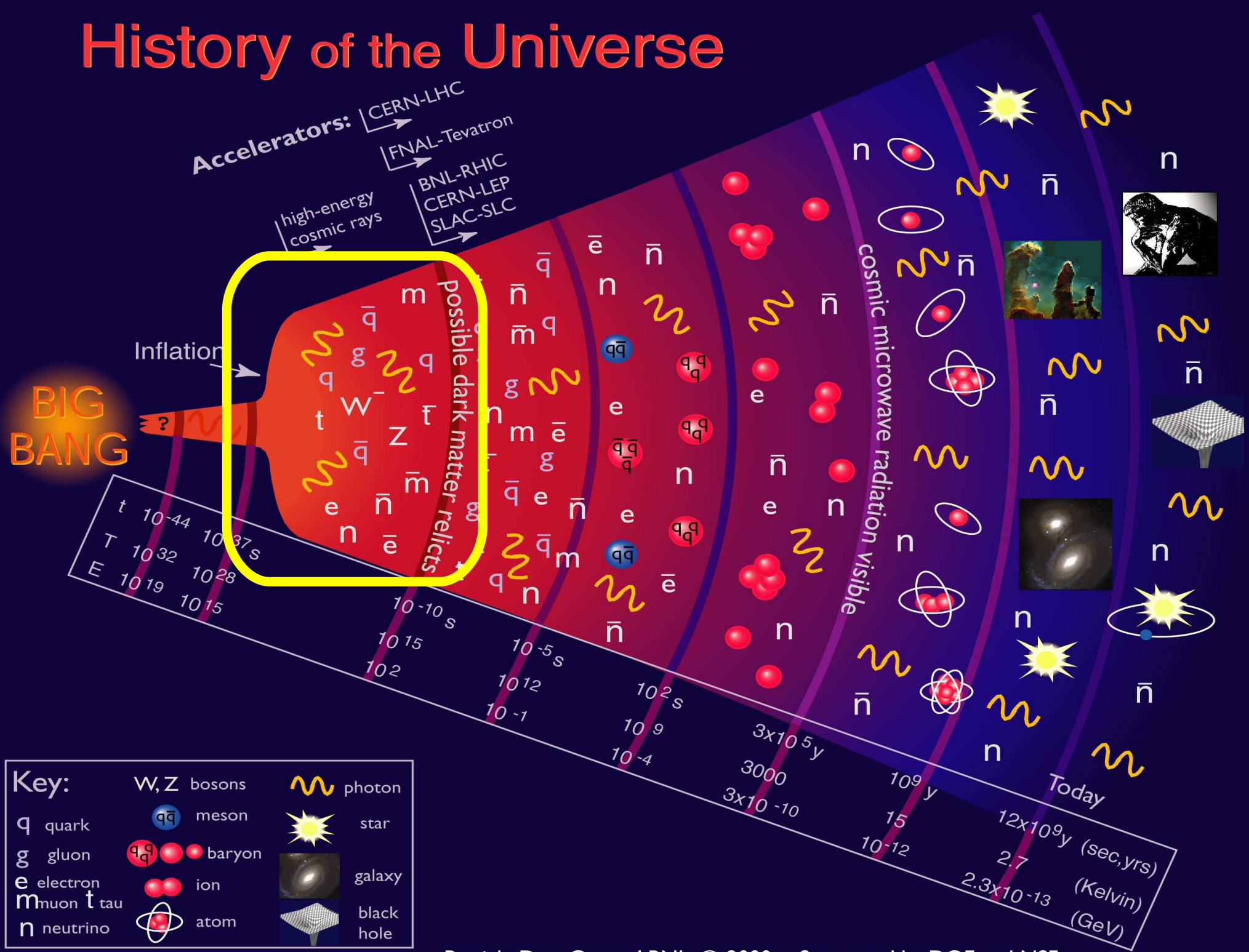
4- Produção e desintegração de partículas e o boson de Higgs.

5- Desintegração de partículas em três corpos e busca por violação de CP.

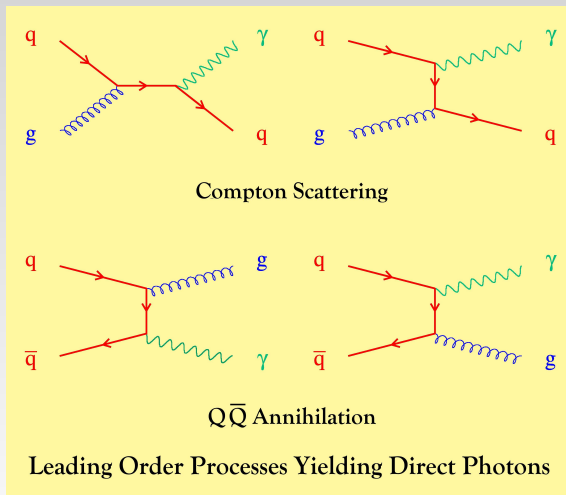
6- Sumário

Questões gerais sobre
anti matéria

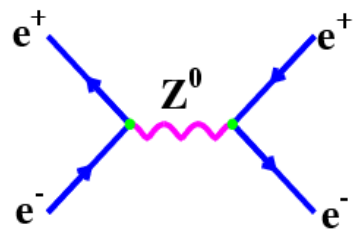
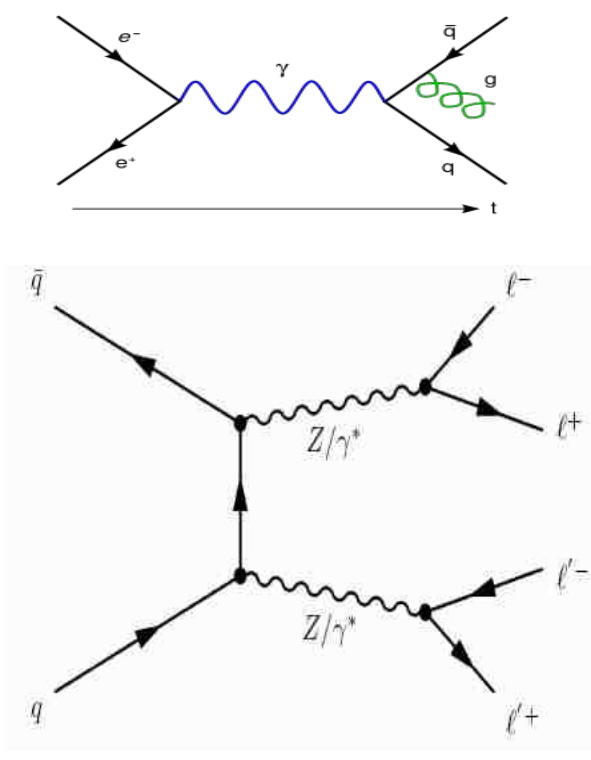
History of the Universe



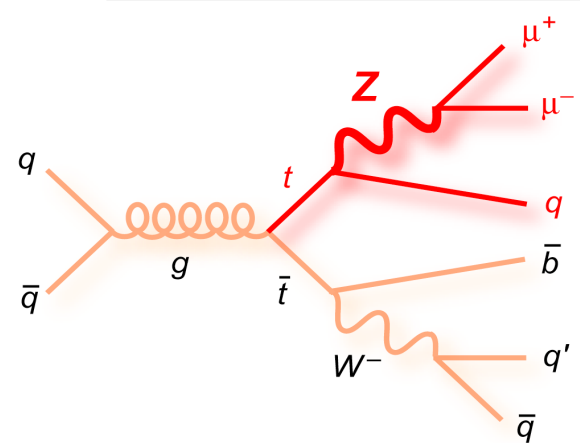
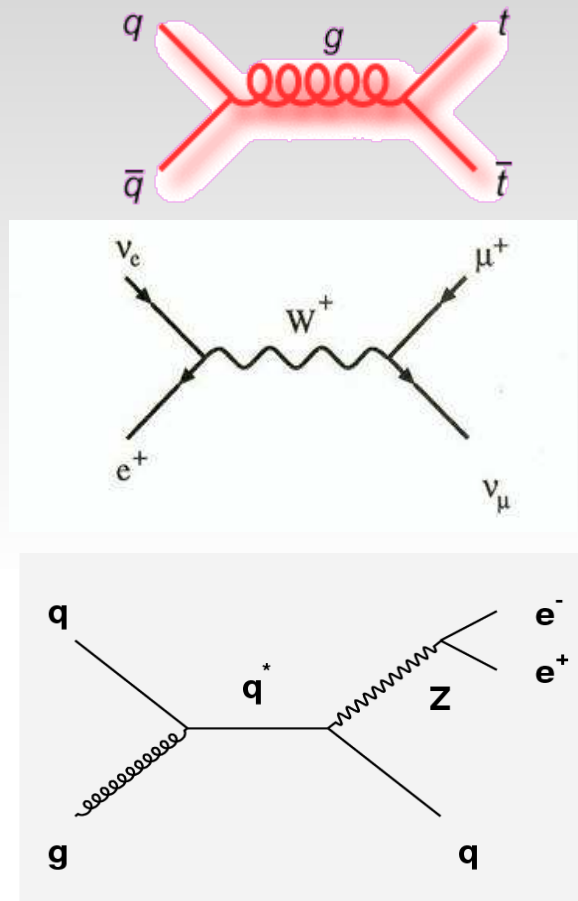
Criação - aniquilação - criacao-.....



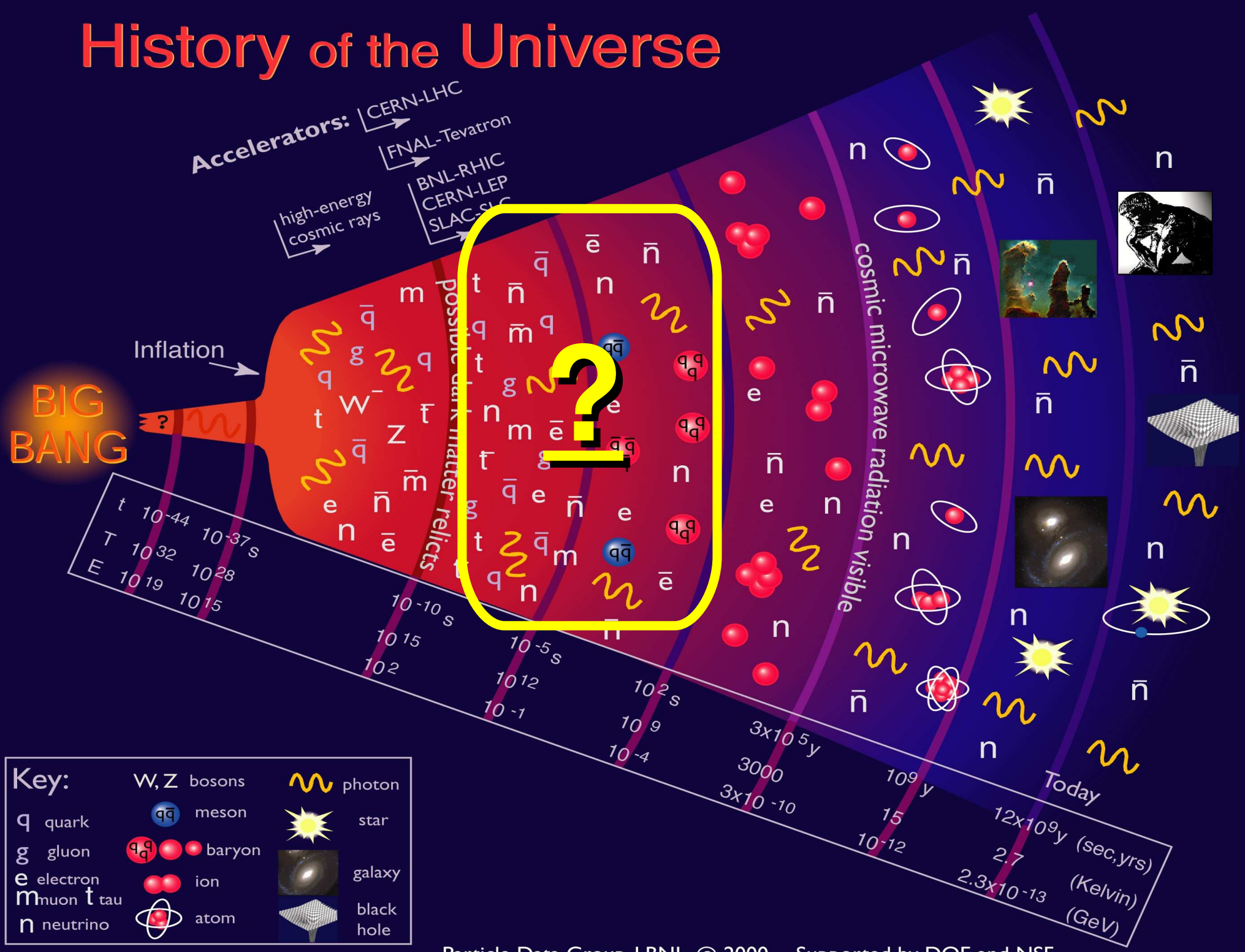
Elementary Particles						
Quarks	u up	c charm	t top	γ photon	Force Carriers	
	d down	s strange	b bottom	g gluon		
Leptons	ν_e electron neutrino	ν_μ muon neutrino	ν_τ tau neutrino	Z Z boson	Force Carriers	
	e electron	μ muon	τ tau	W W boson		
I II III						
Three Families of Matter						



tempo

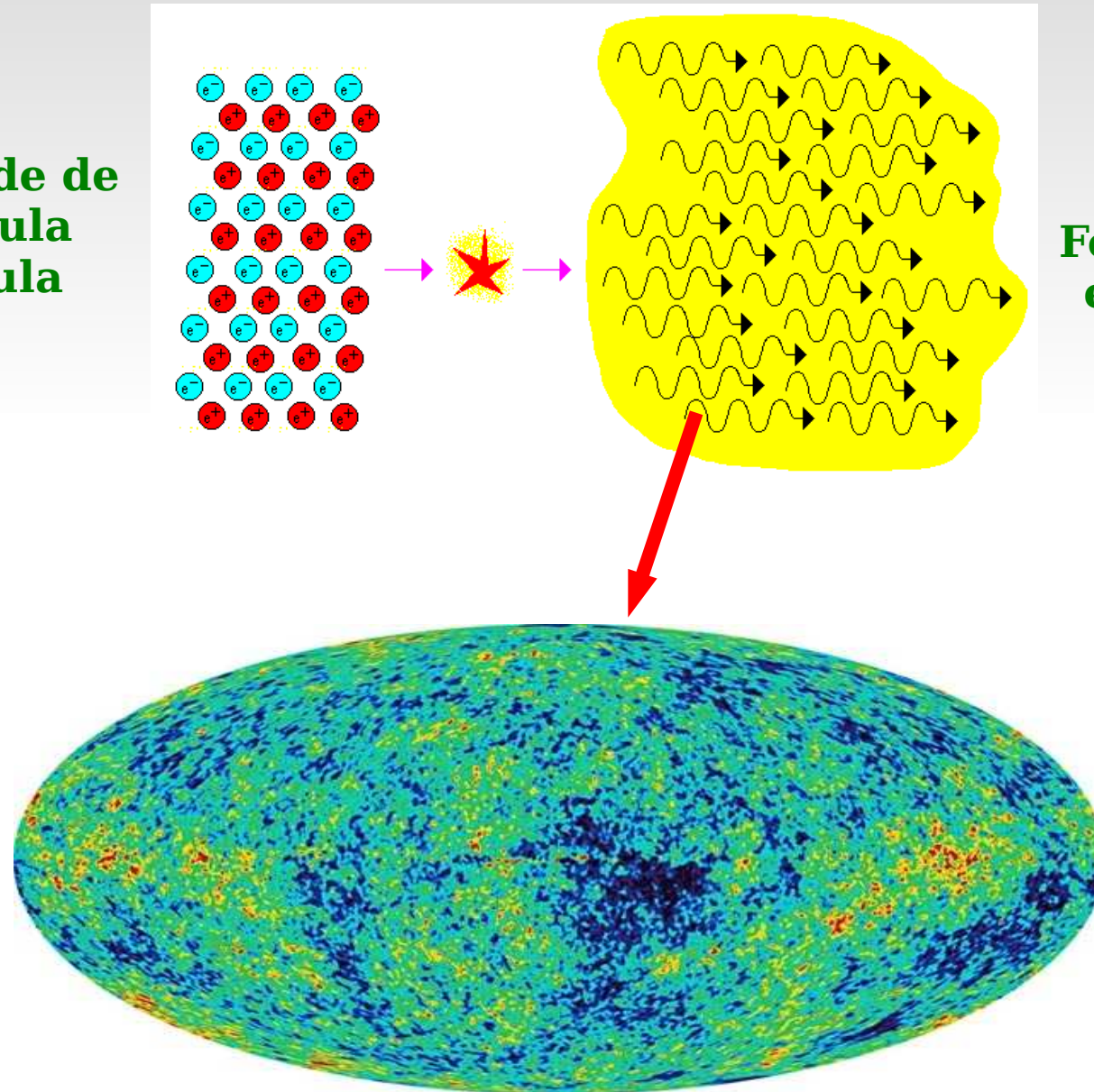


History of the Universe



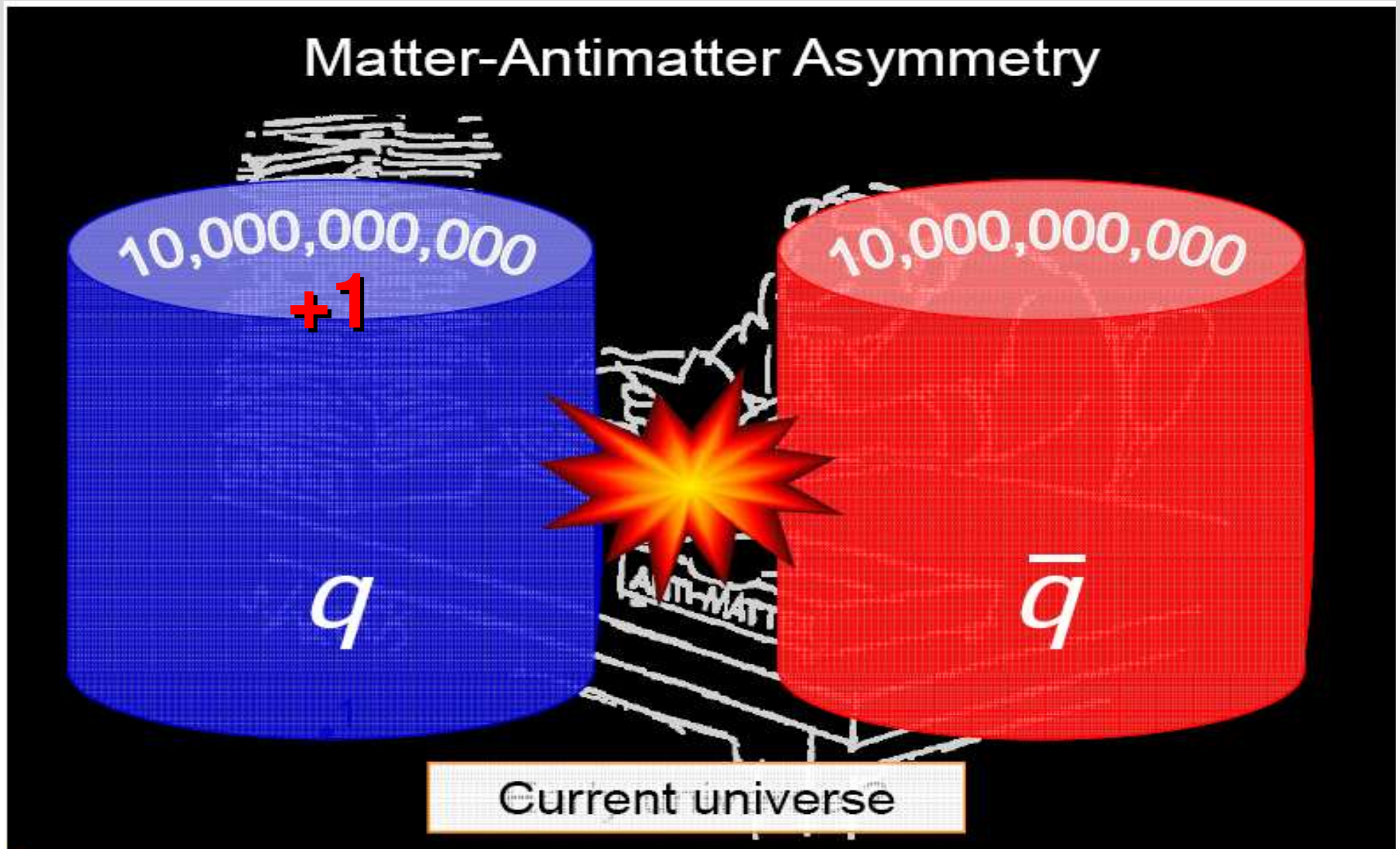
Expansão e resfriamento

Uma infinidade de pares partícula anti-partícula



Leva a uma infinidade de Fótons com mesma energia pairando pelo Universo

Proporção partícula anti-partícula

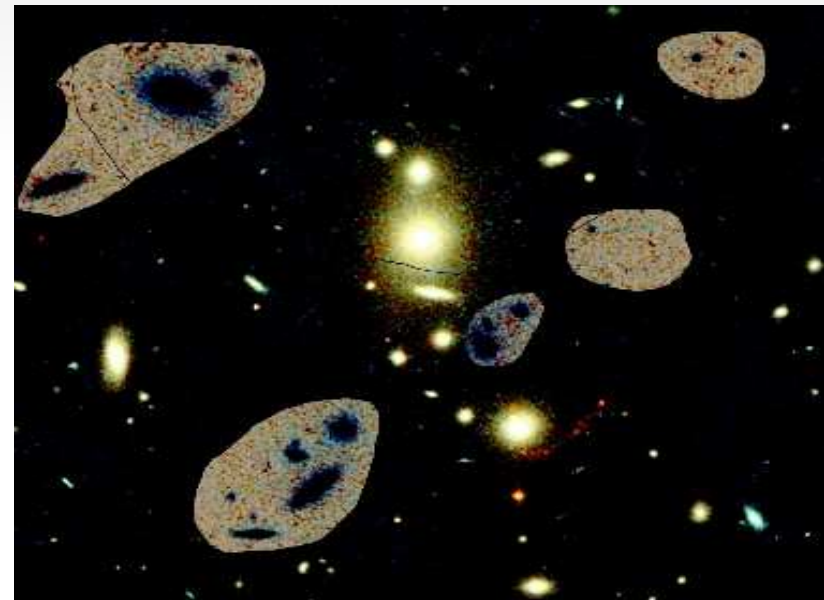
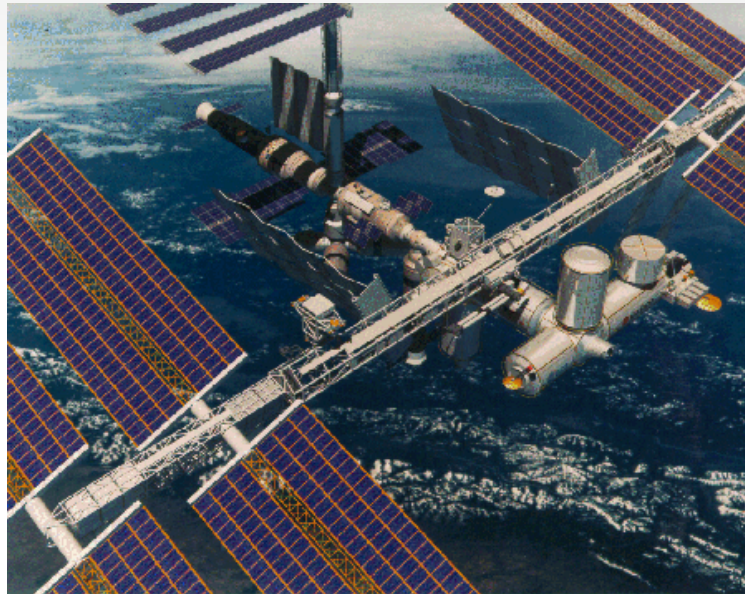


$$\frac{\Delta n_{\text{baryon}}}{n_\gamma} = \frac{n_{\text{baryon}} - \bar{n}_{\text{baryon}}}{n_\gamma} \sim O(10^{-10})$$

Onde esta a Anti-Matéria?

Balões com detectores de anti-partículas.

Radio telescópios, satélites com detecção de raios gamma e raios X.



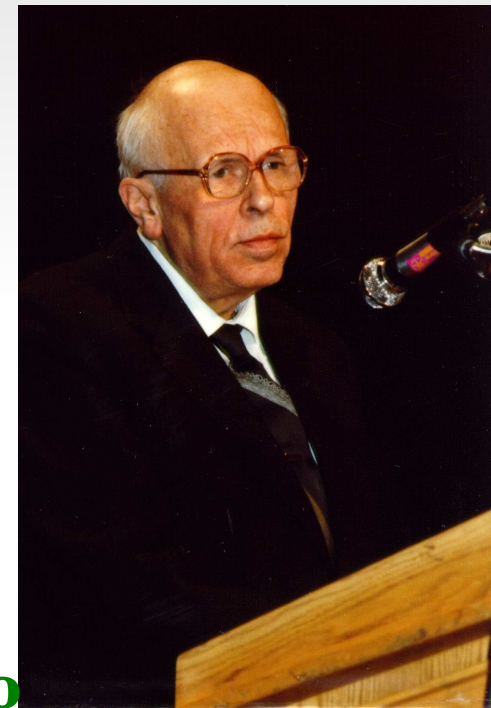
Nenhuma evidência de anti-matéria em ~ 1 Bilhão de anos luz

Condições de Sakharov e a
violação de CP.

Condições de Sakharov

Para a produção da assimetria entre a matéria e a antimateria, observada no universo atual, são necessárias duas condições:

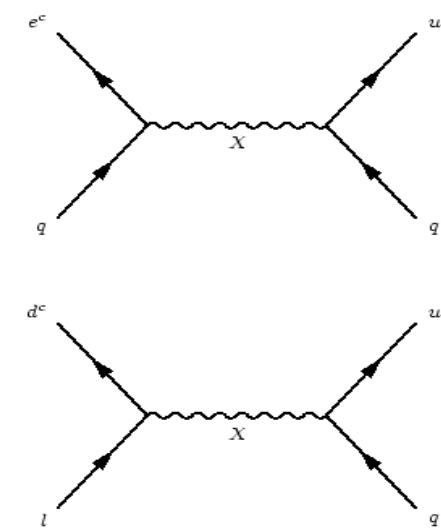
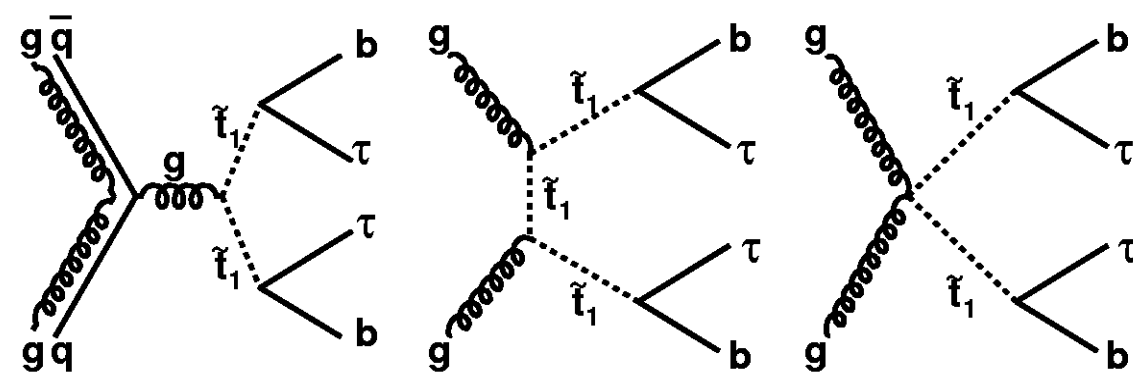
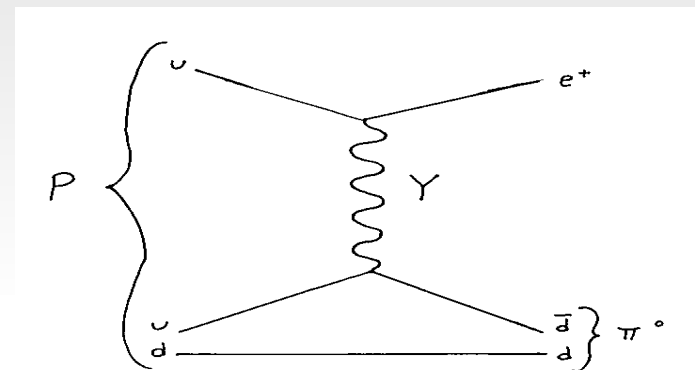
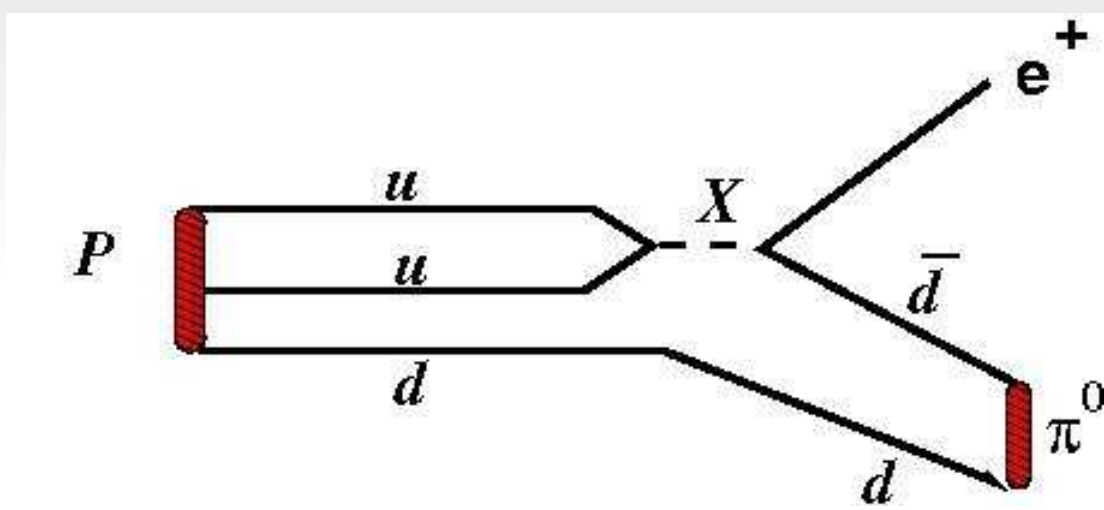
- 1- O número bariônico ser violado.
- 2- Violação de C e de CP.



Estas duas condições seriam possíveis, segundo Sakharov, somente em um sistema fora do equilíbrio termodinâmico, ou seja no Universo em forte expansão.

1º condição: violação do número Bariônico

Processos onde: o número de quarks, menos o número de anti-quarks, é diferente entre o estado inicial e final.



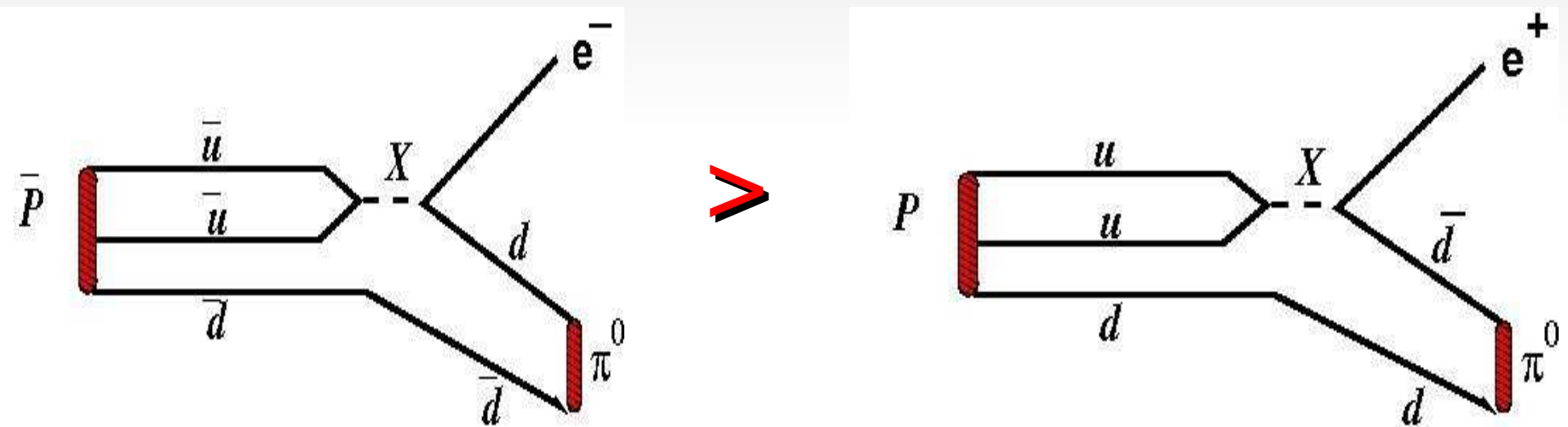
Resultados Experimentais: PDG

p DECAY MODES	Partial mean life (10^{30} years)	Comments	Antilepton + mesons
Antilepton + meson			
$N \rightarrow e^+ \pi$	> 158 (<i>n</i>), > 1600 (<i>p</i>)		$p \rightarrow e^+ \pi^+ \pi^-$ p > 82
$N \rightarrow \mu^+ \pi$	> 100 (<i>n</i>), > 473 (<i>p</i>)		$p \rightarrow e^+ \pi^0 \pi^0$ p > 147
$N \rightarrow \nu \pi$	> 112 (<i>n</i>), > 25 (<i>p</i>)		$n \rightarrow e^+ \pi^- \pi^0$ n > 52
$p \rightarrow e^+ \eta$	> 313		$p \rightarrow \mu^+ \pi^+ \pi^-$ p > 133
$p \rightarrow \mu^+ \eta$	> 126		$p \rightarrow \mu^+ \pi^0 \pi^0$ p > 101
$n \rightarrow \nu \eta$	> 158		$n \rightarrow \mu^+ \pi^- \pi^0$ n > 74
$N \rightarrow e^+ \rho$	> 217 (<i>n</i>), > 75 (<i>p</i>)		$n \rightarrow e^+ K^0 \pi^-$ n > 18
$N \rightarrow \mu^+ \rho$	> 228 (<i>n</i>), > 110 (<i>p</i>)		
$N \rightarrow \nu \rho$	> 19 (<i>n</i>), > 162 (<i>p</i>)		
$p \rightarrow e^+ \omega$	> 107		
$p \rightarrow \mu^+ \omega$	> 117		
$n \rightarrow \nu \omega$	> 108		
$N \rightarrow e^+ K$	> 17 (<i>n</i>)		
$p \rightarrow e^+ K_S^0$	> 120		
$p \rightarrow e^+ K_L^0$	> 51		
$N \rightarrow \mu^+ K$	> 26 (<i>n</i>)		
$p \rightarrow \mu^+ K_S^0$	> 150		
$p \rightarrow \mu^+ K_L^0$	> 83		
$N \rightarrow \nu K$	> 86 (<i>n</i>)		
$n \rightarrow \nu K_S^0$	> 51		
$p \rightarrow e^+ K^*(892)^0$	> 84		
$N \rightarrow \nu K^*(892)$	> 78 (<i>n</i>)		
Lepton + meson			
			$n \rightarrow e^- \pi^+$ n > 65
			$n \rightarrow \mu^- \pi^+$ n > 49
			$n \rightarrow e^- \rho^+$ n > 62
			$n \rightarrow \mu^- \rho^+$ n > 7
			$n \rightarrow e^- K^+$ n > 32
			$n \rightarrow \mu^- K^+$ n > 57
Lepton + mesons			
			$p \rightarrow e^- \pi^+ \pi^+$ p > 30
			$n \rightarrow e^- \pi^+ \pi^0$ n > 29
			$p \rightarrow \mu^- \pi^+ \pi^+$ p > 17
			$n \rightarrow \mu^- \pi^+ \pi^0$ n > 34
			$p \rightarrow e^- \pi^+ K^+$ p > 75
			$p \rightarrow \mu^- \pi^+ K^+$ p > 245
Antilepton + photon(s)			
			$p \rightarrow e^+ \gamma$ p > 670
			$p \rightarrow \mu^+ \gamma$ p > 478
			$n \rightarrow \nu \gamma$ n > 28
			$p \rightarrow e^+ \gamma \gamma$ p > 100
			$n \rightarrow \nu \gamma \gamma$ n > 219

Aparentemente somente em sistemas fora do equilíbrio termodinâmico.

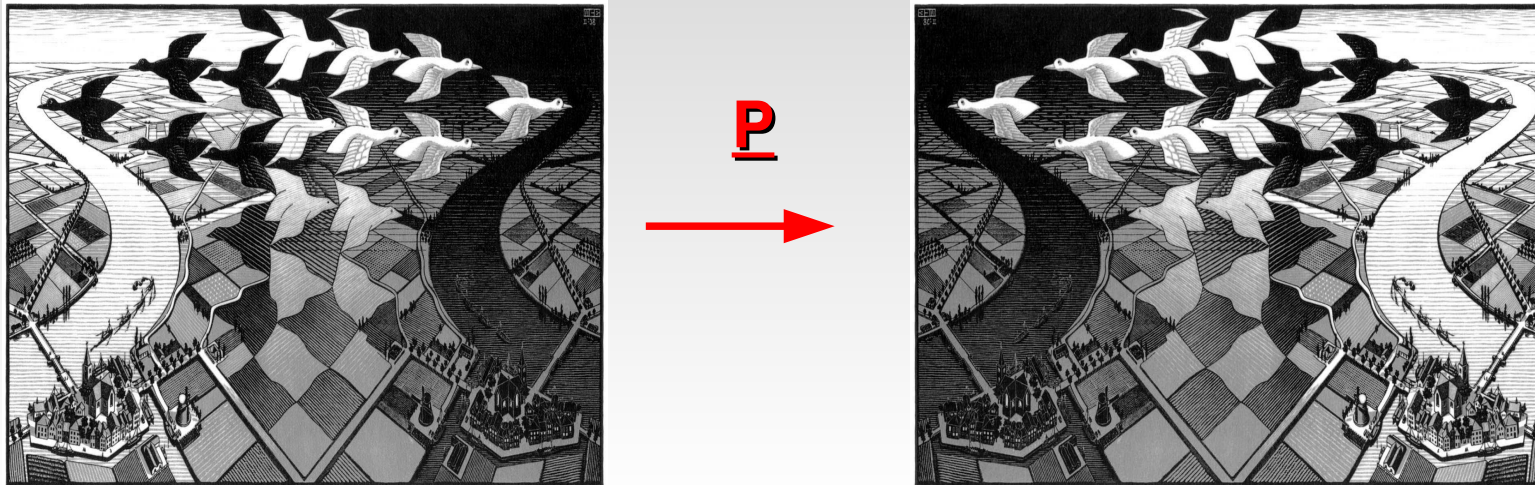
2^o condição: violação de CP

Desintegração do próton seria menor que a do antiproton



Isto daria conta do fato de que a soma das cargas elétrica do Universo é zero

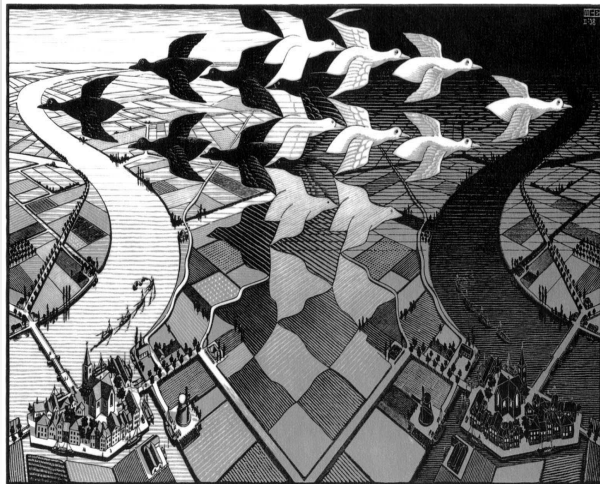
Simetria de P



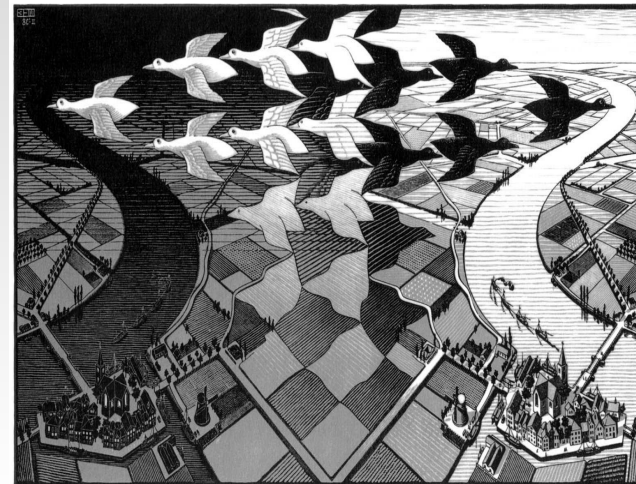
Simetria de reflexão:
Partículas aves pretas
Antipartículas aves brancas

Simetria conservada nas interações eletromagnéticas e fortes
Violada nas interações fracas

Simetria de Conjugação de Carga



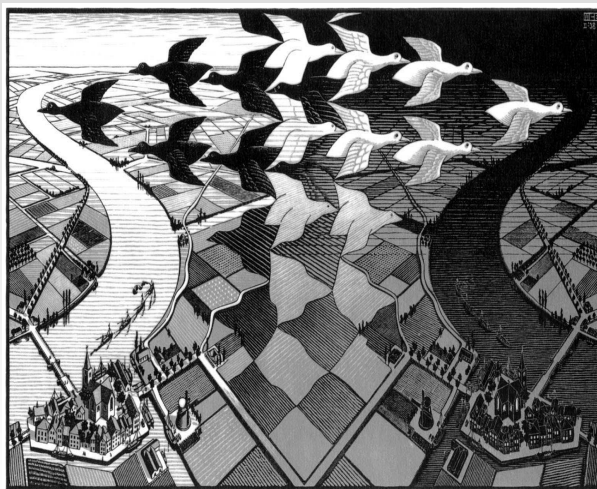
C
→



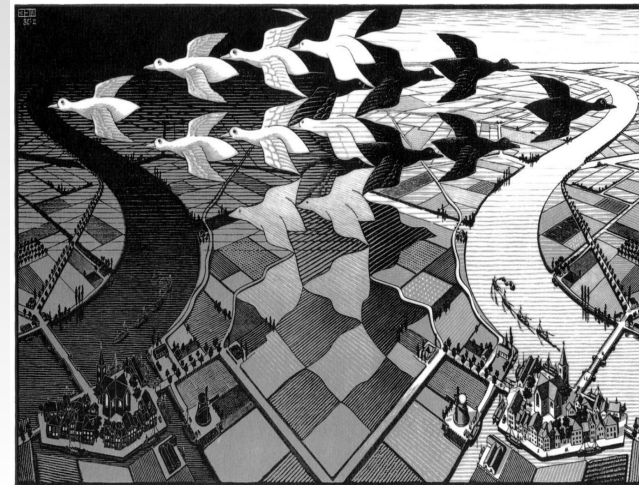
Simetria de conjugação de carga:
Partículas aves pretas
Antipartículas aves brancas

Simetria conservada nas interações eletromagnéticas e fortes
Violação as interações fracas na mesma proporção de P, para a conservação de CP.

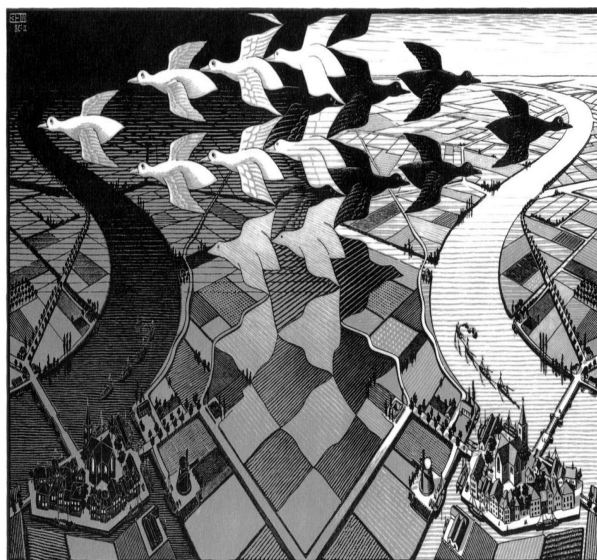
Simetria de CP



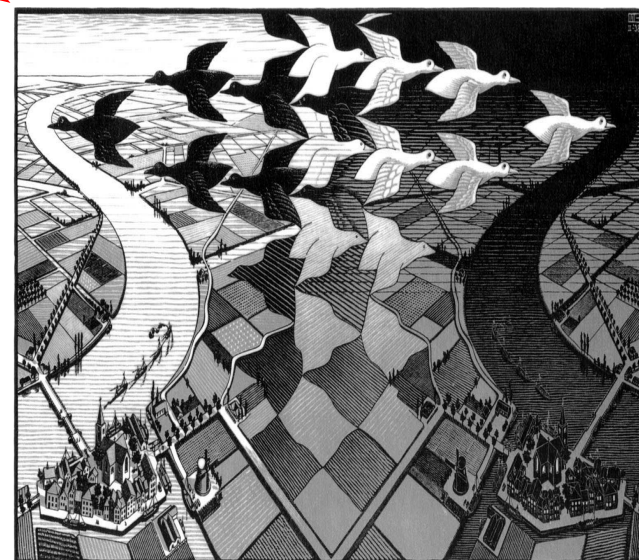
P
→



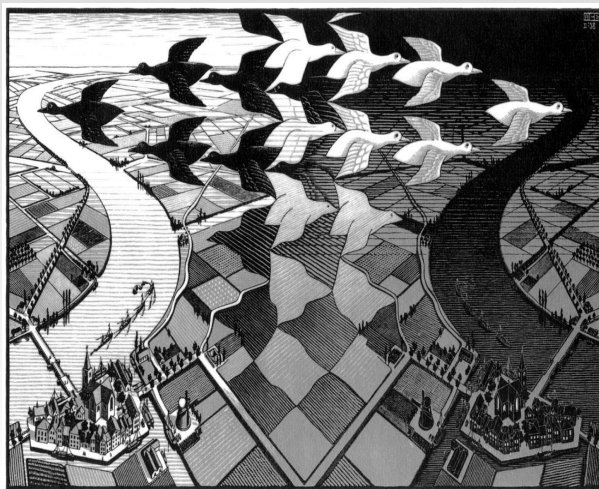
C
↓



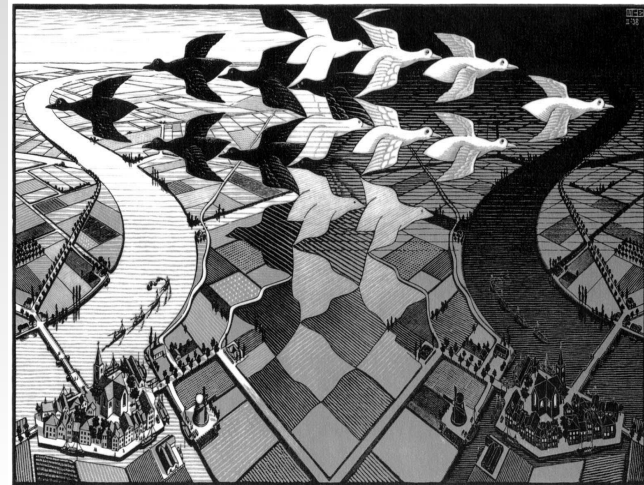
CP
→



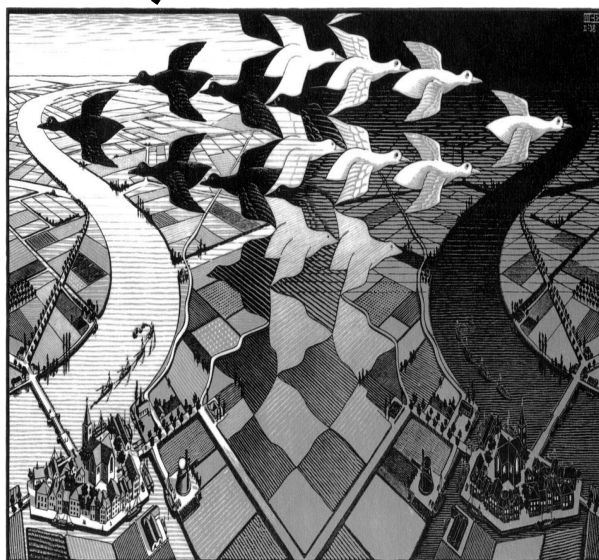
Simetria de CP



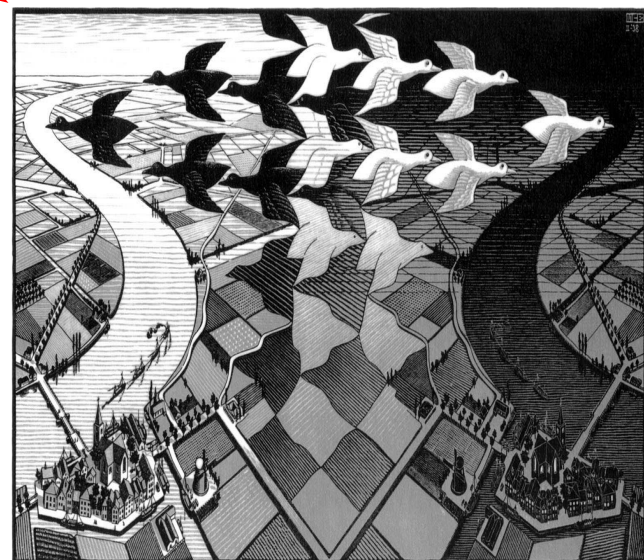
~~P~~



CP

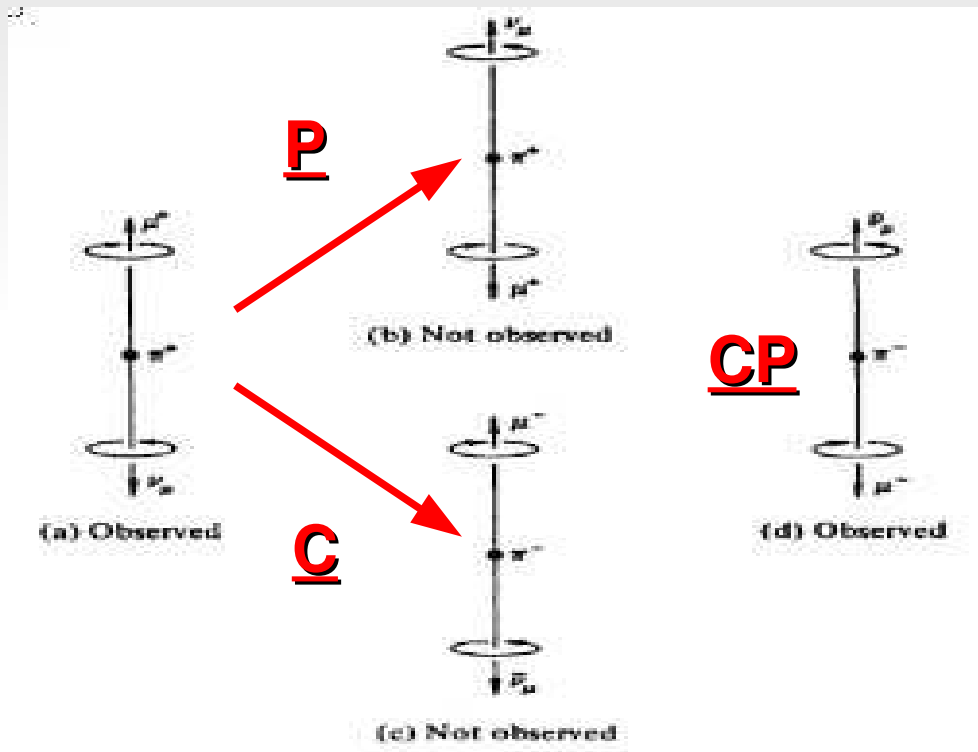


~~C~~

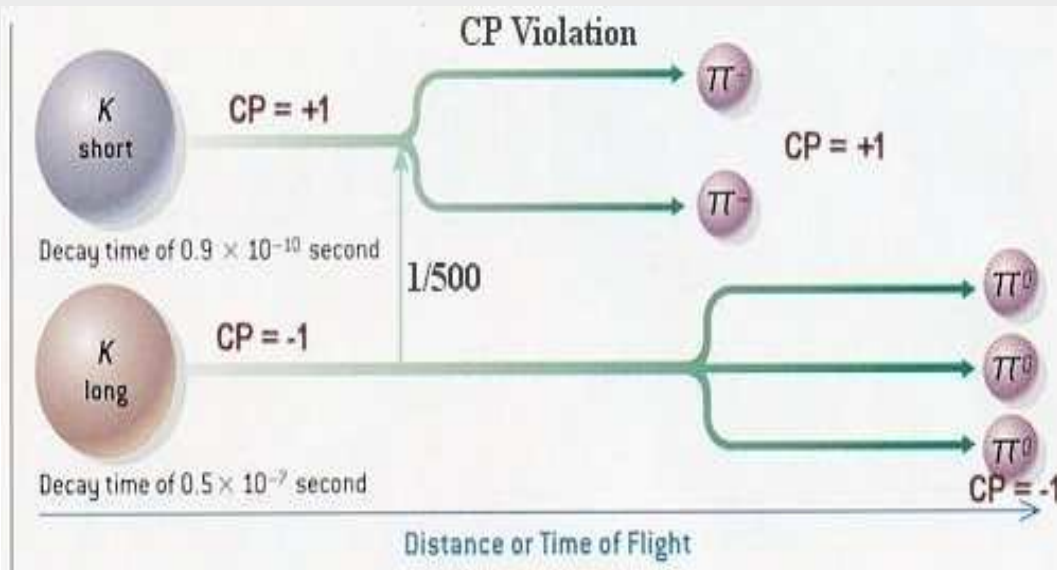


Simetria de CP:

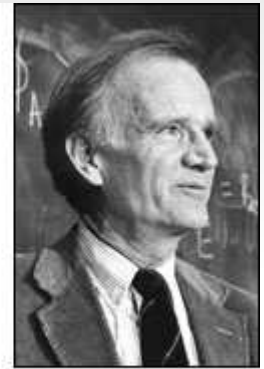
decaimento do méson $\pi^+ \rightarrow \mu^+ \nu$



Observação de Violação da Simetria de CP



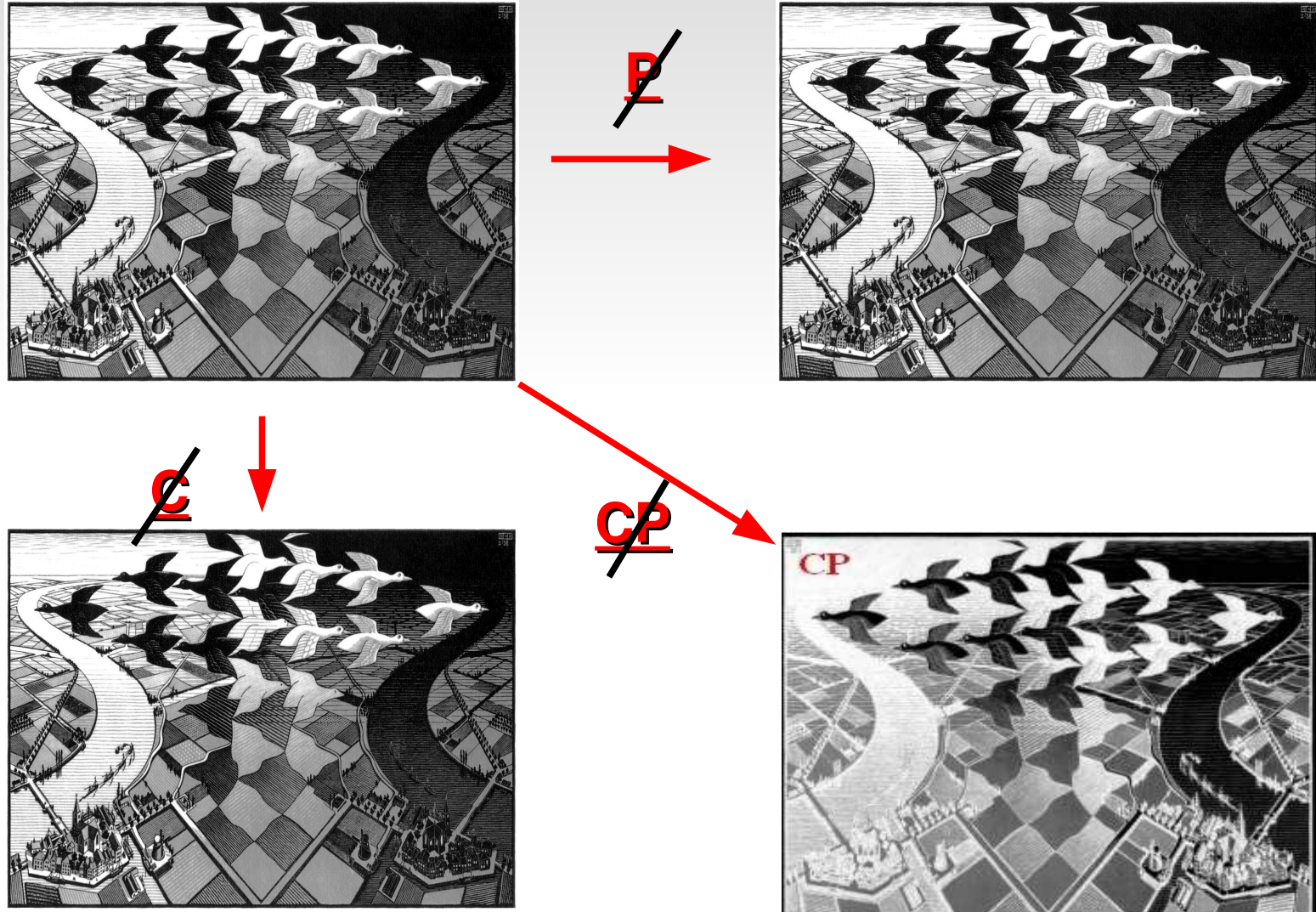
James Cronin



Val Fitch

1/500 dos K_{long} se desintegram em 2 píons, violando CP .

Simetria de CP

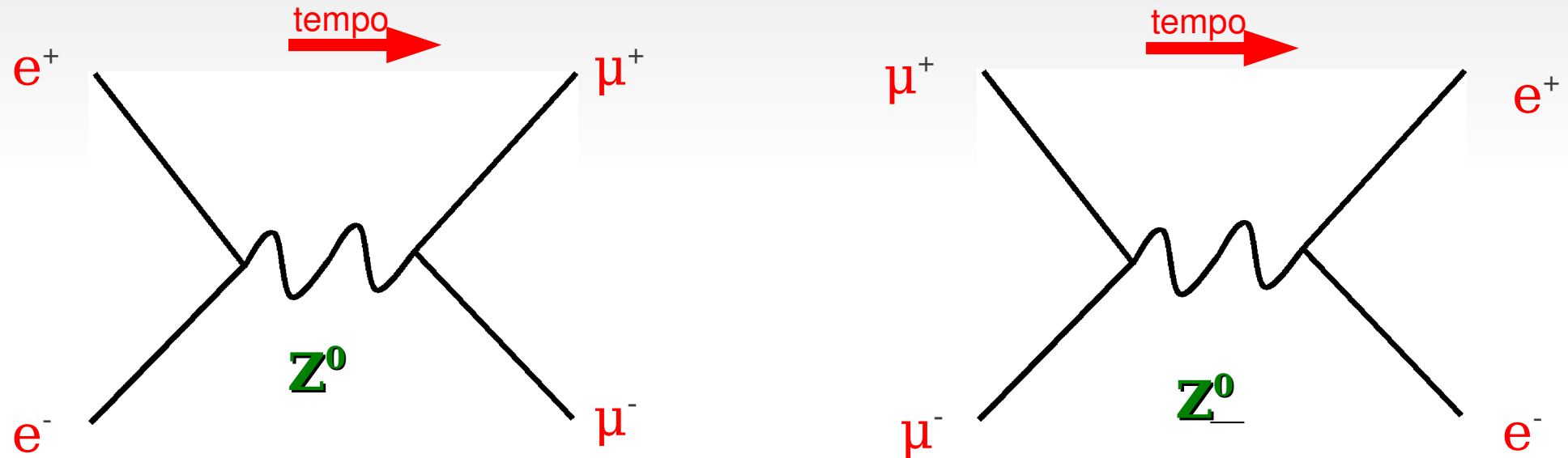


Simetria conservada nas interações eletromagnéticas e fortes
Violação em pequenas proporções nas interações fracas.

Teorema de CPT

Se aplica a qualquer teoria invariante de Lorentz, onde os observáveis são representados por operadores hermitianos.

Violação de CP → Irreversibilidade.



Transformação em tempo deve ser descrita por

uma transformação unitária e complexa $e^{-iEt} \rightarrow T \rightarrow e^{iEt}$.

Violação de CP implica na existência de uma fase.

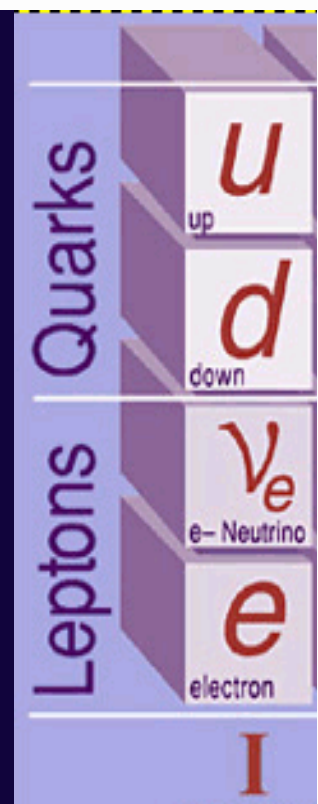
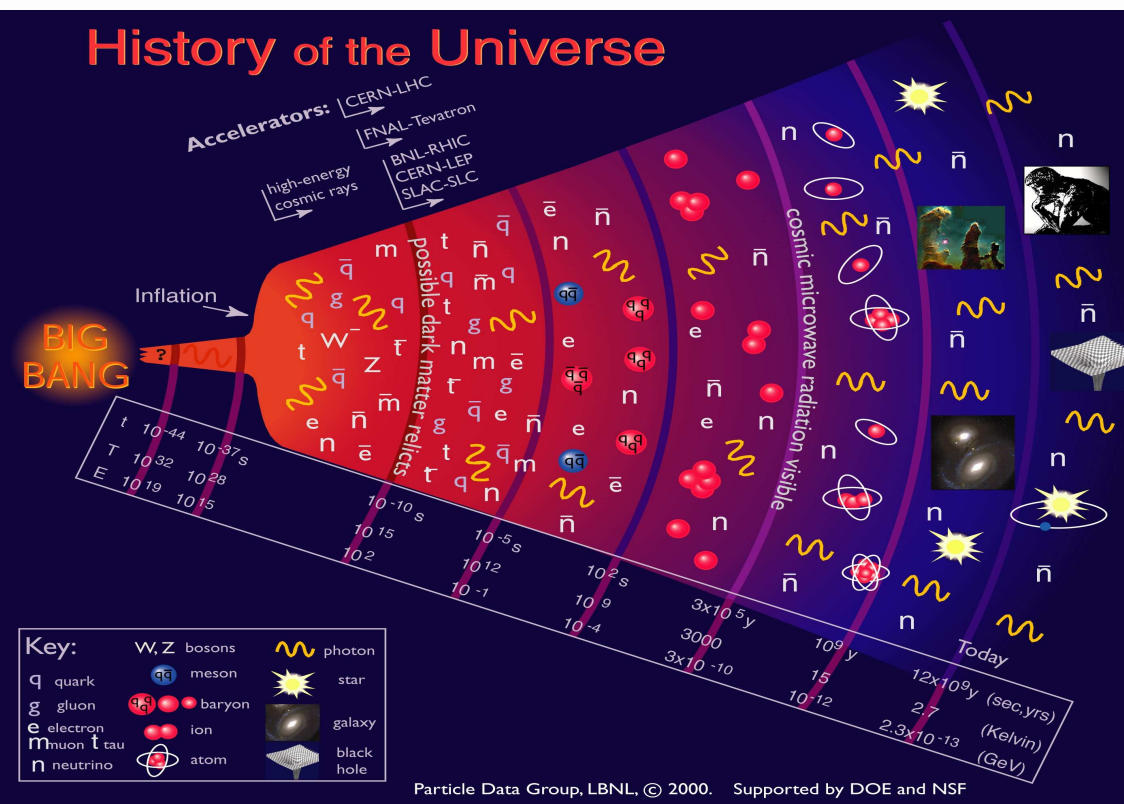
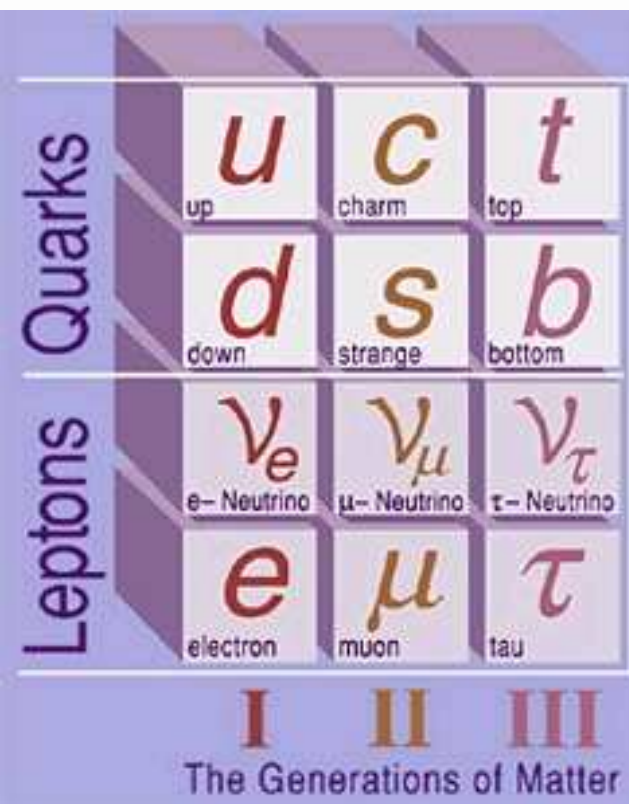
Força fraca e a
estrutura de famílias.

Força Fraca

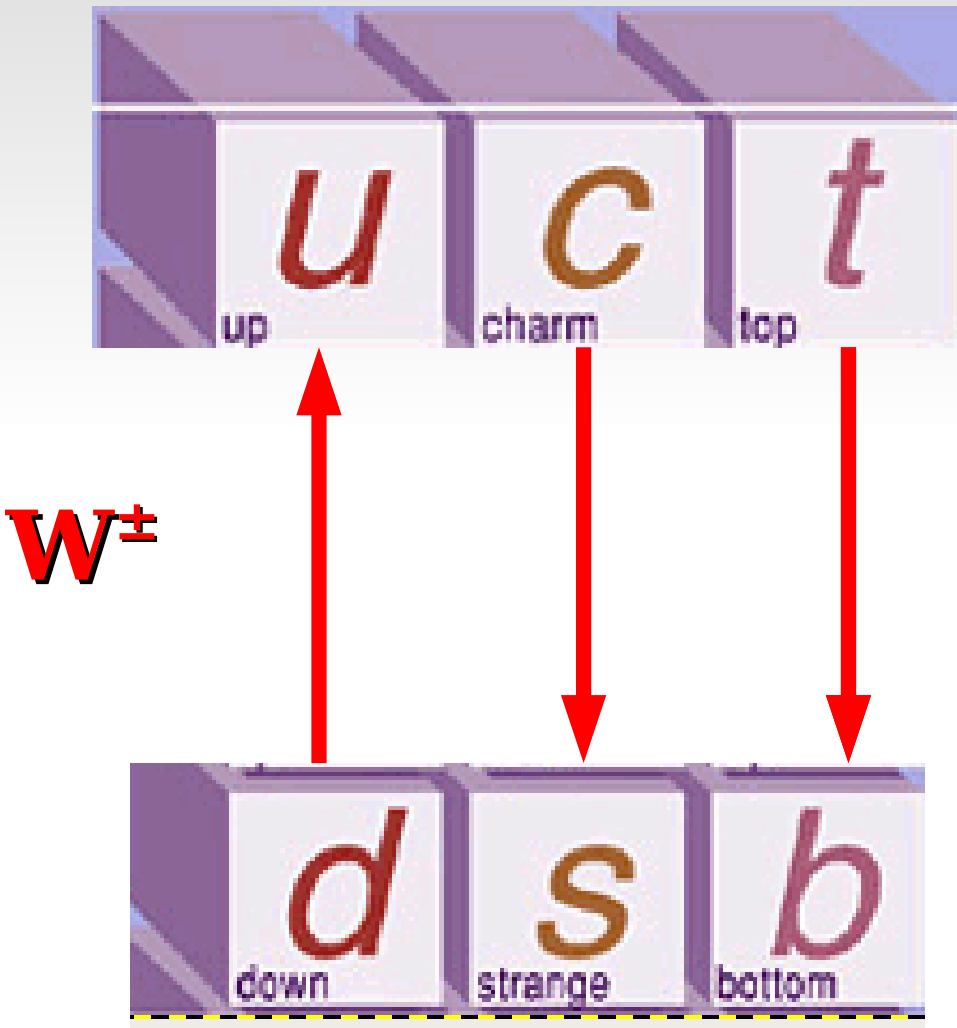
Três famílias de Quarks
e
três famílias de
Leptons
no início do universo

Desintegração

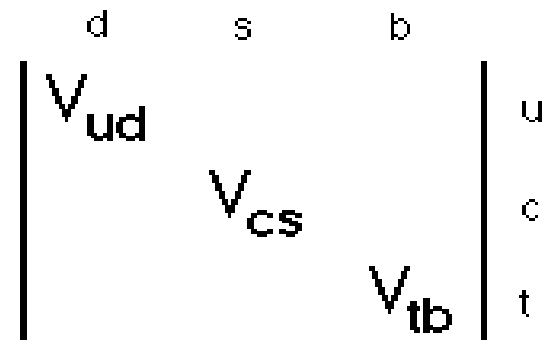
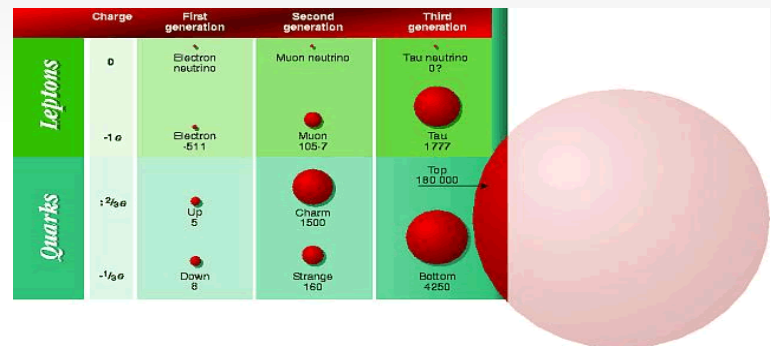
Reduzidos a
uma família
de cada



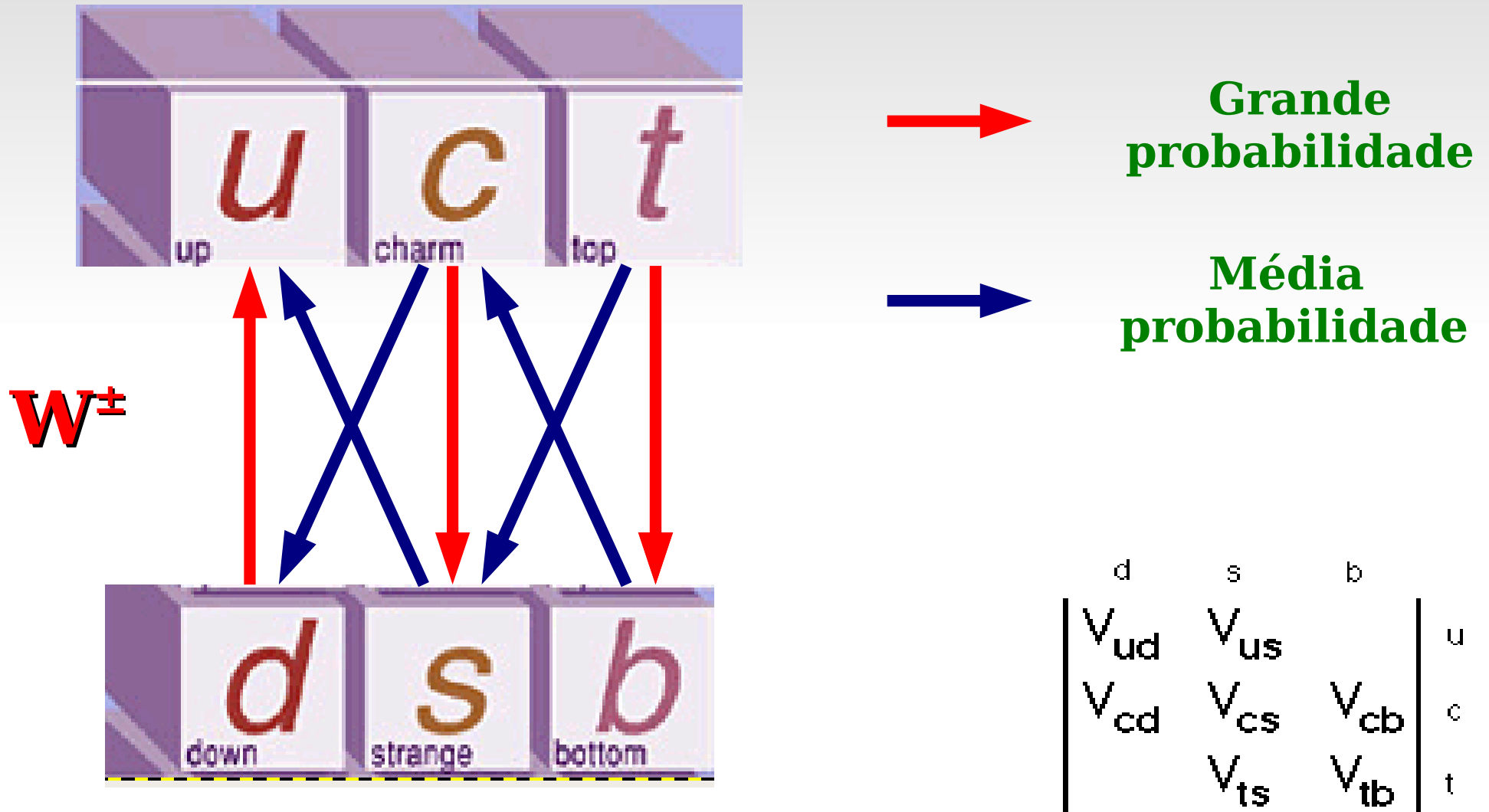
Matrix de transição entre quarks



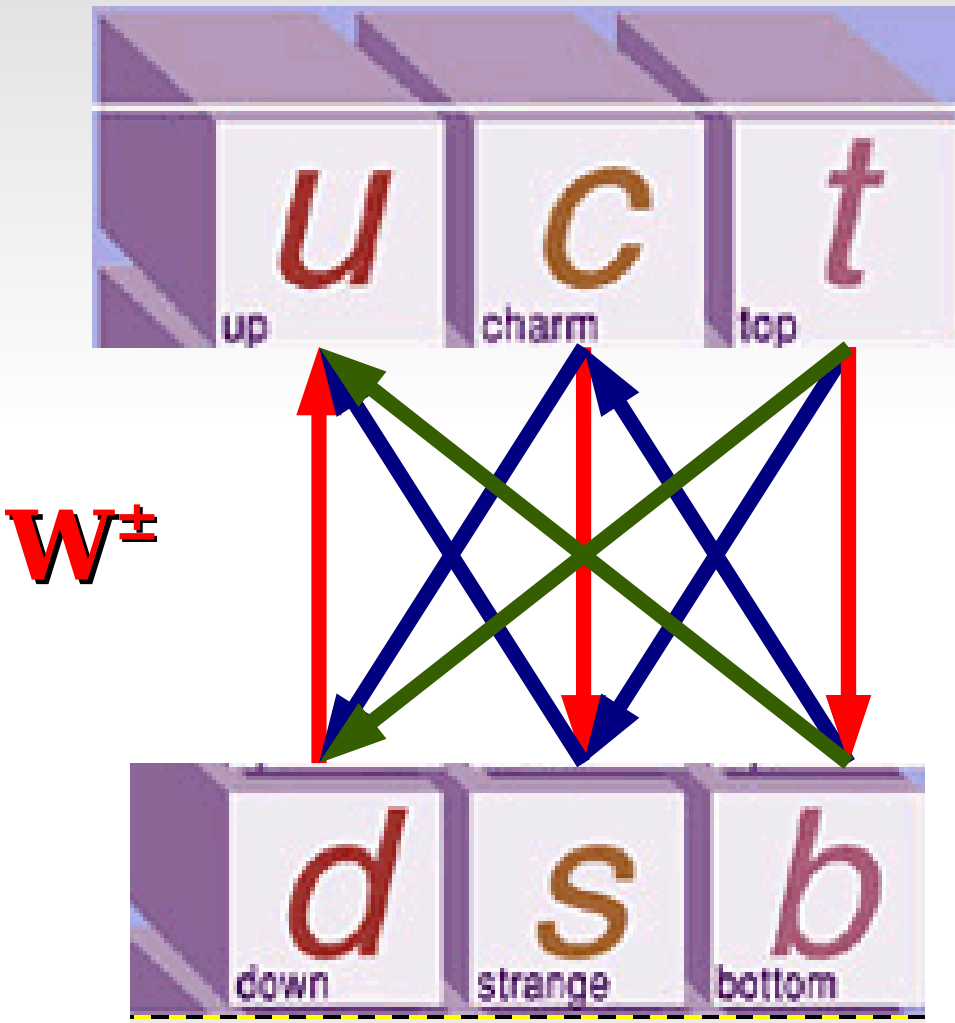
Grande
probabilidade



Matrix de transição entre quarks



Matrix de transição entre quarks



- Grande probabilidade
- Média probabilidade
- Pequena probabilidade

$$\begin{vmatrix} d & s & b \\ \left| \begin{matrix} V_{ud} & V_{us} & V_{ub} \\ V_{cd} & V_{cs} & V_{cb} \\ V_{td} & V_{ts} & V_{tb} \end{matrix} \right| & \begin{matrix} u \\ c \\ t \end{matrix} \end{vmatrix}$$

Matriz de
Cabibbo Kobayashi-Maskawa

Kobayashi-Maskawa Nobel de 2008



Matriz unitária tem $(N-1)(N-2)/2$ fases.

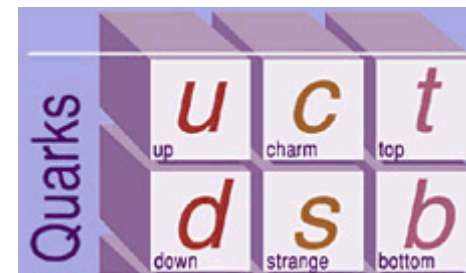
Matriz de Cabibbo de mistura 2X2: não permite violação de CP, falta o termo complexo.

2 → 3 famílias de quarks
Matriz de mistura 2X2 > 3X3,
permite um termo complexo que
poderia explicar a violação de CP

d	s	b
V_{ud}	V_{us}	V_{ub}
V_{cd}	V_{cs}	V_{cb}
V_{td}	V_{ts}	V_{tb}

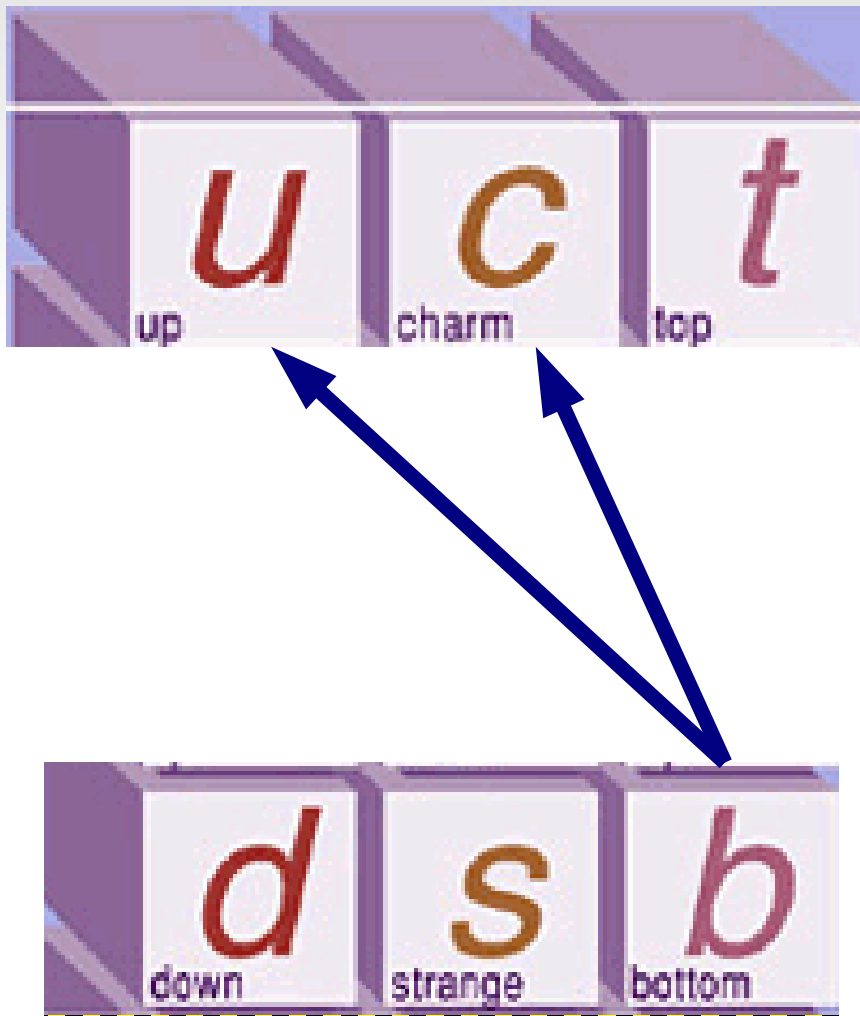
u
c
t

Kobayashi e Maskawa propuseram dois novos quarks o **b** e **t** além de abrir a possibilidade de explicar a violação de CP.



Quark b: maior fonte de violação de CP

I. Bigi e A. Sanda



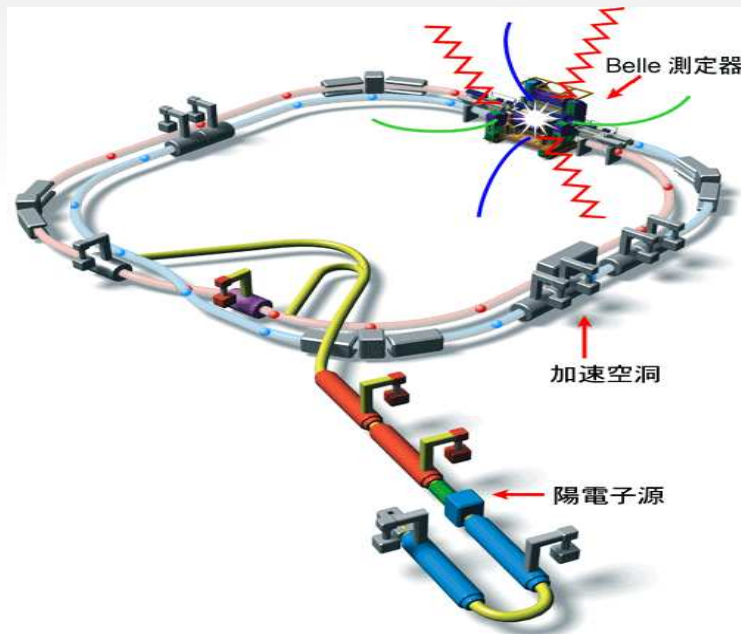
Decaimentos de partículas envolvendo o quark b , apresentam forte componente de violação de CP



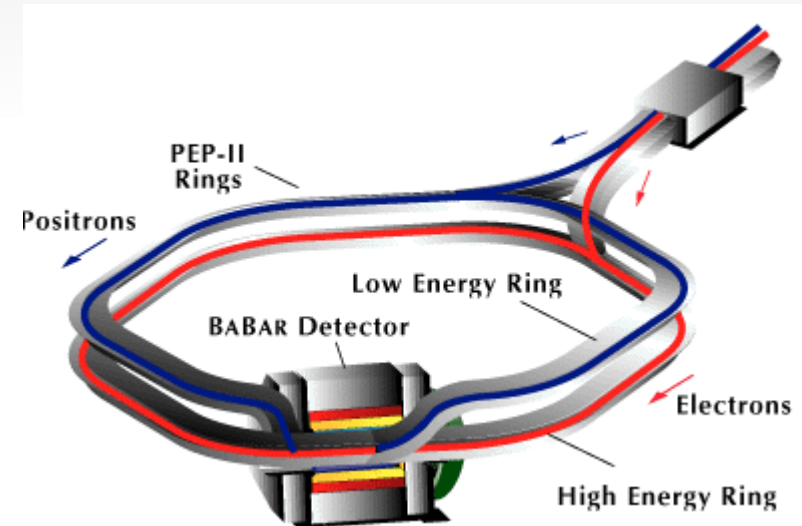
Colaborações *Belle e BaBar*



KEK Japão



PEP II- Stanford-EUA

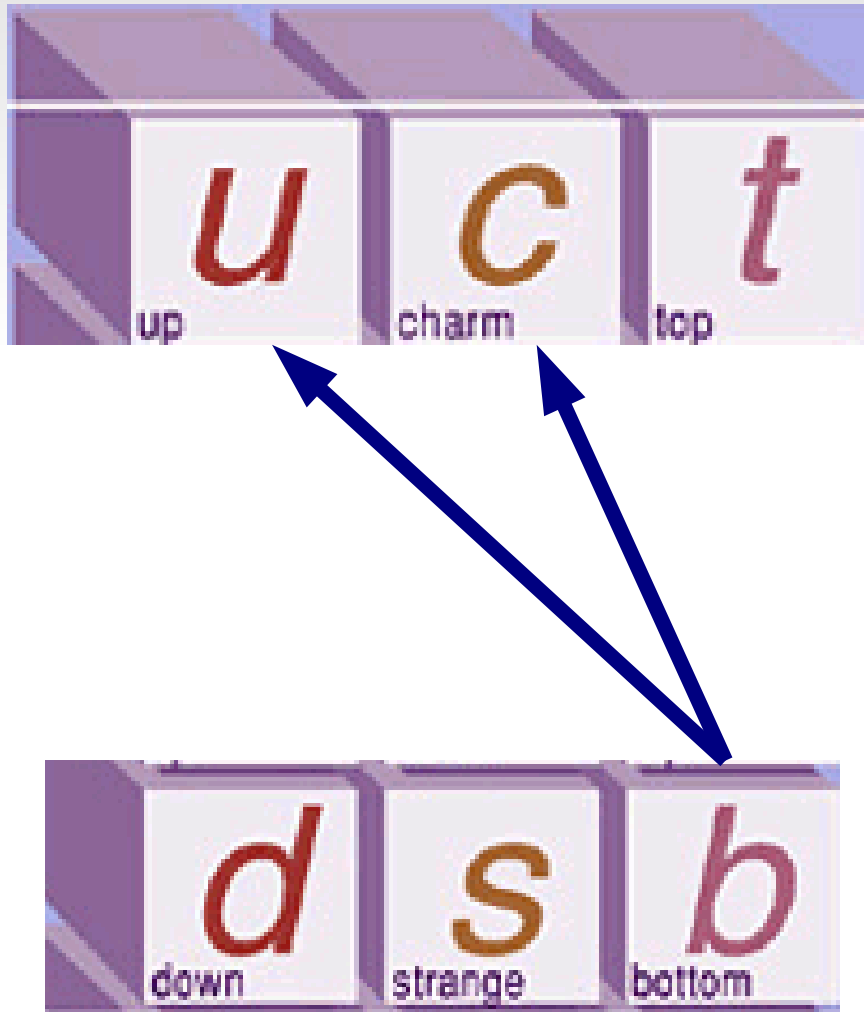


657 milhões de Mésons B's
produzidos

383 milhões de Mésons B's
produzidos

b quark is the biggest source of CP violation in the CKM matrix.

I. Bigi e A. Sanda



Example: Directly CP asymmetry

→ $B^0 \rightarrow K^+ \pi^-$

$ACP = -9.7 \pm 1.2\% \text{ (PDG 2012)}$

Violacão da Simetria de CP

Violacão de CP nos decaimentos dos mésons K's e B's, podem ser “explicados” pelo Modelo Padrão

Entretanto ela não explica toda a violacão de CP necessária para entender a assimetria matéria anti-matéria do Universo

Universe: $\frac{N_B - N_{\bar{B}}}{N_B + N_{\bar{B}}} = 10^{-9} \sim 10^{-10}$

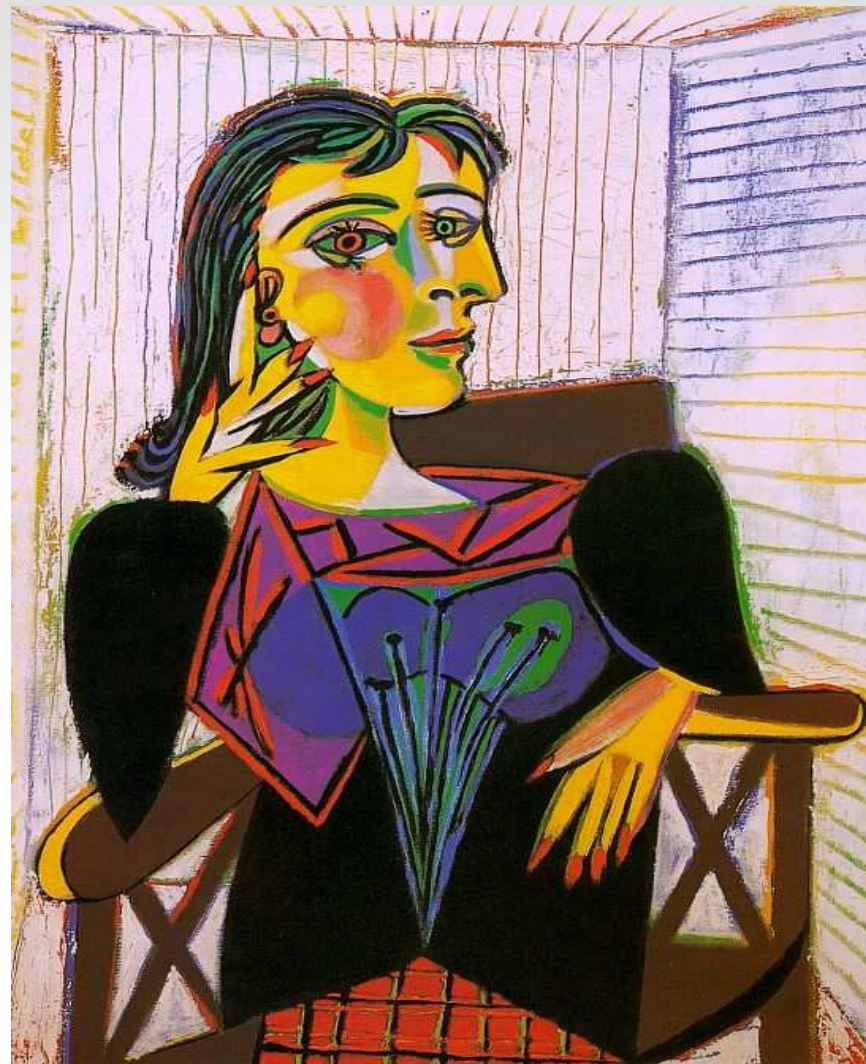
Standard Model: $\frac{N_B - N_{\bar{B}}}{N_B + N_{\bar{B}}} = \sim 10^{-20}$

Necessária uma nova fonte importante de violação de CP

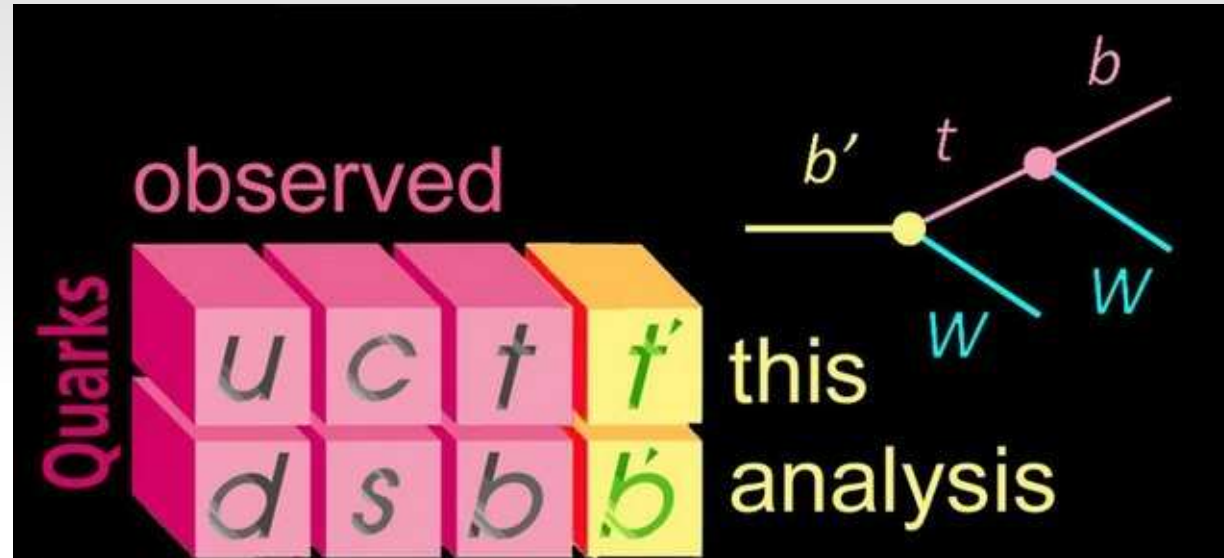


Las Meninas de Velásquez a Picasso

Onde encontrar novas fontes de violação de CP?
Suspeito de sempre: interações fracas



Novas fontes de violação de CP no equilíbrio termodinâmico?



Nova matriz de Cabibbo-Kobayashi-Maskawa ?

$$V_{CKM}^{4 \times 4} = \begin{pmatrix} V_{ud} & V_{us} & V_{ub} & V_{ud_4} \\ V_{cd} & V_{cs} & V_{cb} & V_{cd_4} \\ V_{td} & V_{ts} & V_{tb} & V_{td_4} \\ V_{u_4 d} & V_{u_4 s} & V_{u_4 b} & V_{u_4 d_4} \end{pmatrix}$$

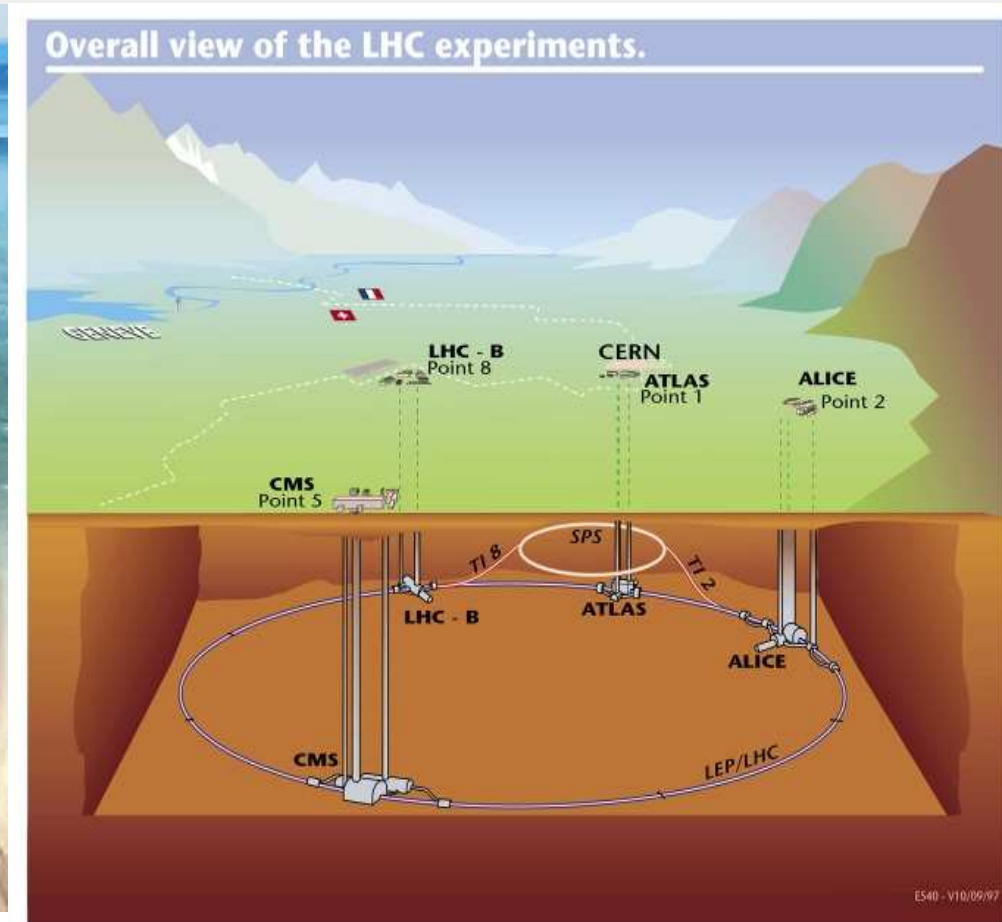
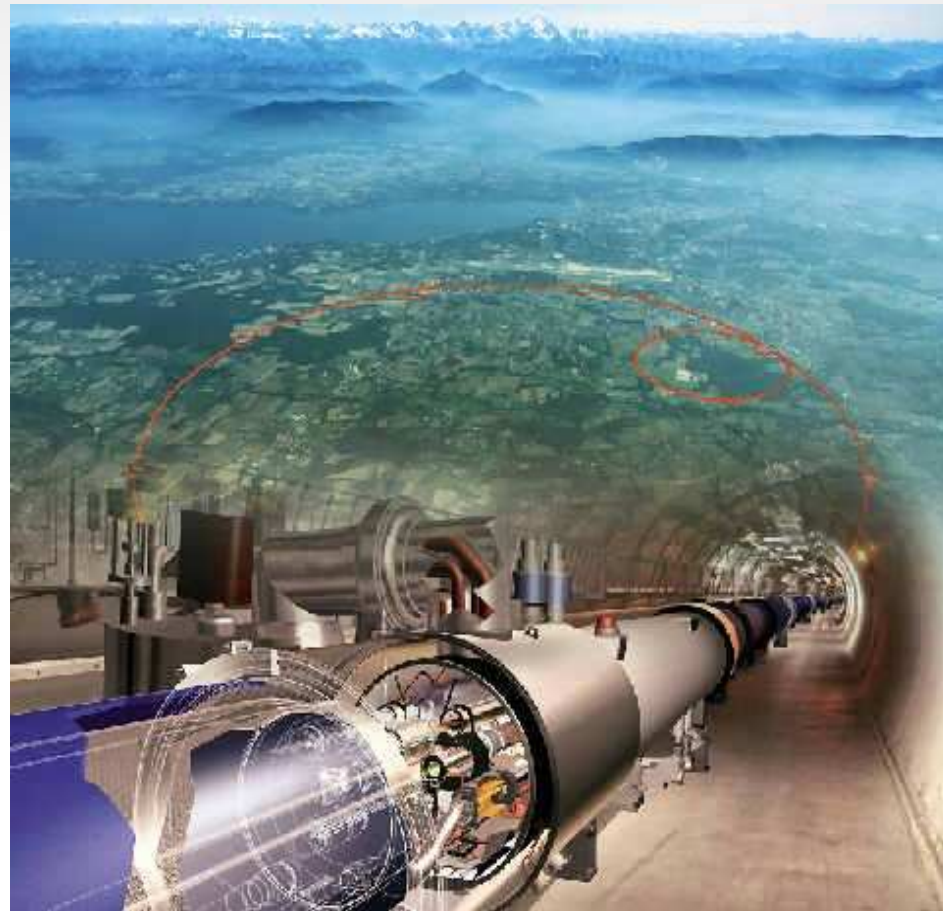
(N-1)(N-2)/2 = 3 fases

Produção e desintegração de partículas e 0
boson de Higgs.

Como se descobre novas partículas?

Aceleradores.

Colisão entre partículas a altas energias



Como se descobre novas partículas?

Colisão e criação

- Colisão

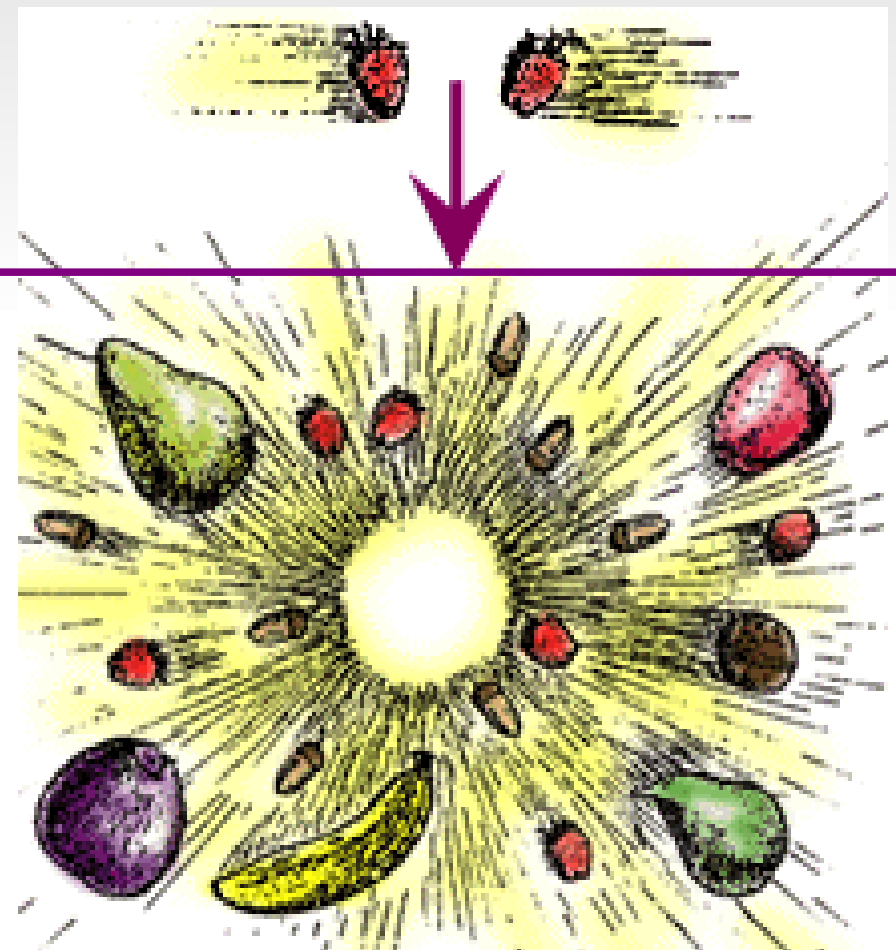
Energia → Massa

*Produção de partículas;
Massivas e instáveis*

Energia da colisão

>

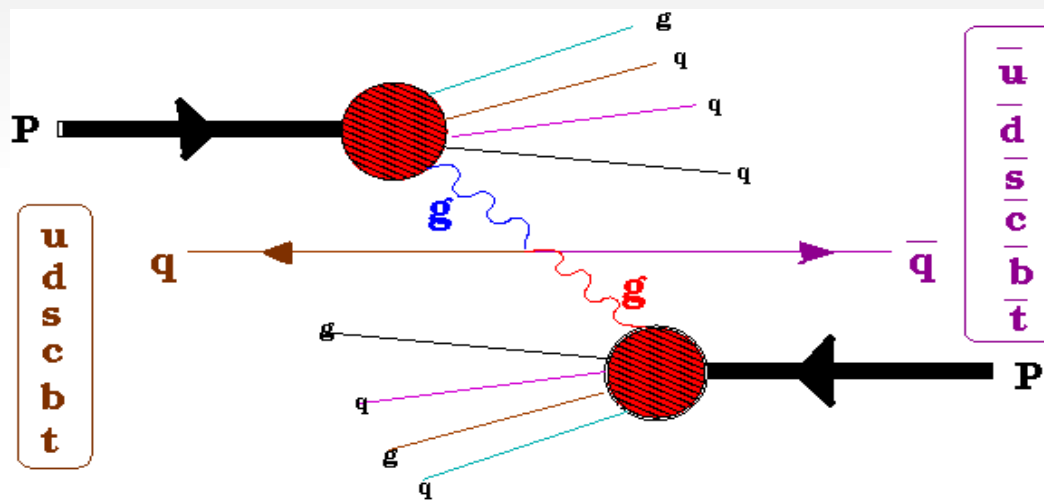
Massa da nova partícula





Como se descobre novas partículas?

Colisão entre partículas a altas energias

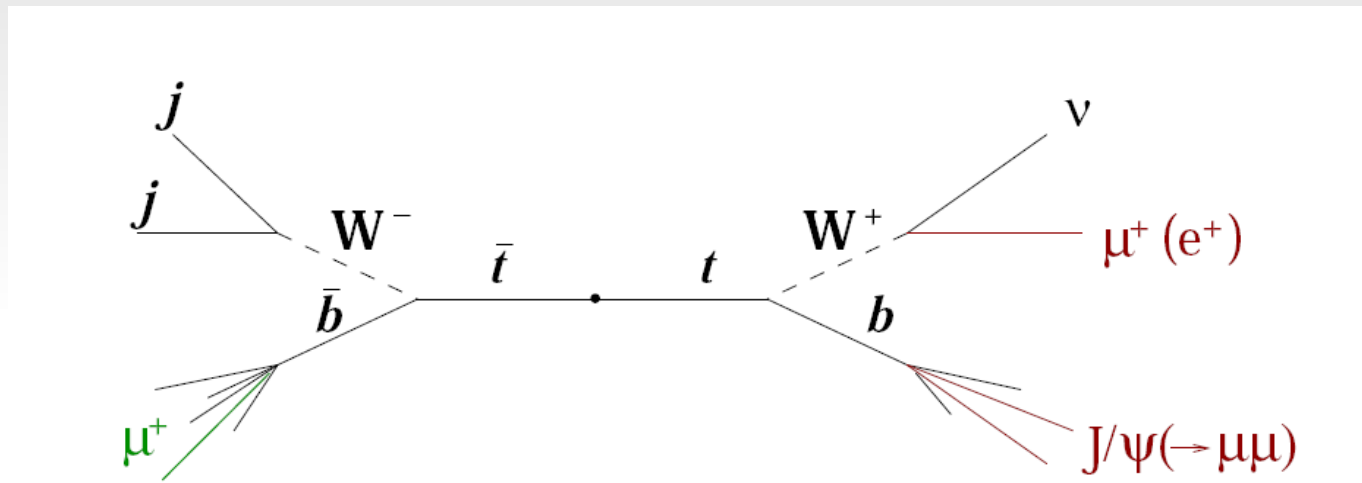


Energia da colisão
>
Massa da nova partícula

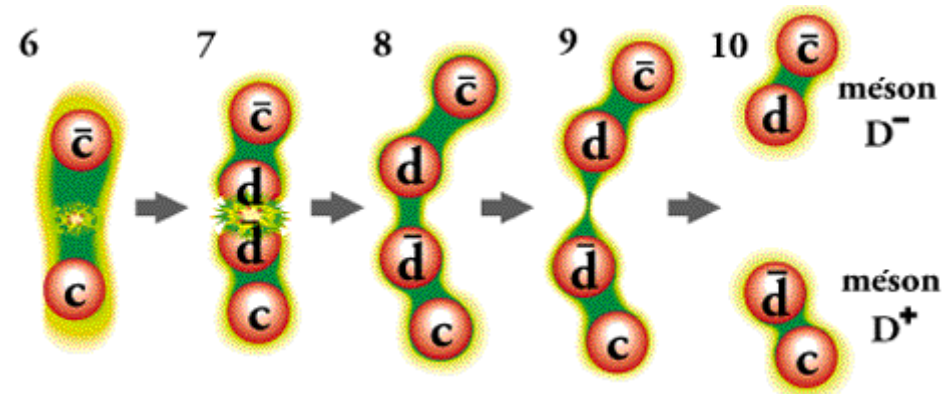


Desintegração-criação e hadronização

- Dezenas de possíveis desintegrações criações



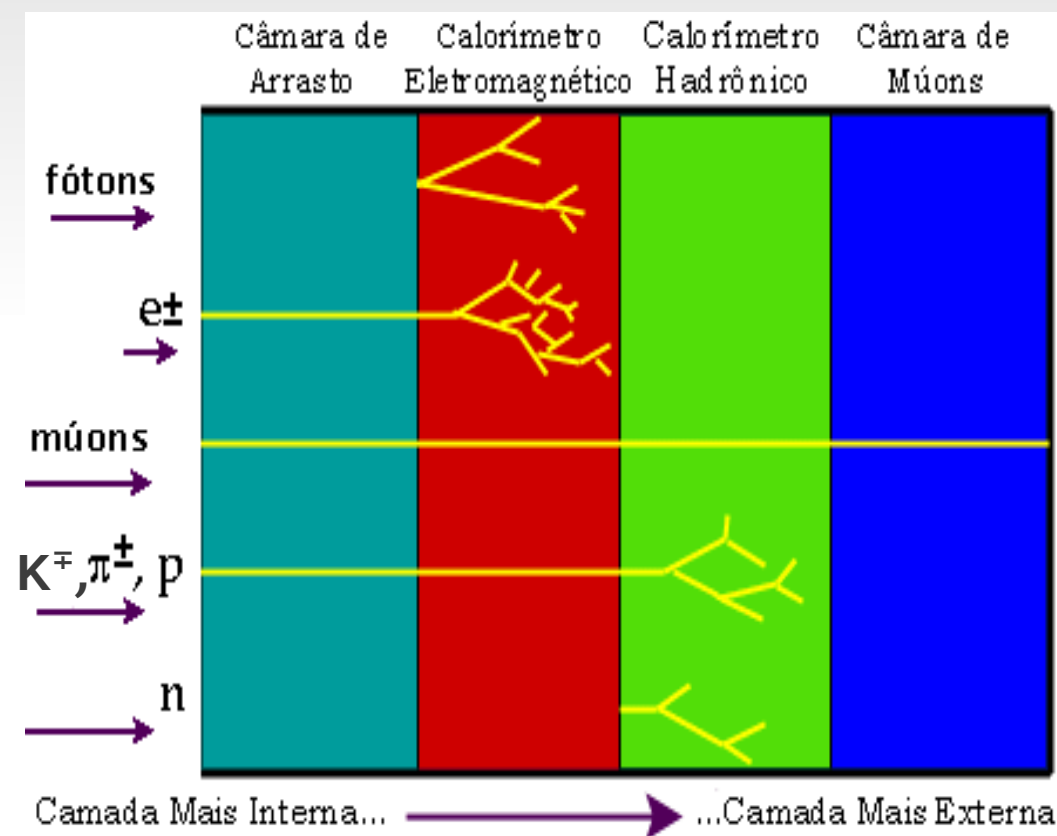
- Dezenas de possíveis hadronizações





Observáveis

- Observadas diretamente
- Partículas carregadas com vida média menor 10^{-10} s:
próton, elétron, múon, méson π e méson K
- Partículas neutras:
fóton e nêutron





Massa Invariante

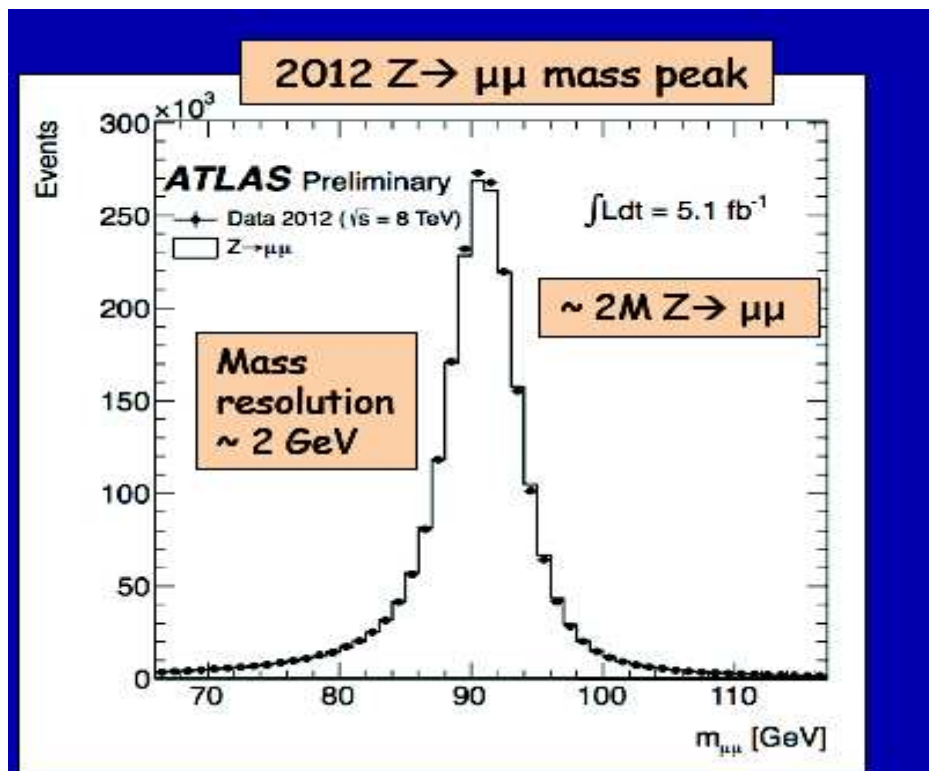
- Desintegração do bóson de gauge

$$Z^0 \rightarrow \mu^+ \mu^-$$

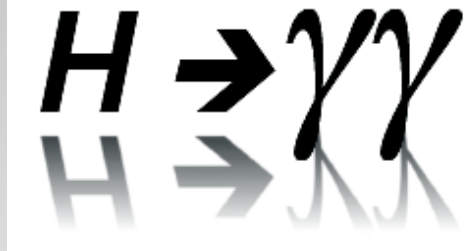
Conservação do quadri momento

$$M_z^2 = (P_{\nu Z})^2 = (P_\nu^{\mu+} + P_\nu^{\mu-})^2 \quad \underline{C=1}$$

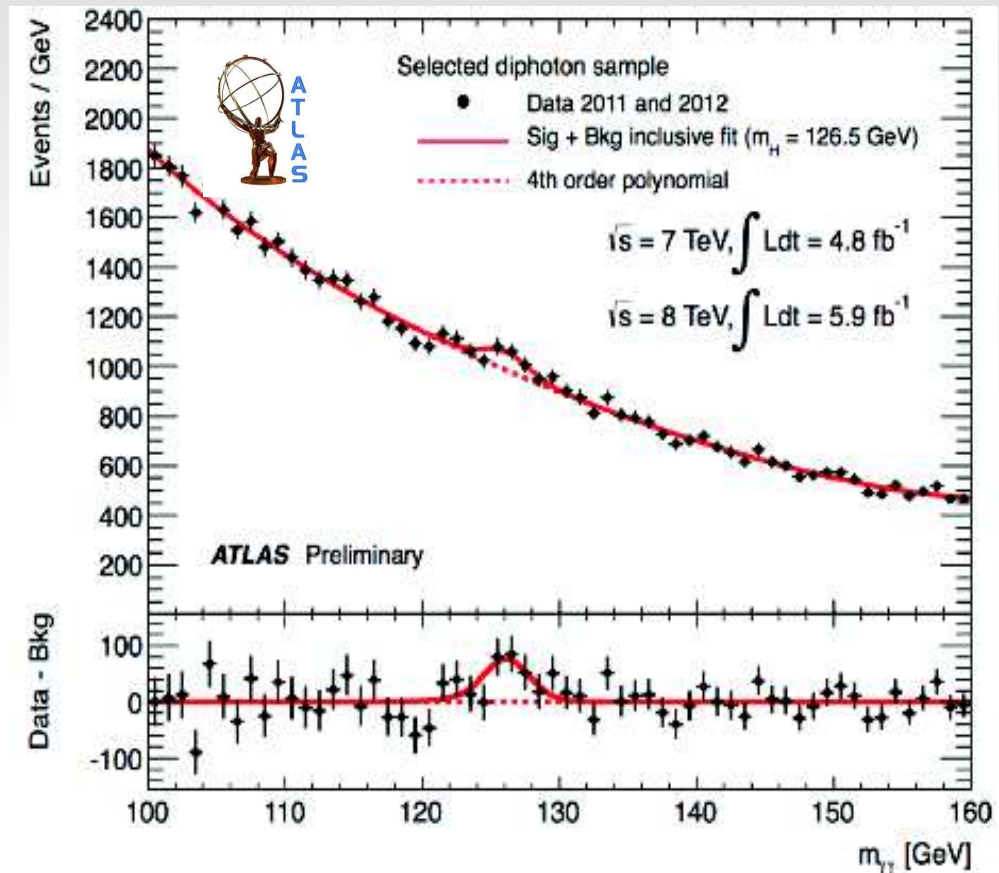
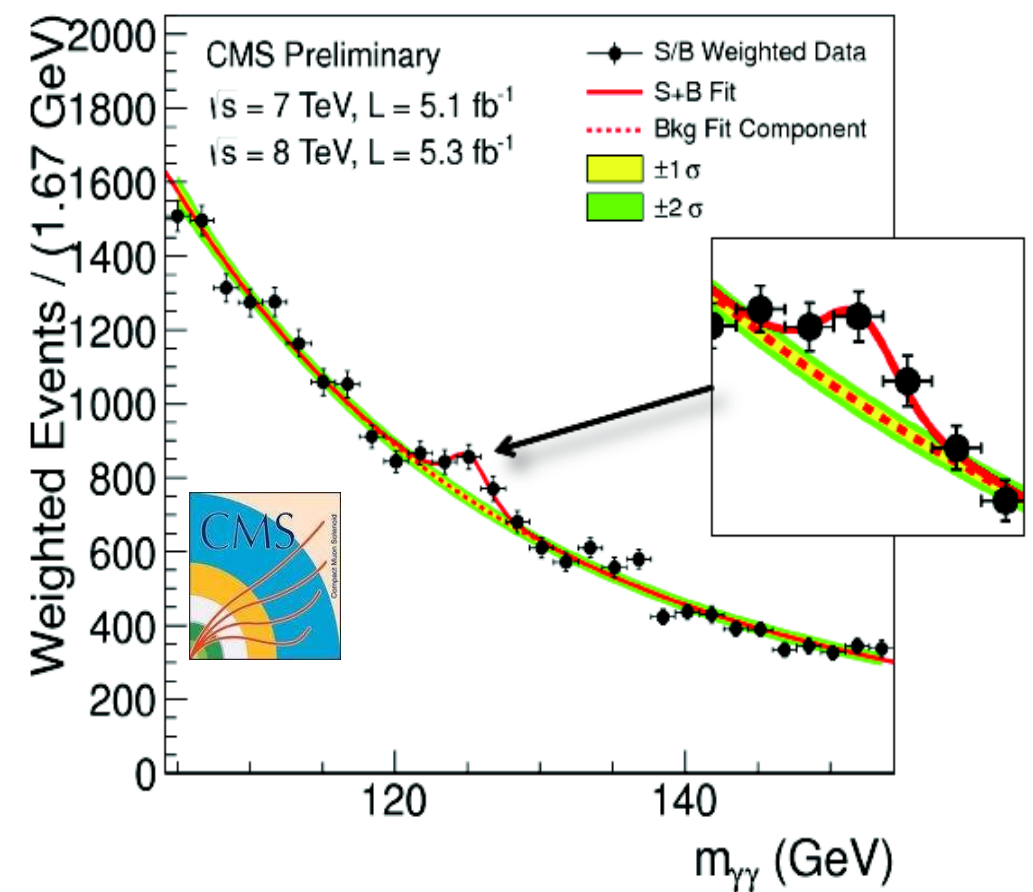
$$\begin{aligned} M_{\mu^+ \mu^-}^2 &= (P_{\mu^+}^\nu + P_{\mu^-}^\nu)^2 = m_{\mu^+}^2 + m_{\mu^-}^2 + 2E_{\mu^+} \cdot E_{\mu^-} + 2\vec{P}_{\mu^-} \cdot \vec{P}_{\mu^+} \\ &= m_{\mu^+}^2 + m_{\mu^-}^2 + 2\sqrt{|\vec{P}_{\mu^+}|^2 + m_{\mu^+}^2} \cdot \sqrt{|\vec{P}_{\mu^-}|^2 + m_{\mu^-}^2} + 2\vec{P}_{\mu^-} \cdot \vec{P}_{\mu^+} \end{aligned}$$



$$BW = \left| \frac{\sqrt{m_{Z^0}\Gamma}}{m_{Z^0}^2 - M_{\mu^+\mu^-}^2 - im_{Z^0}\Gamma} \right|^2$$

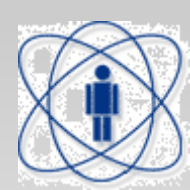


$$M_z^2 = 2E_1 E_2$$



▪ Minimum local p-value at 125 GeV with a local significance of 4.1σ

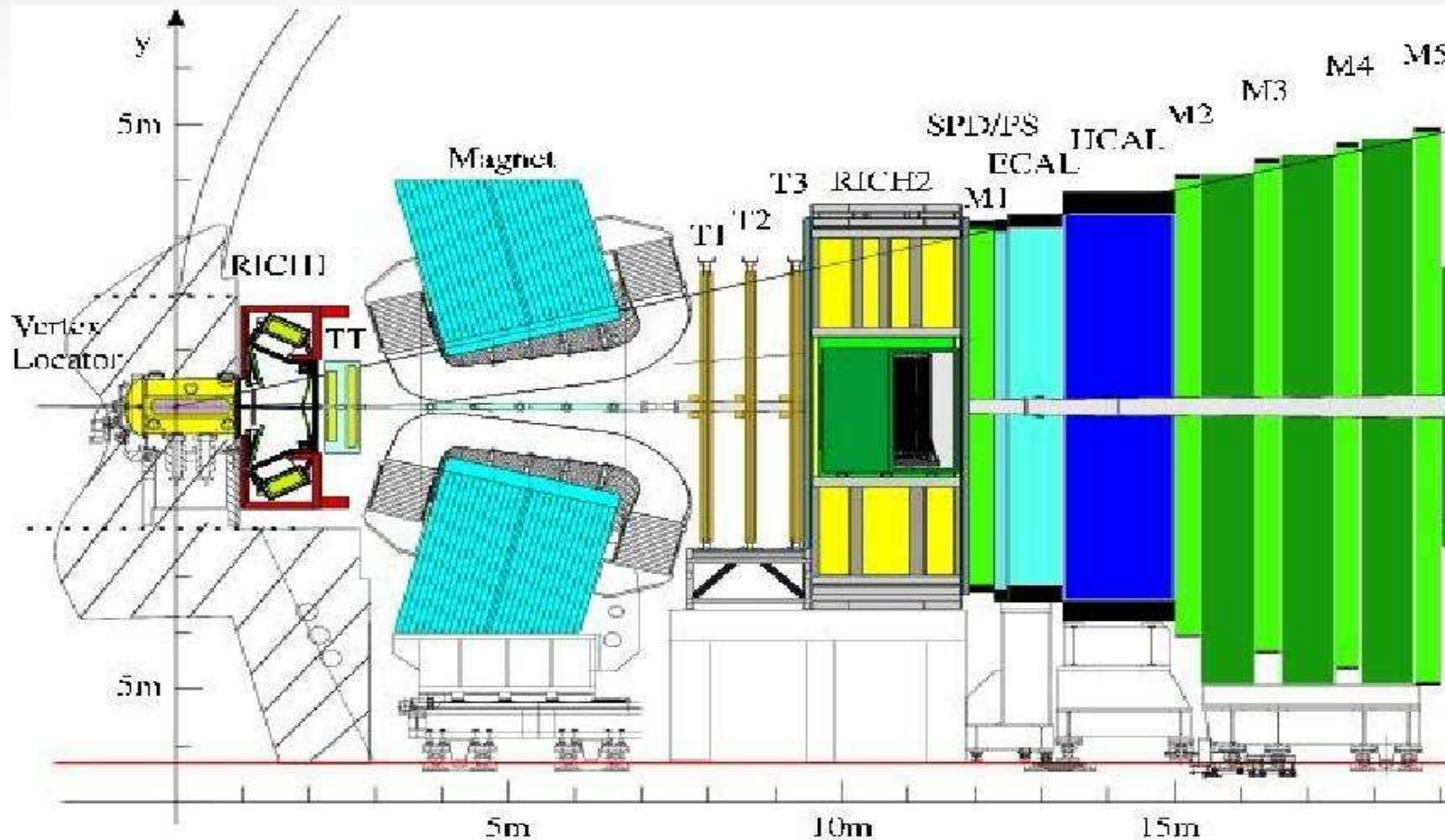
Global 2011+2012 (including LEE over 110-150 GeV range): 3.6σ



Observação dos eventos

$$\begin{aligned} M_{\mu^+\mu^-}^2 &= (P_{\mu^+}^\nu + P_{\mu^-}^\nu)^2 = m_{\mu^+}^2 + m_{\mu^-}^2 + 2E_{\mu^+} \cdot E_{\mu^-} + 2\vec{P}_{\mu^-} \cdot \vec{P}_{\mu^+} \\ &= m_{\mu^+}^2 + m_{\mu^-}^2 + 2\sqrt{|\vec{P}_{\mu^+}|^2 + m_{\mu^+}^2} \cdot \sqrt{|\vec{P}_{\mu^-}|^2 + m_{\mu^-}^2} + 2\vec{P}_{\mu^-} \cdot \vec{P}_{\mu^+} \end{aligned}$$

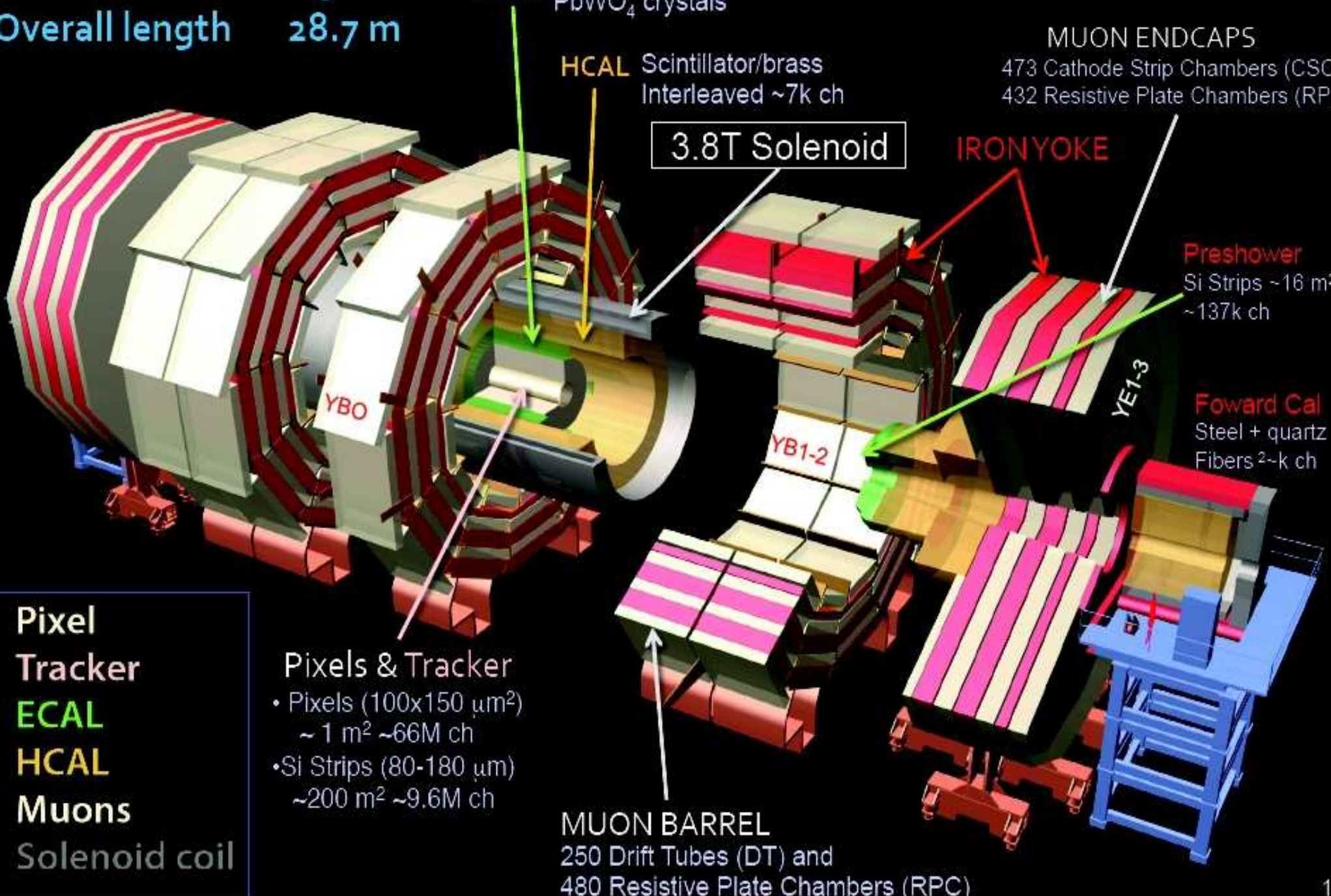
- ◆ Determinação da natureza das partículas
- ◆ Momento vetorial das partículas carregadas
 - ◆ Energia das partículas neutras



Total weight 14000 t

Overall diameter 15 m

Overall length 28.7 m



Pixel
Tracker

ECAL

HCAL

Muons

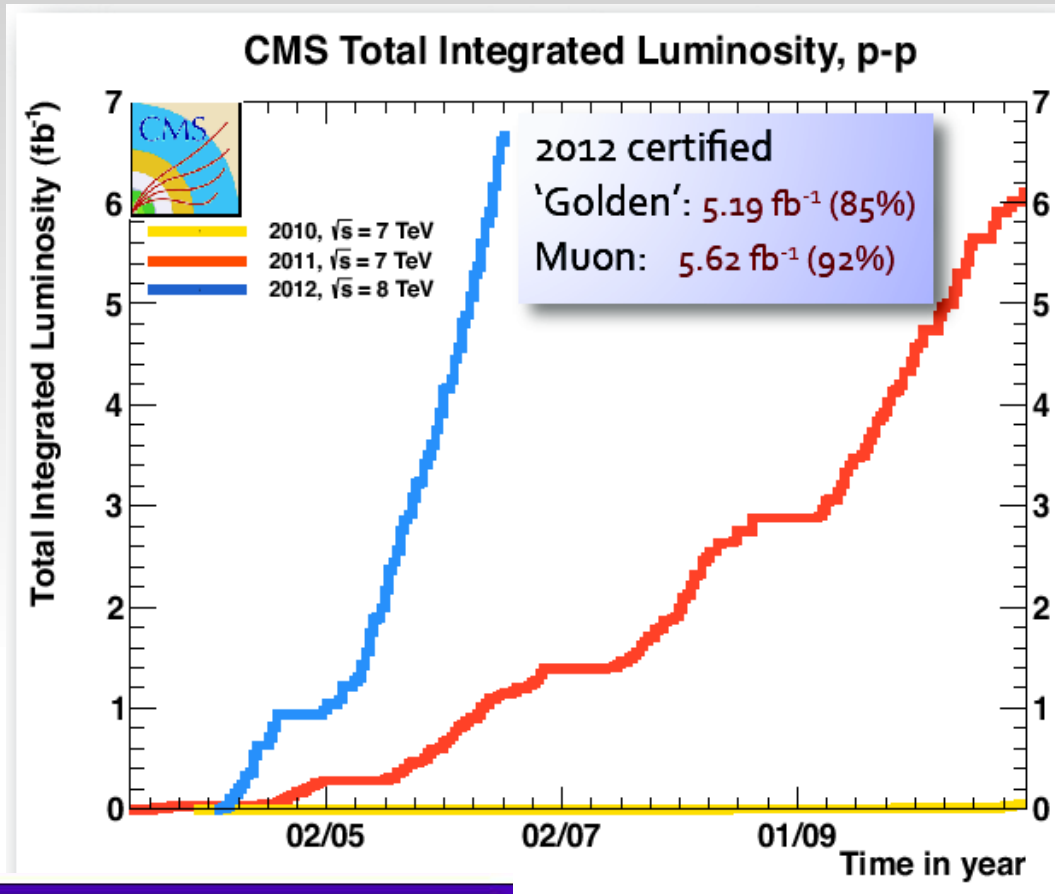
Solenoid coil

- Pixels & Tracker
- Pixels (100x150 μm^2) ~1 m² ~66M ch
 - Si Strips (80-180 μm) ~200 m² ~9.6M ch

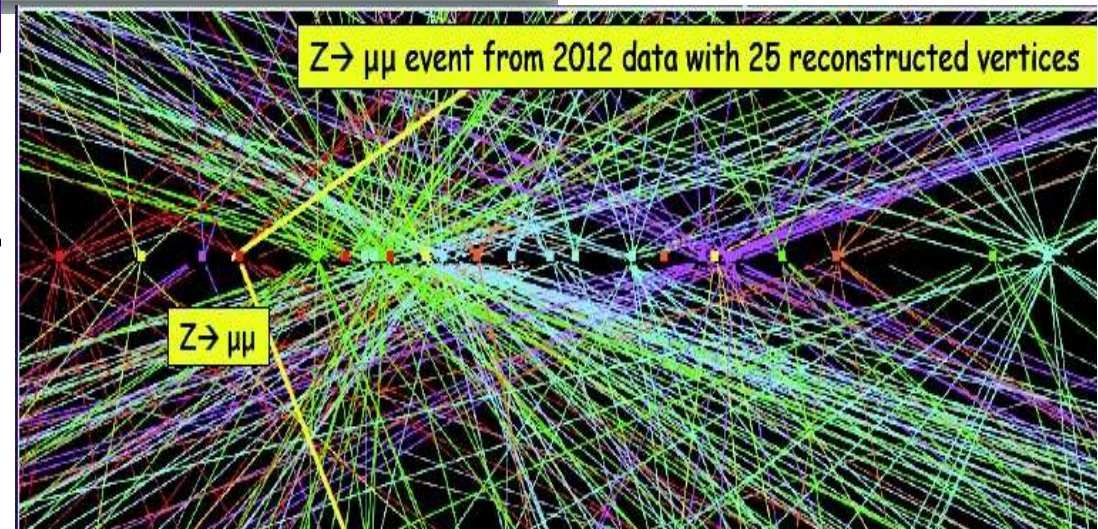
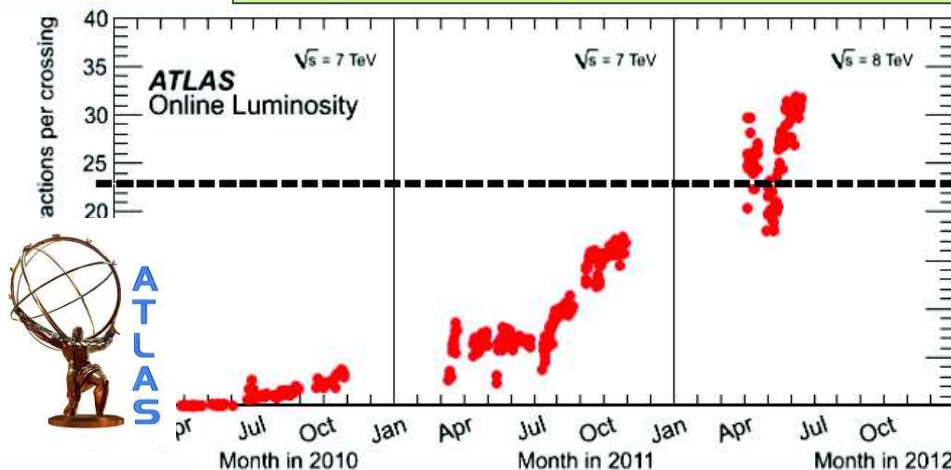
MUON BARREL
250 Drift Tubes (DT) and
480 Resistive Plate Chambers (RPC)



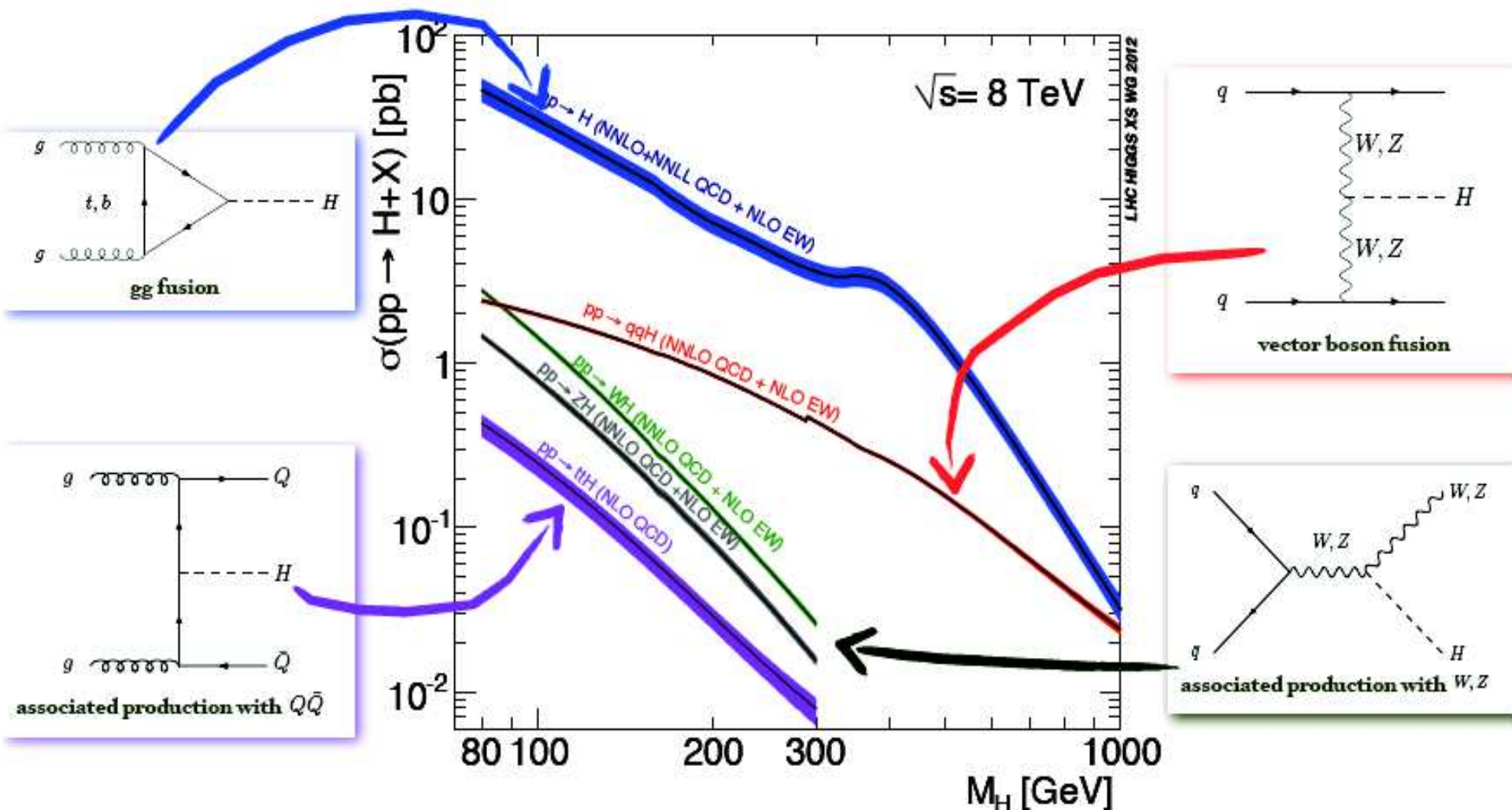
Taxa de colisões 2011 e 2012.



The BIG challenge in 2012: PILE-UP



SM Higgs boson production @ LHC

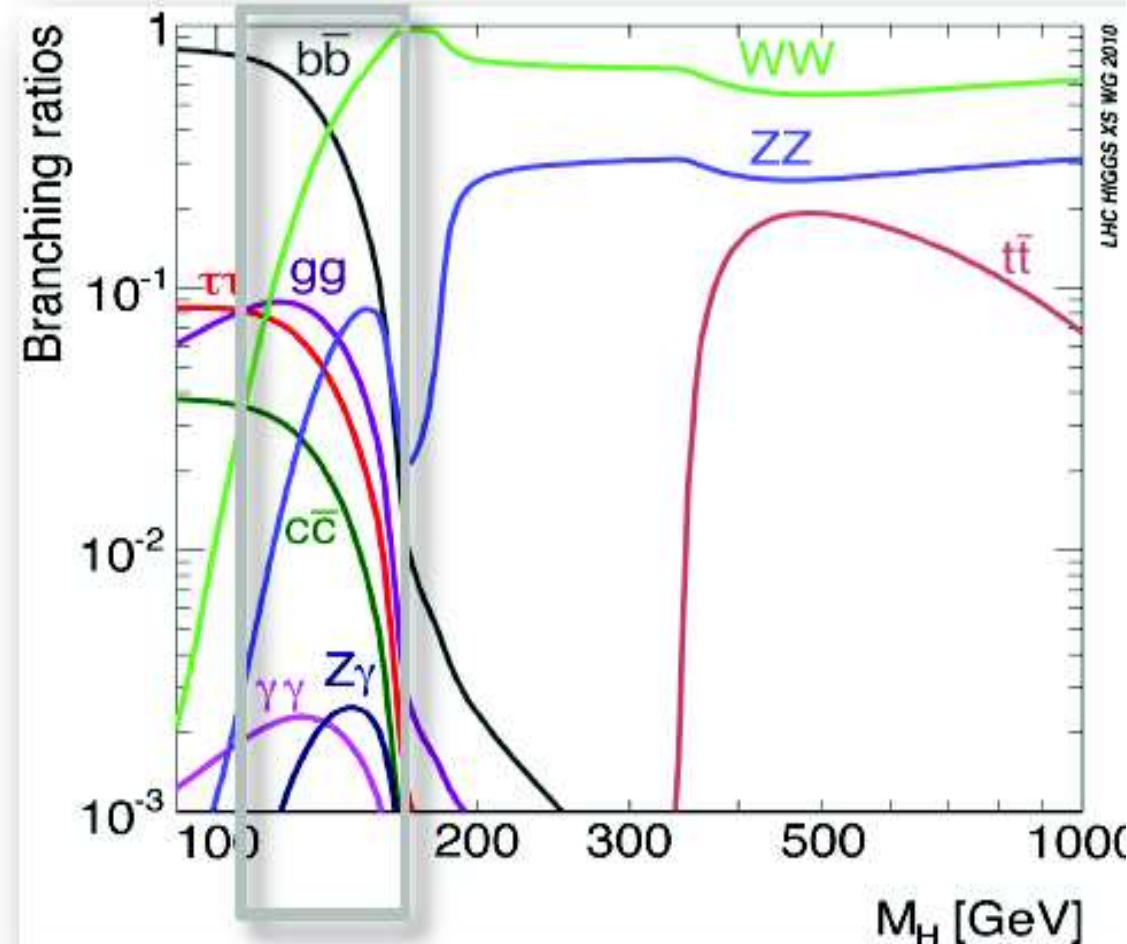




Higgs boson decays

5 decay modes exploited

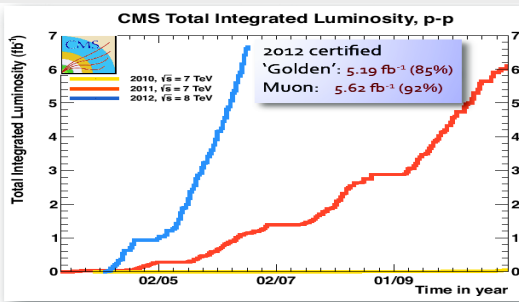
- High mass: WW , ZZ
- Low mass: bb , $t\bar{t}$, WW , ZZ , $\gamma\gamma$
- Low mass region is very rich but also very challenging:
main decay modes (bb , $t\bar{t}$) are hard to identify in the huge background



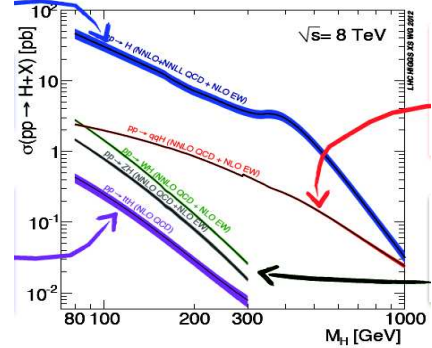
- Very good mass resolution (1%): $H \rightarrow \gamma\gamma$ and $H \rightarrow ZZ \rightarrow 4l$

Probabilidade de observação do Higgs em função da massa

Dada uma luminosidade ou numero de colisões:

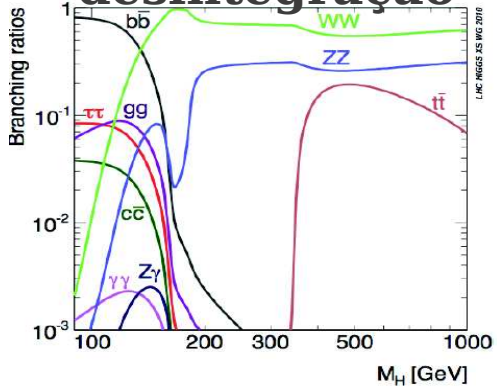


Seção de choque



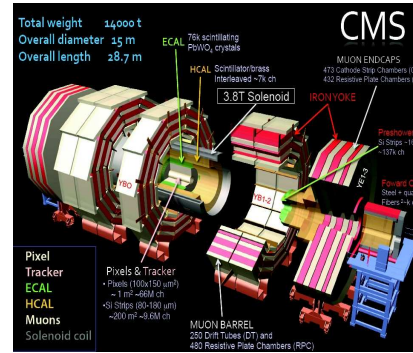
X

Probabilidade de desintegração

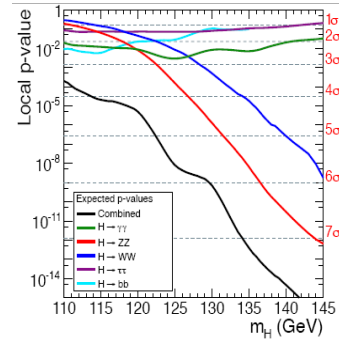


X

Eficiência de detecção



Probabilidade de observação



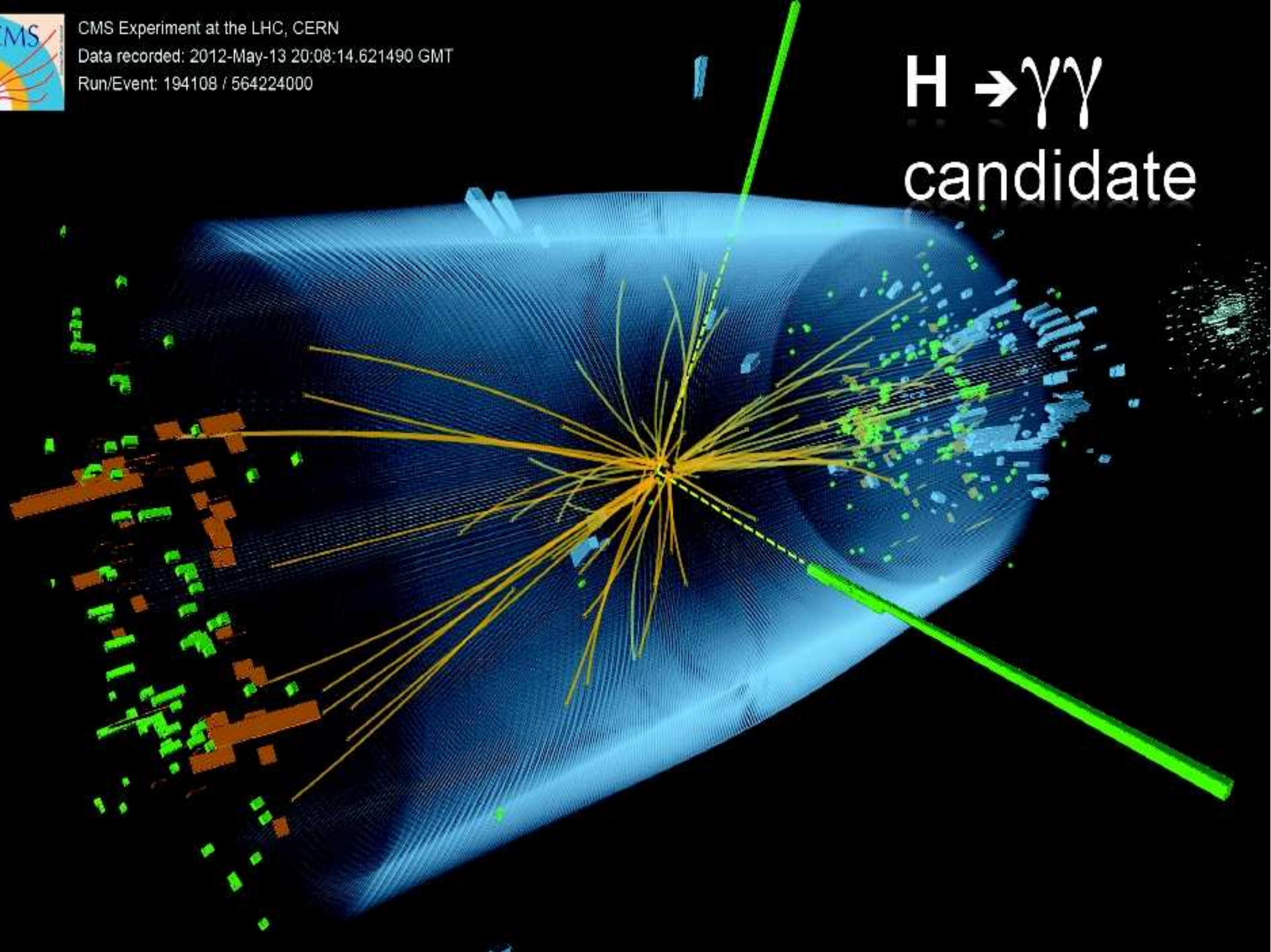


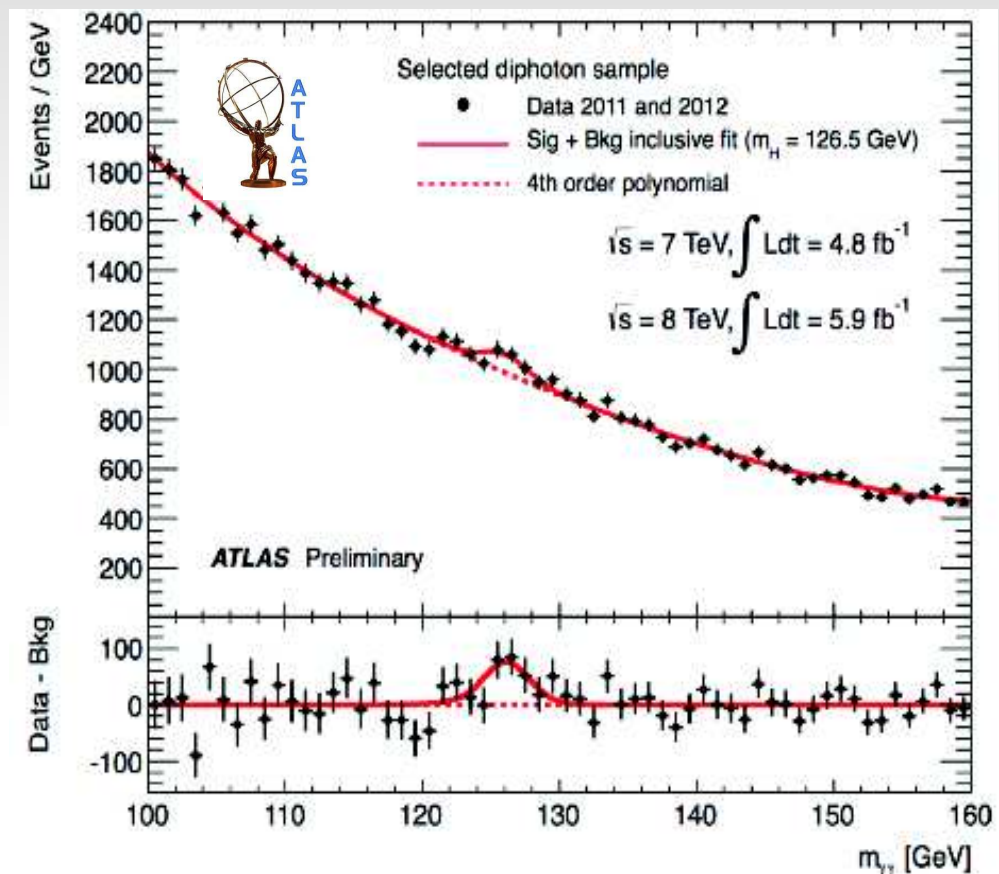
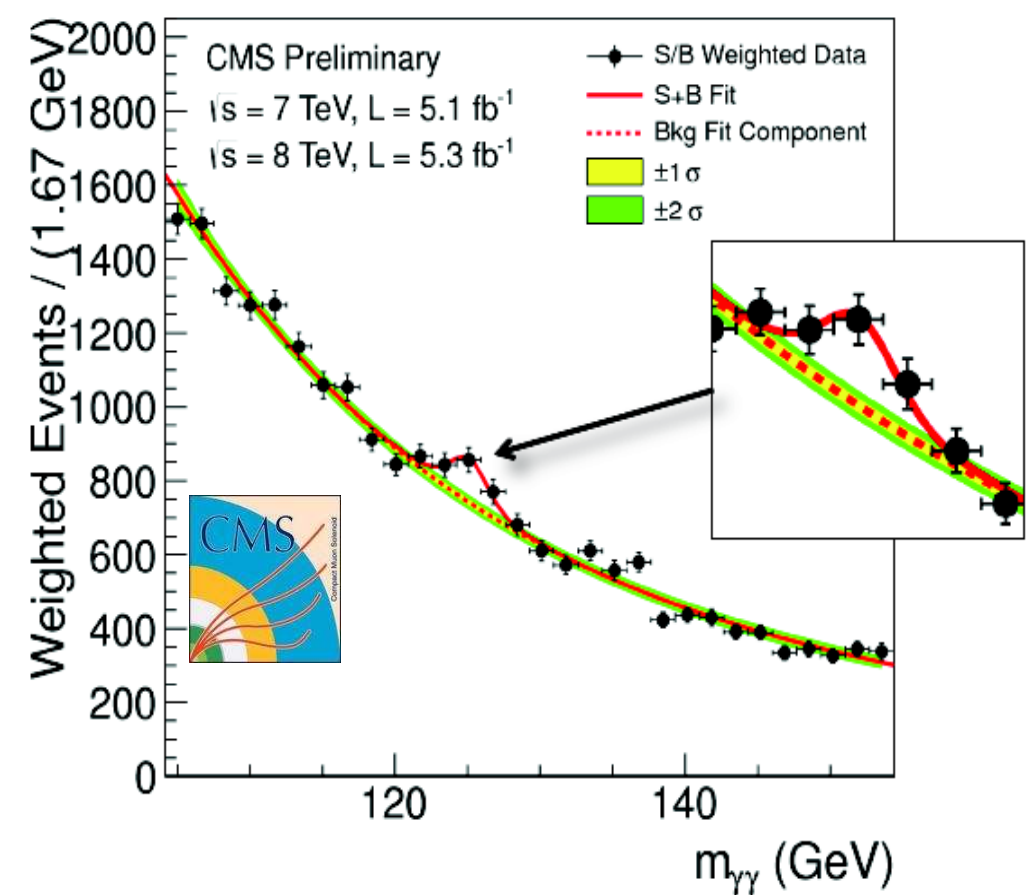
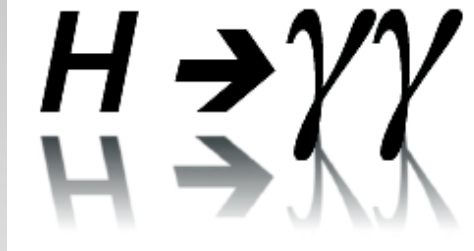
CMS Experiment at the LHC, CERN

Data recorded: 2012-May-13 20:08:14.621490 GMT

Run/Event: 194108 / 564224000

$H \rightarrow \gamma\gamma$
candidate





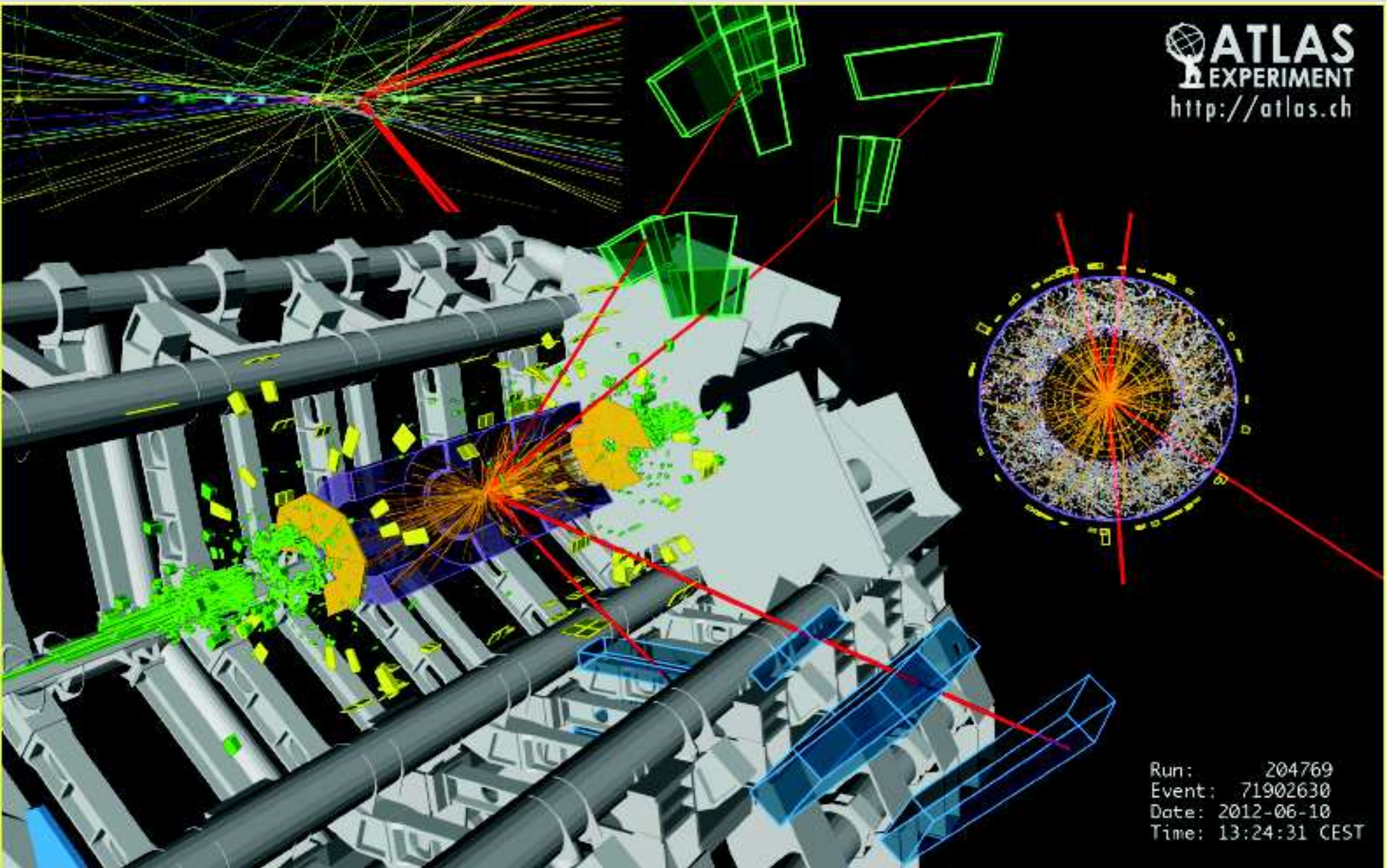
▪ Minimum local p-value at 125 GeV with a local significance of 4.1σ

Global 2011+2012 (including LEE over 110-150 GeV range): 3.6σ



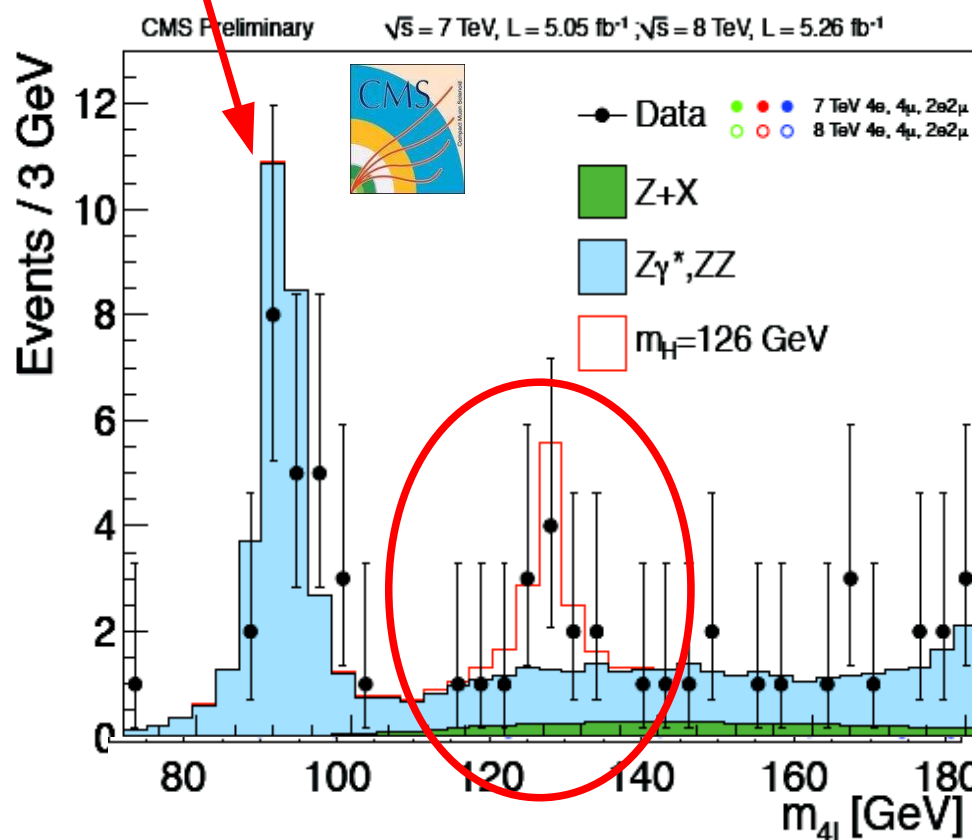
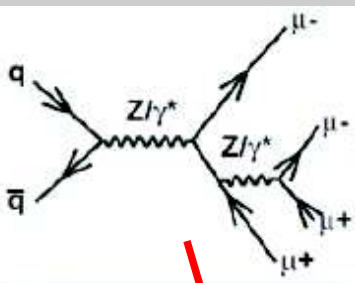
$H \rightarrow ZZ^{(*)} \rightarrow 4l$ ($l = e, \mu$): the golden channel

Clean signature: narrow peak, low background

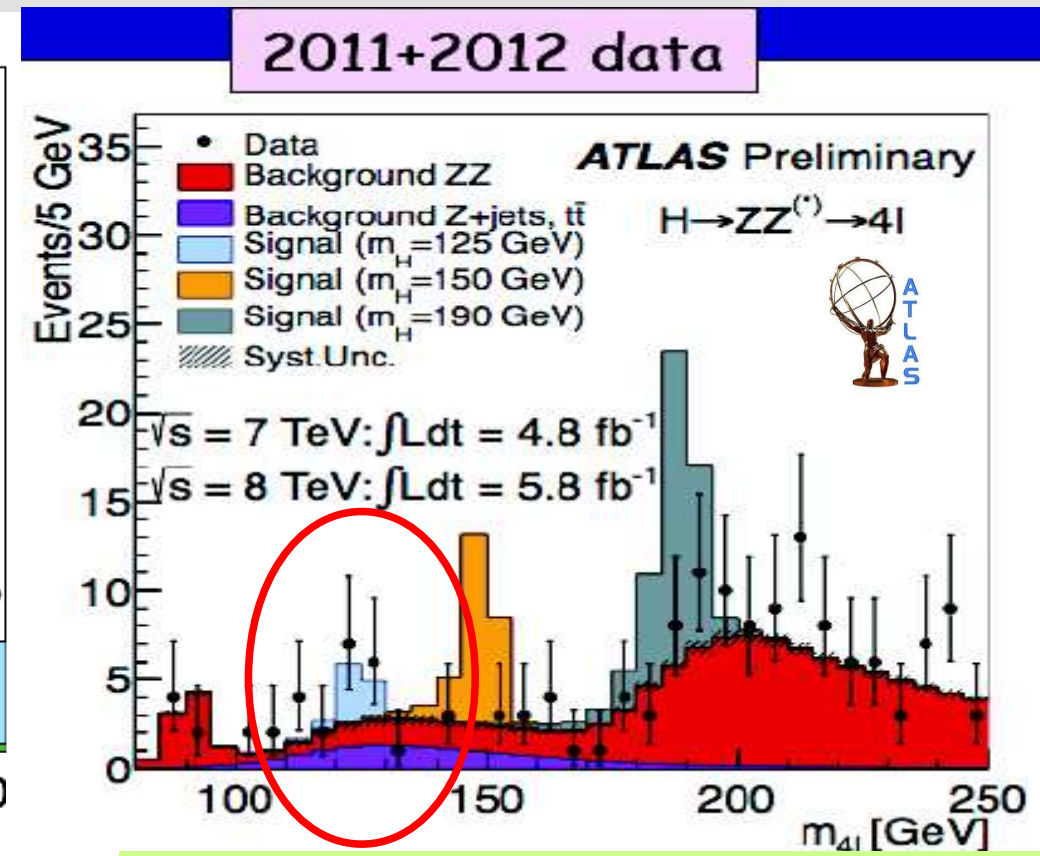


ATLAS
EXPERIMENT
<http://atlas.ch>

Run: 204769
Event: 71902630
Date: 2012-06-10
Time: 13:24:31 CEST



Observed significance at 125.5 GeV:
3.2 σ

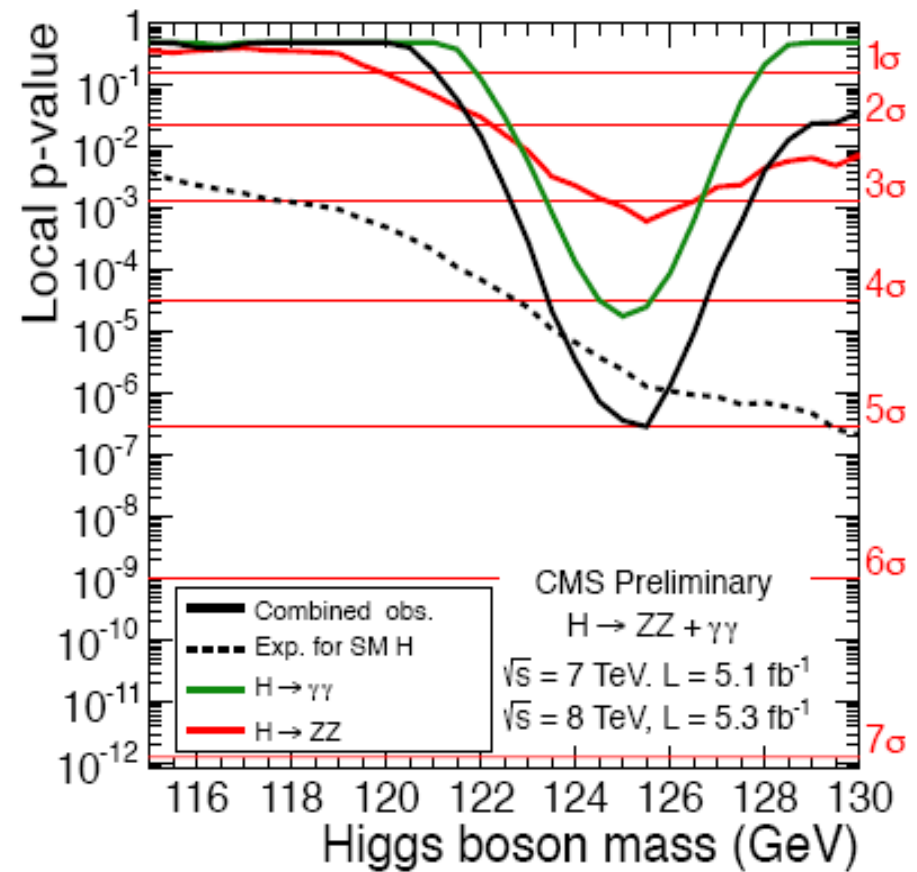
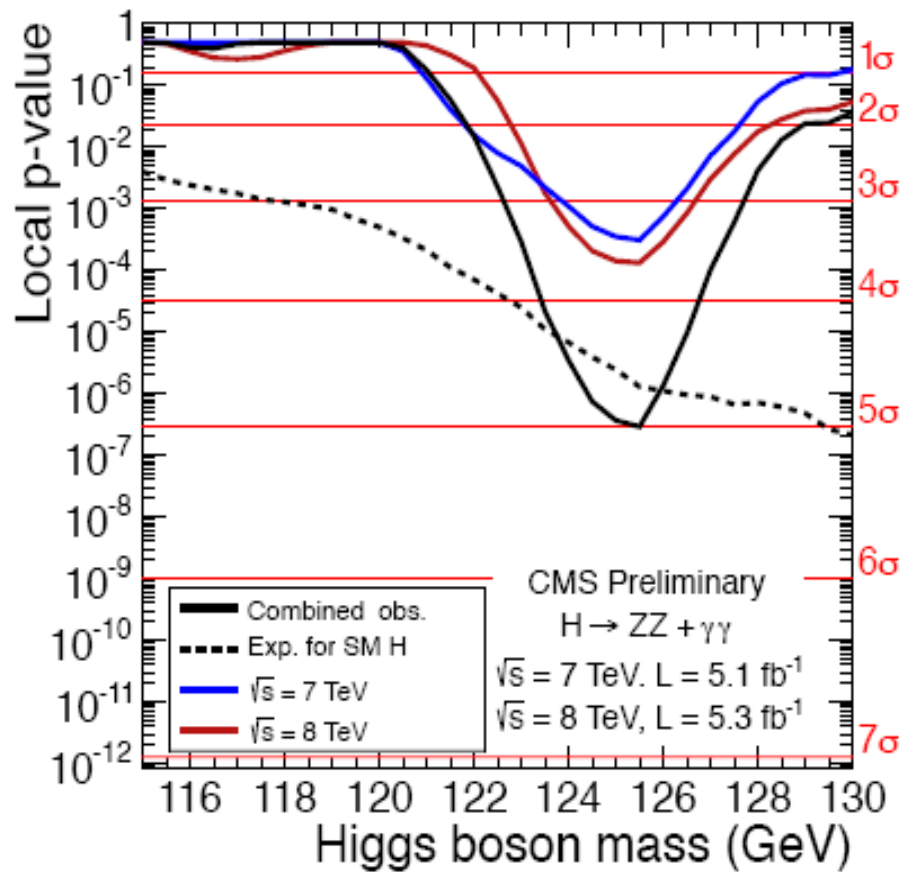


Global 2011+2012 (including LEE over full 110-141 GeV range): 2.5 σ

Combination: ZZ + $\gamma\gamma$

Local significance of excess: **5.0 σ**

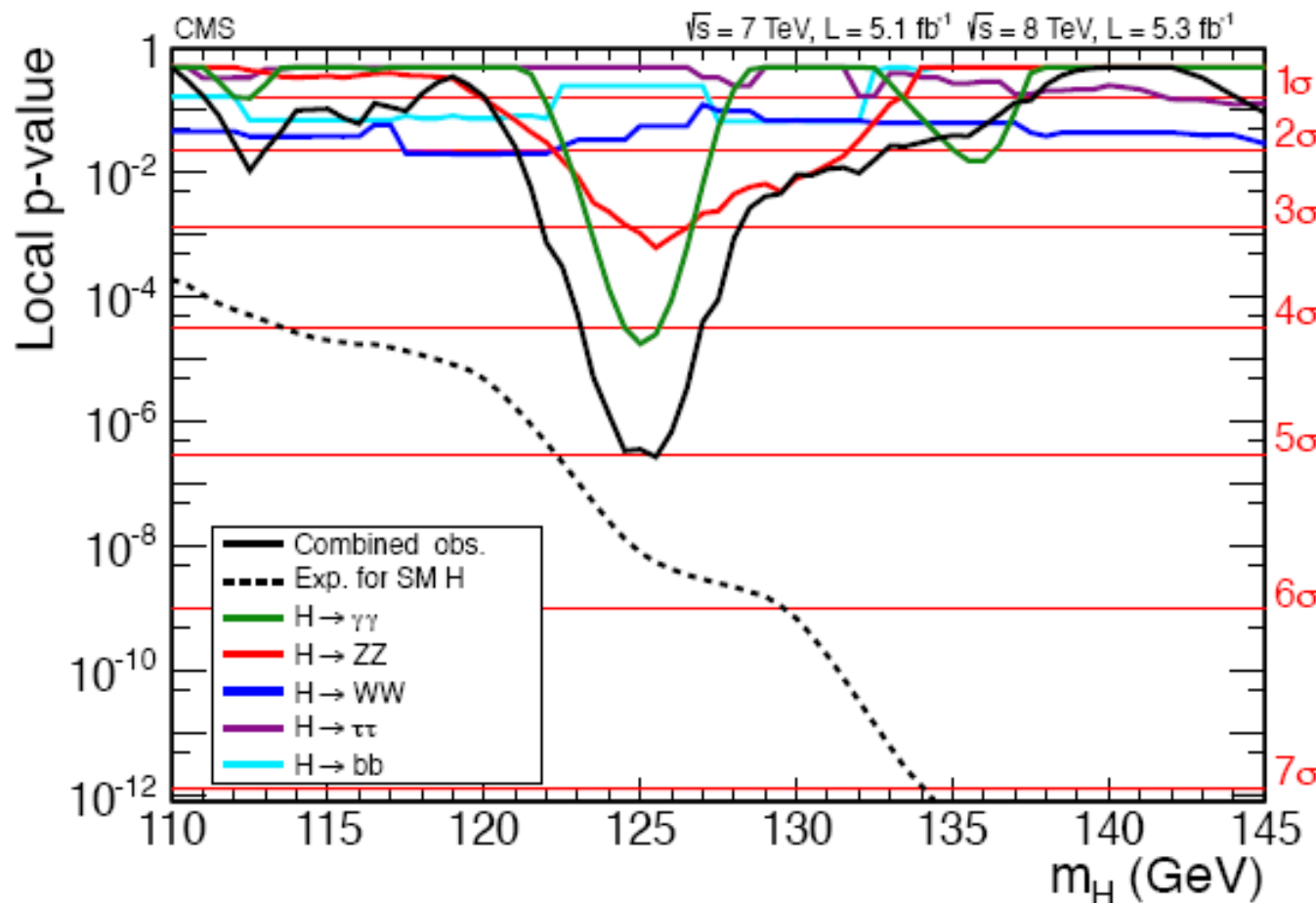
Expected for SM Higgs signal: 4.7 σ



Discovery of a new state

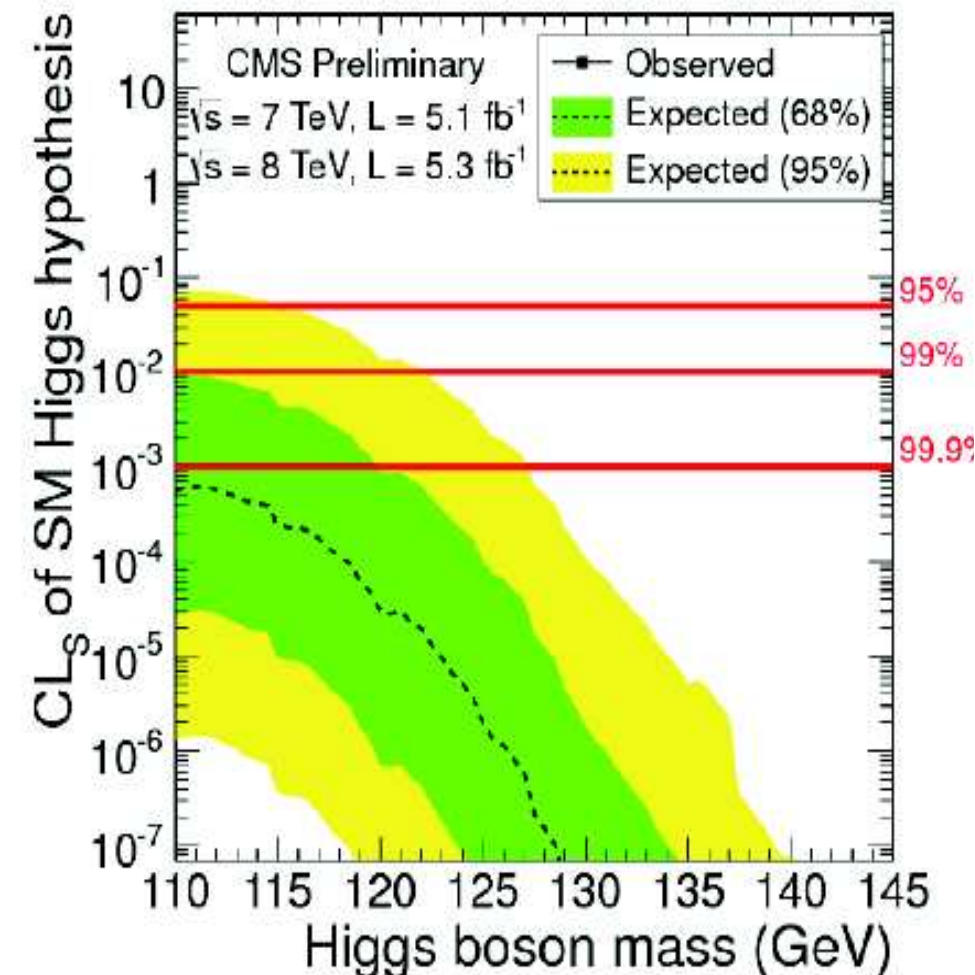
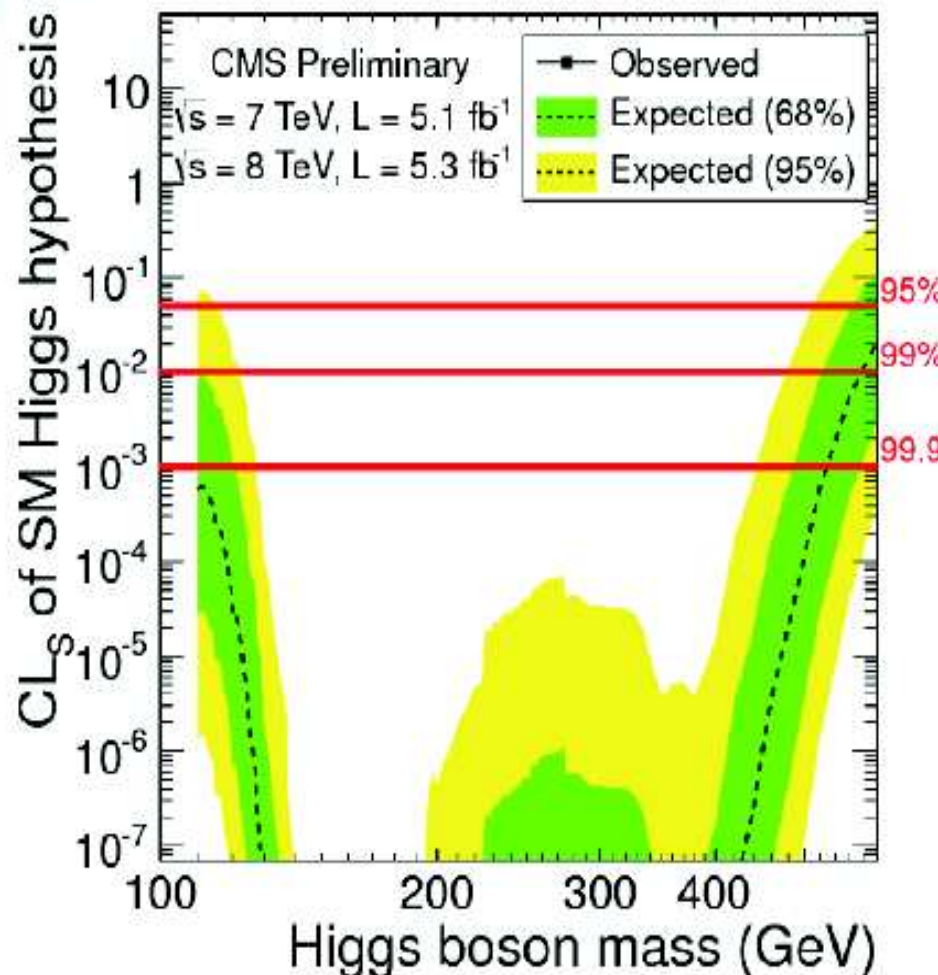
Combination: all the channels

Local significance of excess: **5.0 σ**
Expected for SM Higgs signal: 6.0 σ



Discovery of a new state

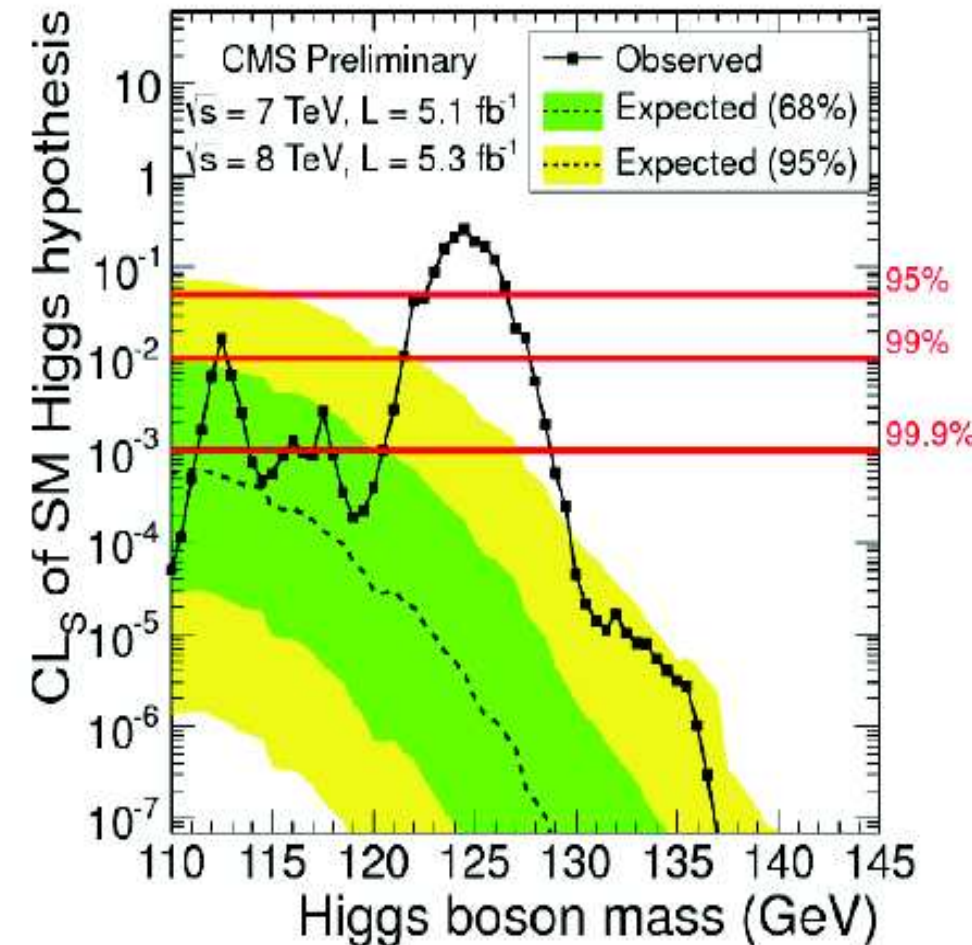
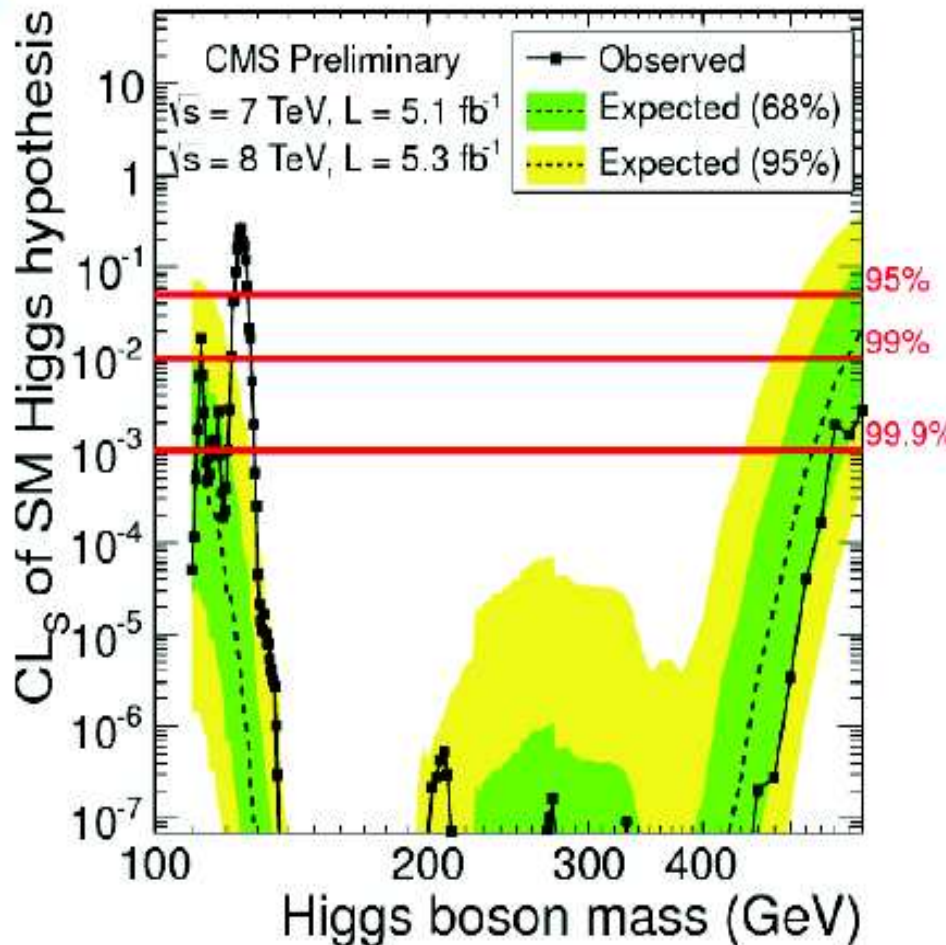
SM Higgs exclusion: confidence level



Expected in absence of SM Higgs boson:

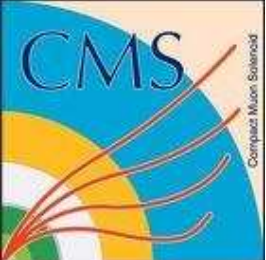
110 – 600 GeV at 95% CL
110 – 580 GeV at 99% CL
110 – 520 GeV at 99.9% CL

SM Higgs exclusion: confidence level



Observed: **110 – 122.5**
110 – 112 .. 113 – 121.5

[...] **127 – 600 GeV at 95% CL**
 [...] **128 – 600 GeV at 99% CL**



In summary

We have observed a new
boson with a mass of
 $125.3 \pm 0.6 \text{ GeV}$
at
 4.9σ significance !

ATLAS today's main result (preliminary):

5.0σ excess at $m_H \sim 126.5$

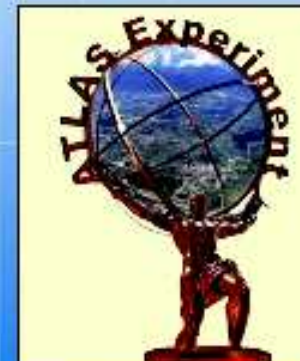
These accomplishments are the results of more than 20 years of talented work and extreme dedication by the ATLAS Collaboration, with the continuous support of the Funding Agencies

More in general, they are the results of the ingenuity, vision and painstaking work of our community (accelerator, instrumentation, computing, physics)

Argentina
Armenia
Australia
Austria
Azerbaijan
Belarus
Brazil
Canada
Chile
China
Colombia
Czech Republic
Denmark
France
Georgia
Germany
Greece
Israel
Italy
Japan
Morocco
Netherlands
Norway
Poland
Portugal
Romania
Russia
Serbia
Slovakia
Slovenia
South Africa
Spain
Sweden
Switzerland
Taiwan
Turkey
UK
USA
CERN
JINR

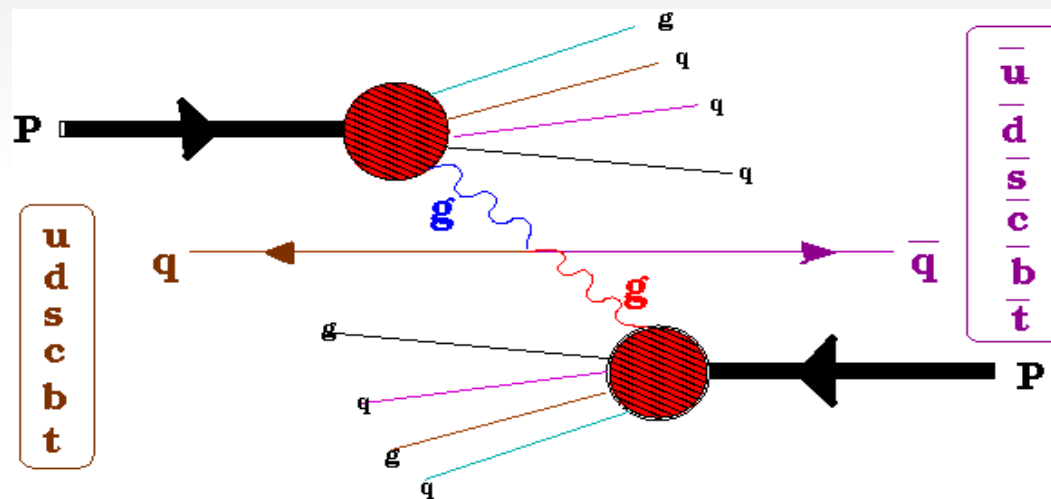


ATLAS Collaboration



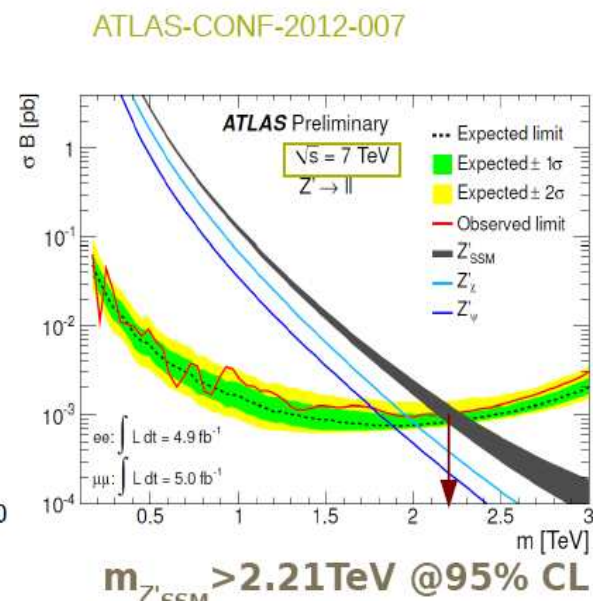
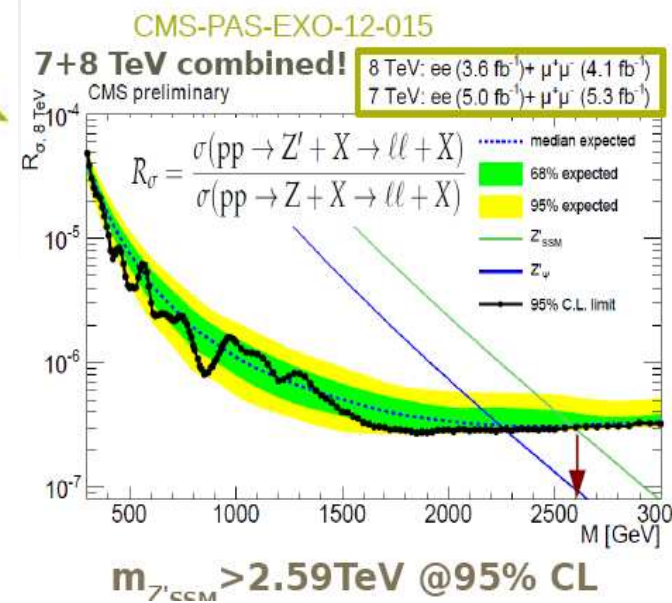
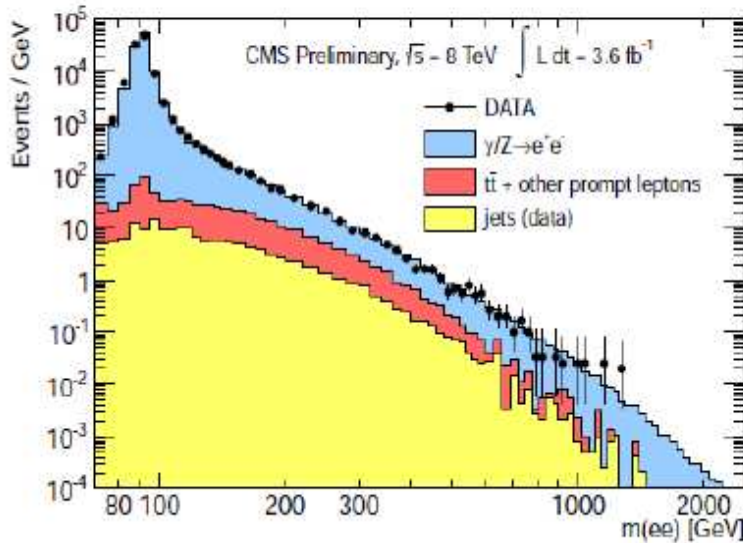
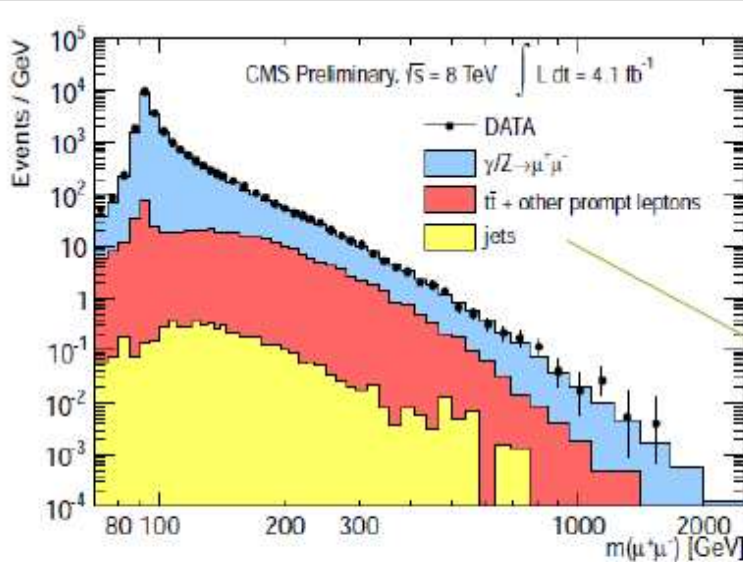
Como se descobre novas partículas?

Colisão entre partículas a altas energias

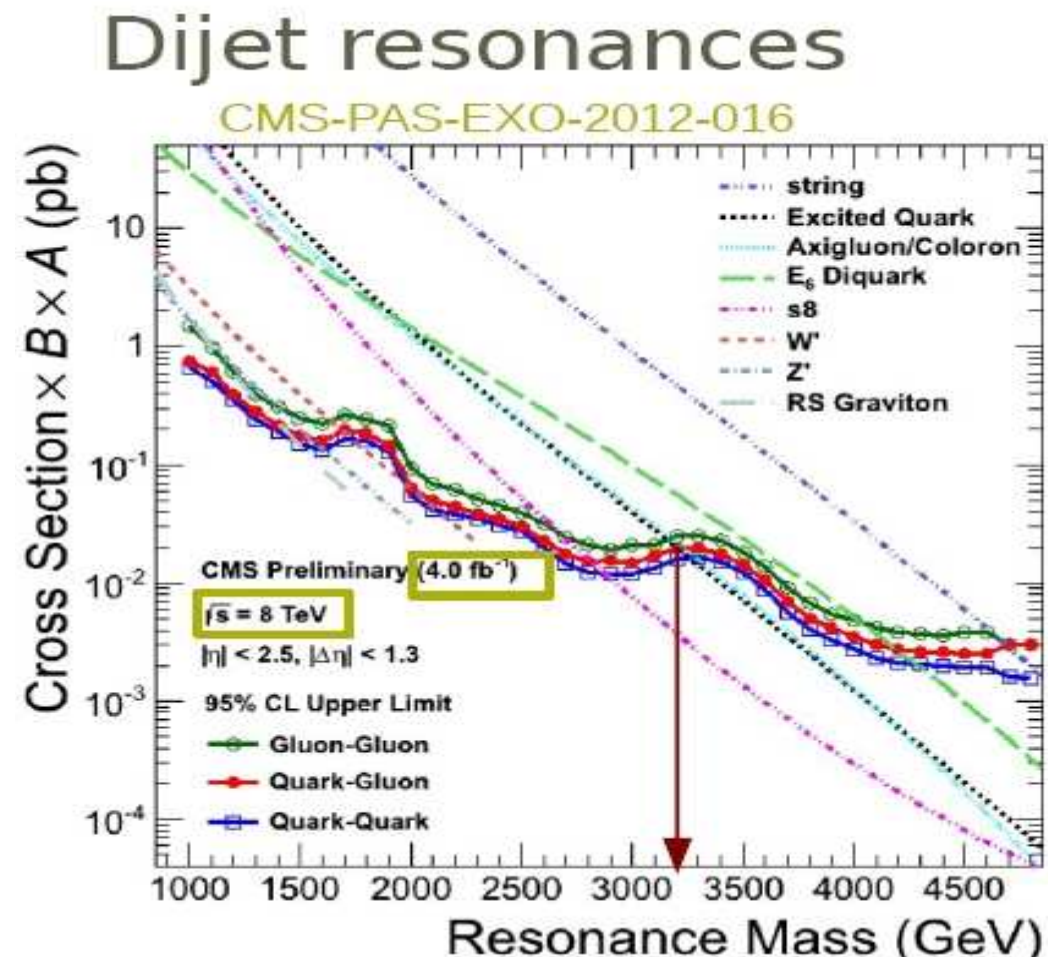
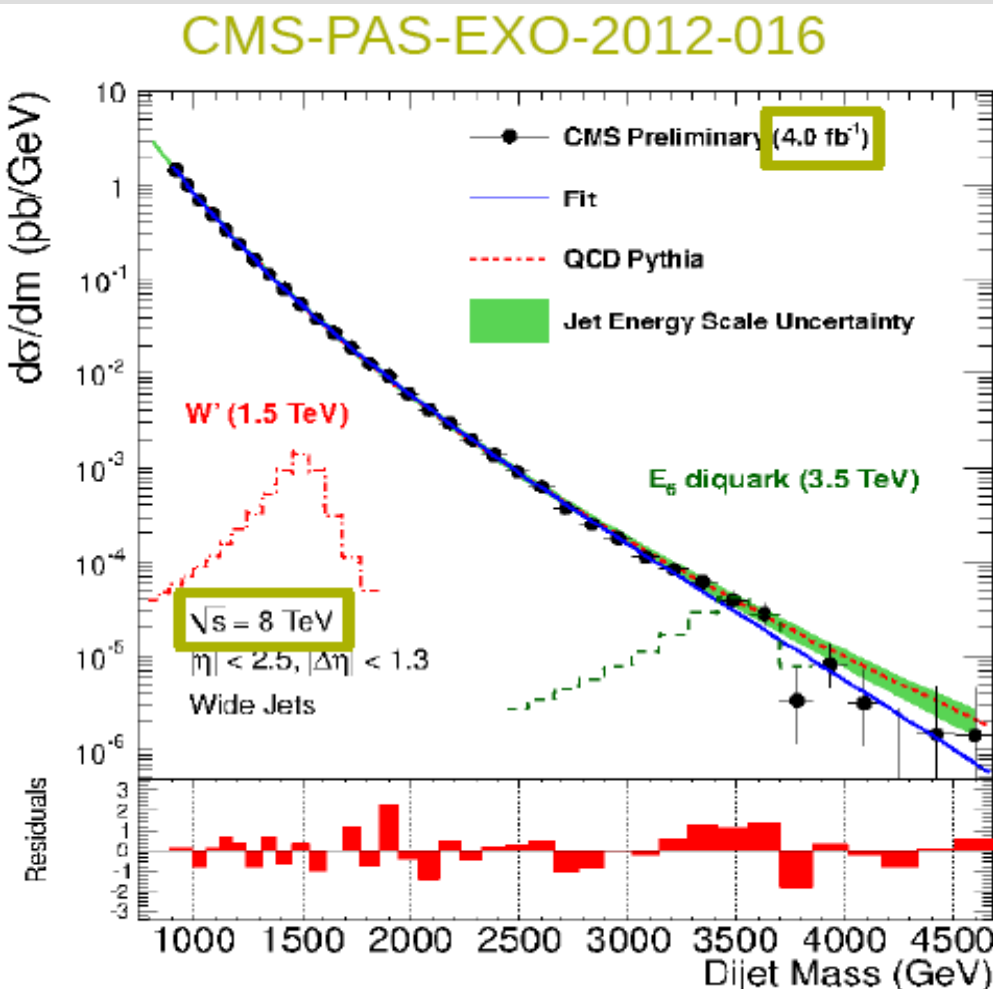


Energia da colisão
>
Massa da nova partícula

$Z' \rightarrow ee / \mu\mu$ – analysis strategy



Dijet resonances, e.g. $Z' \rightarrow qq$



@ 95% CL using Pythia 6 (8)
CMS: $m_{q^*} > 3.19 \text{ TeV} @ 95\% \text{CL}$

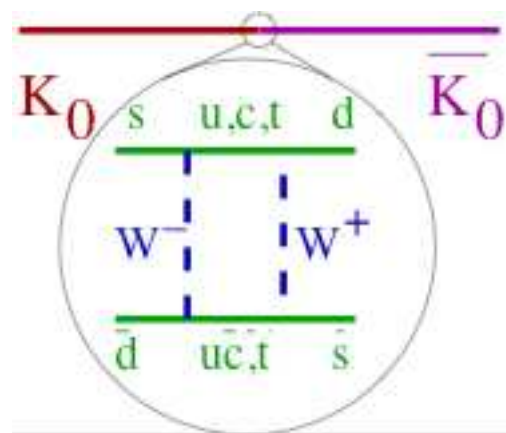
Energia altas Vs alta estatística

Produção em grandes quantidades de partículas conhecidas e observar as suas desintegrações no detalhe

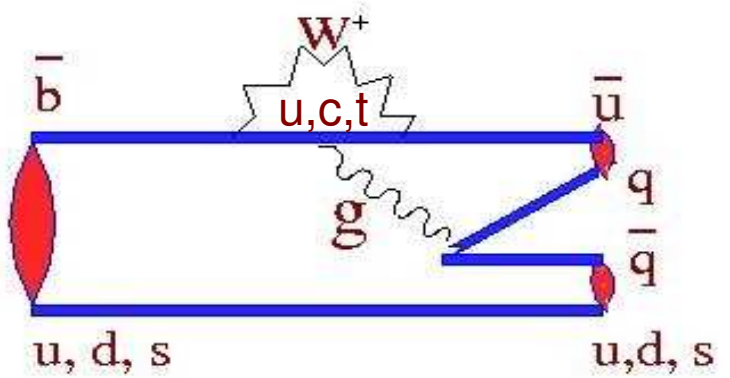
Loops com partículas intermediárias de alta massa.

Maior massa da nova partícula > Maior contribuição

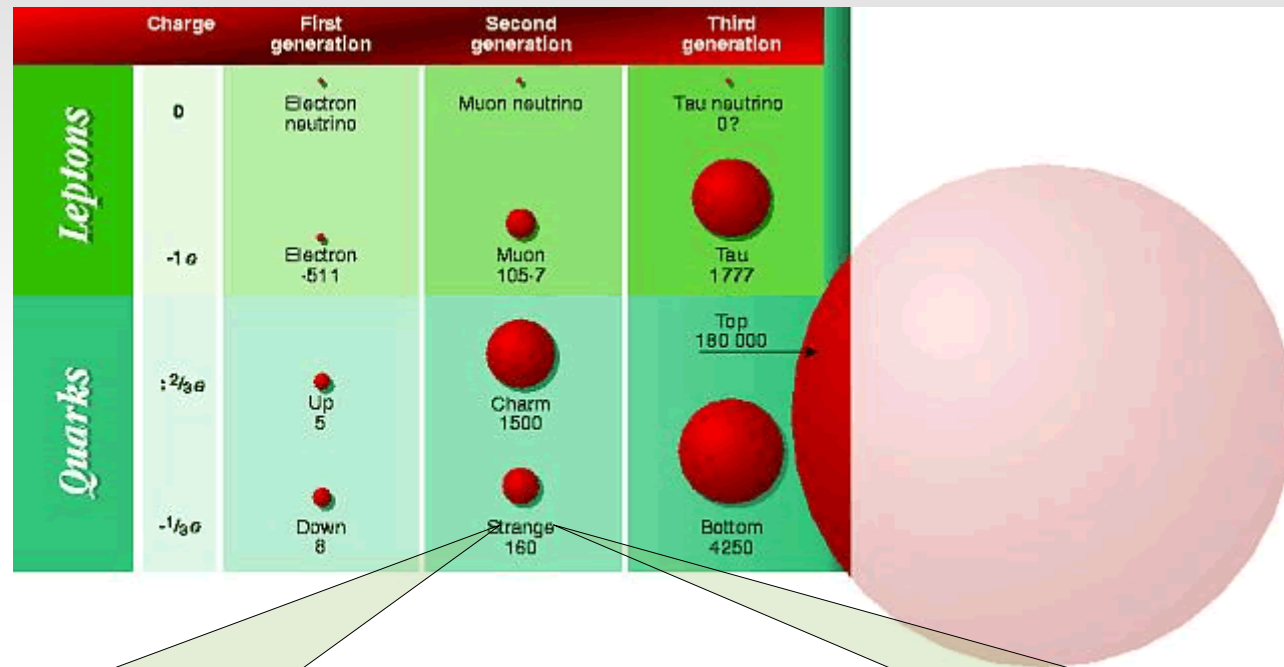
Oscilação de partículas neutras



Contribuição Penguin em desintegração de partículas



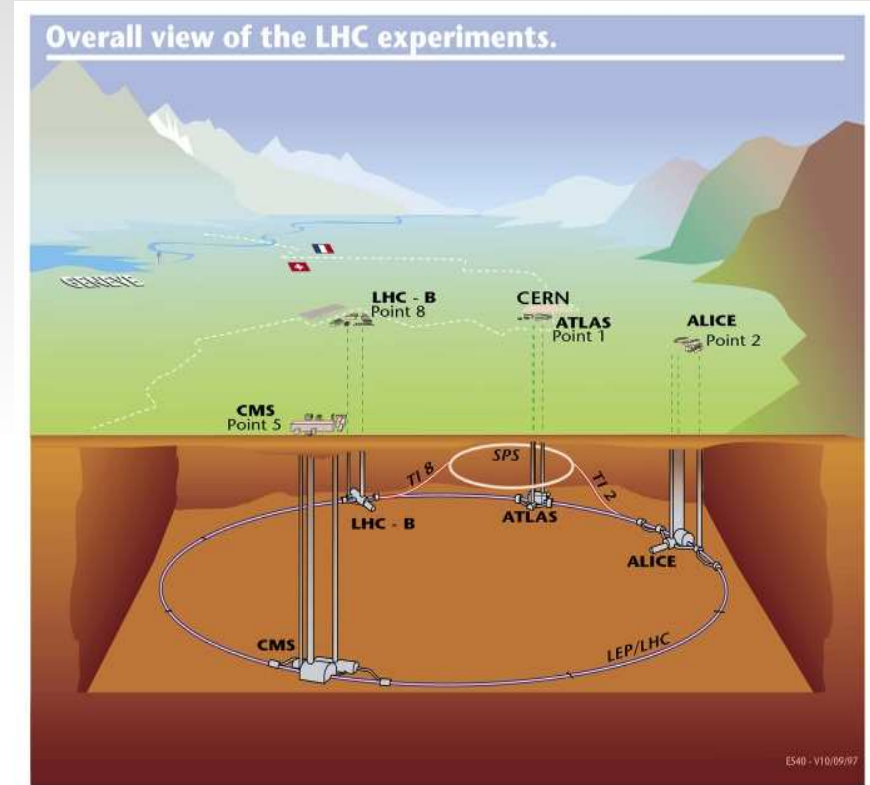
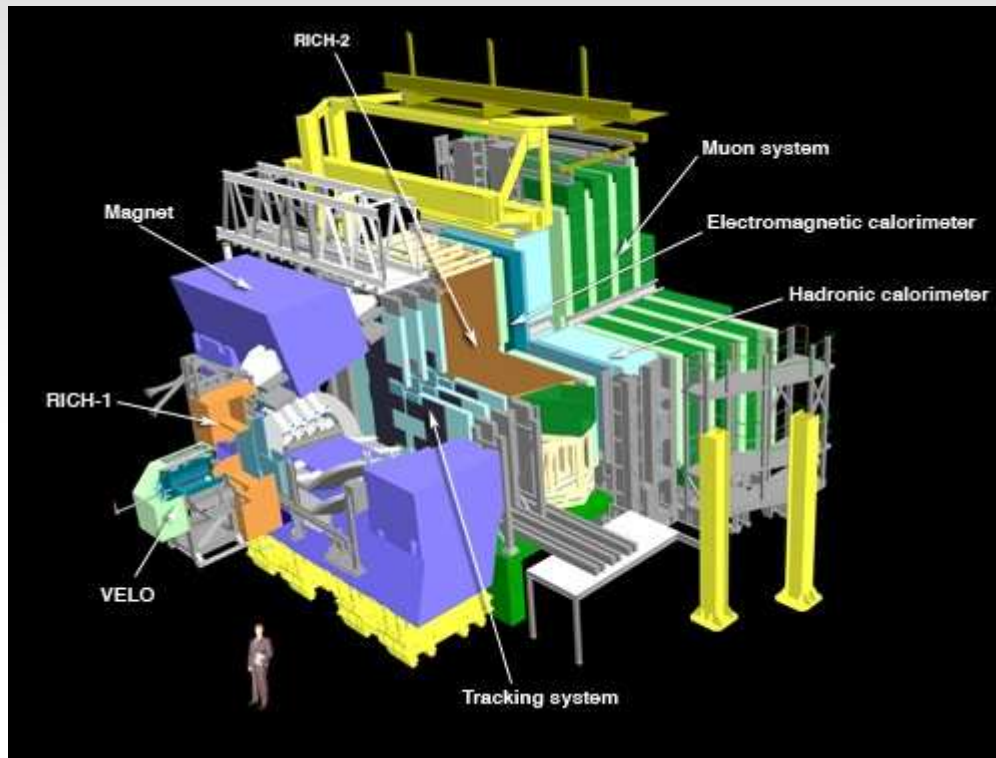
Como se descobrem novos fenômenos envolvendo novas partículas: loops!



Estudo com partículas estranhas, previram a existência dos quarks c,b e t

Estudo com partículas estranhas, mostraram a existencia de violacao de CP no modelo standard.

Colaboração LHCb no LHC



Produzir de 10 a 100 vezes mais B's e D's, reconstruídos por ano, que o Belle e BaBar produziram nos 10 anos de funcionamento.

800 colaboradores, mais de cinquenta instituições de pesquisa, custo de construção cerca de 100M de CHF.

*Desintegração de partículas em três corpos e
busca por violação de CP.*

Busca de violação de CP em desintegrações em três hadrons.

Projeto CBPF e IF/UFRJ

I.B, R.E. Blanco, C. Gobel, R. Mendez-Galain, Phys.Rev.Lett.81:4067-4070,1998.

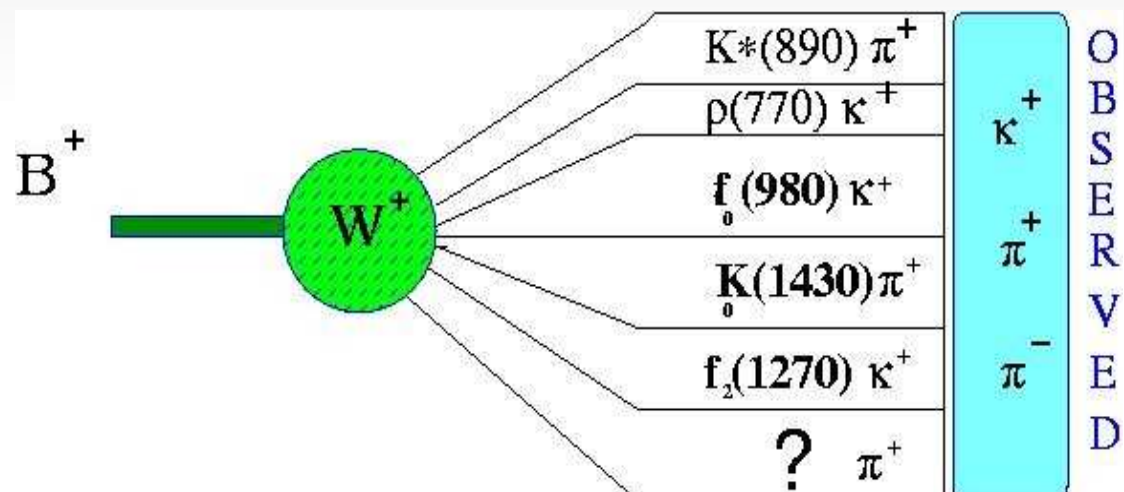
I.B, Gabriel Guerrer and Jussara Miranda, Phy.Rev D76: 073011 (2007)

I.B., I.I. Bigi, A. Gomes, G. Guerrer, J. Miranda and A.C. Dos Reis .Phys. Rev. D 80, 096006 (2009)

I.B., I.I. Bigi, A. Gomes, J. Miranda, A.C. Dos Reis, J. Otalora and A. Veiga,Phys. Rev. D 86, 036005 (2012)

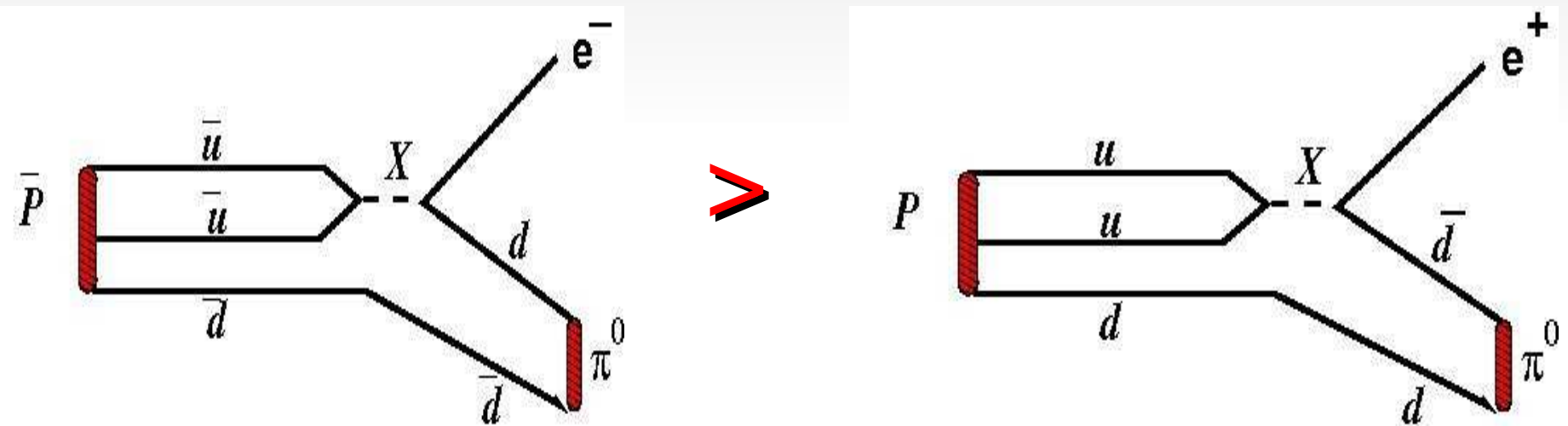
- Study the B decays: and intermediary states:

- $B^\pm \rightarrow \pi^\pm \pi^+ \pi^-$
- $B^\pm \rightarrow K^\pm \pi^+ \pi^-$
- $B^\pm \rightarrow \pi^\pm K^+ K^-$
- $B^\pm \rightarrow K^\pm K^+ K^-$
- $B^\pm \rightarrow \pi^\pm \bar{p} p$
- $B^\pm \rightarrow K^\pm \bar{p} p$



Violacão de CP

Desintegração do próton seria menor que a do antiproton



$$\mathbf{B}^+ \rightarrow K^+ K^- K^+ \neq \mathbf{B}^- \rightarrow K^- K^+ K^-$$

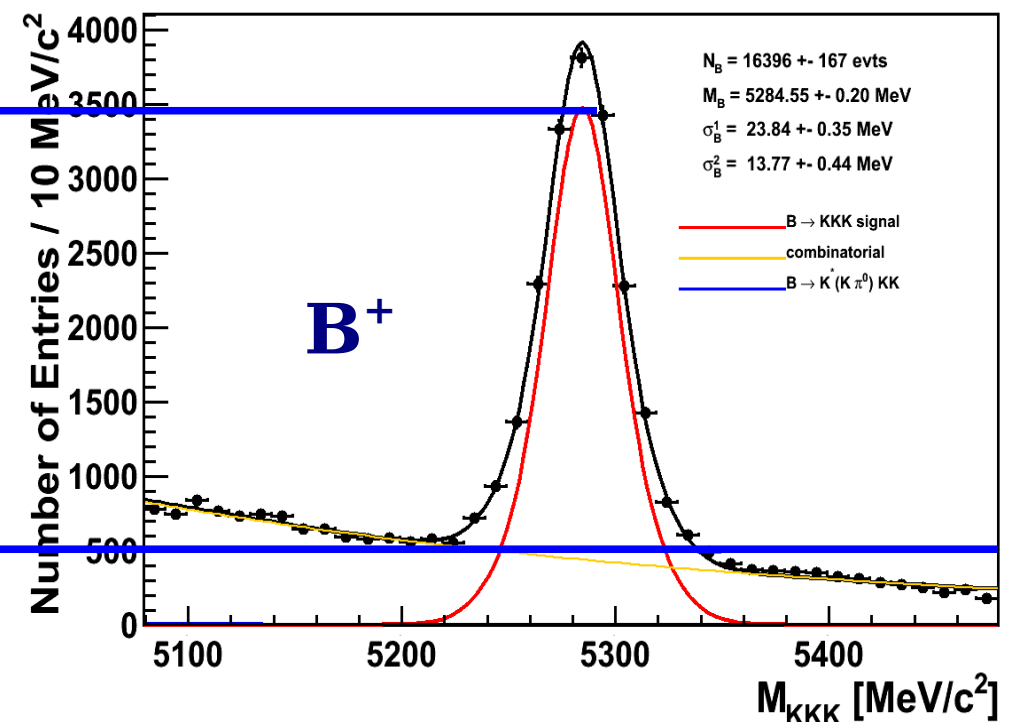
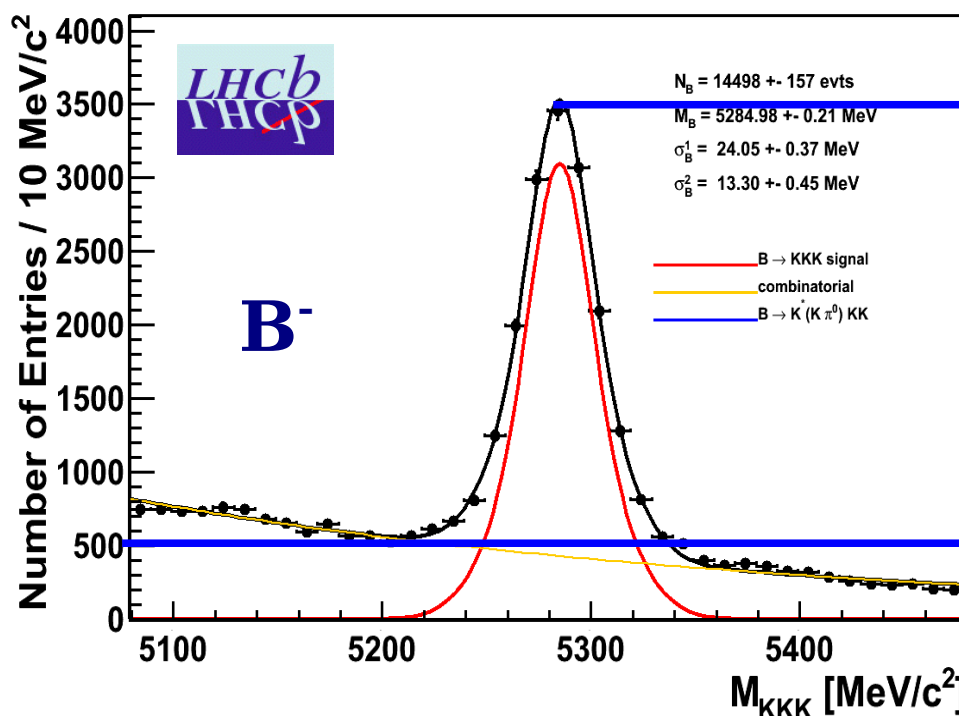
Total charge asymmetry for

$B^+ \rightarrow K^+ K^- K^+$

ICHEP2012

$N(B^-) = 14,498 \pm 156$

$N(B^+) = 16,396 \pm 167$



Total charge asymmetry:

$$ACP_RAW = \frac{N(B^-) - N(B^+)}{N(B^-) + N(B^+)} = -0.061 \pm 0.007$$

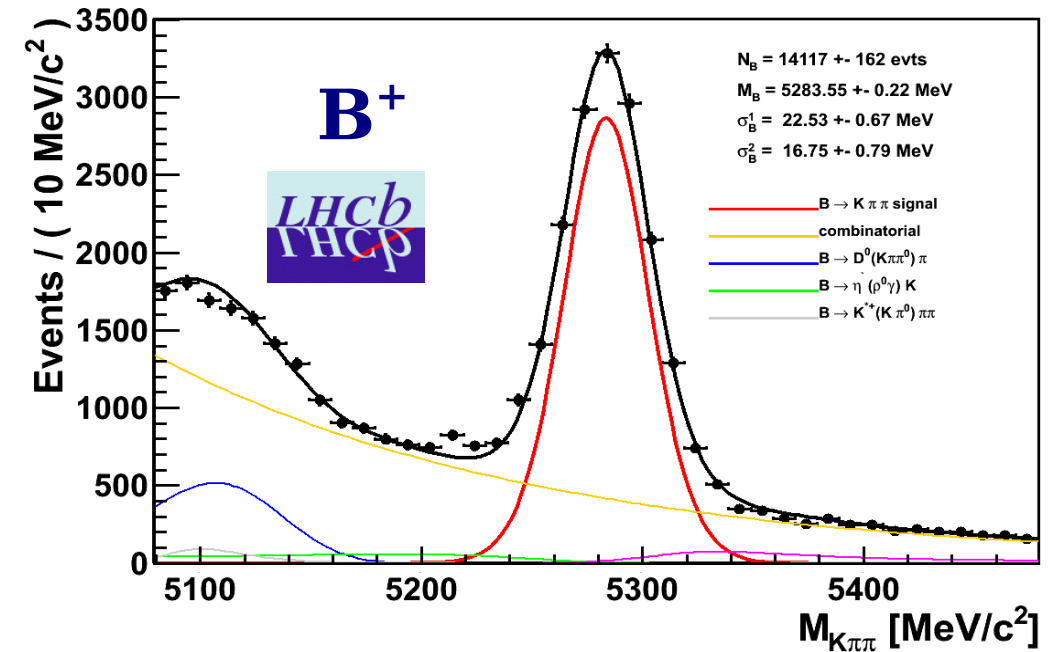
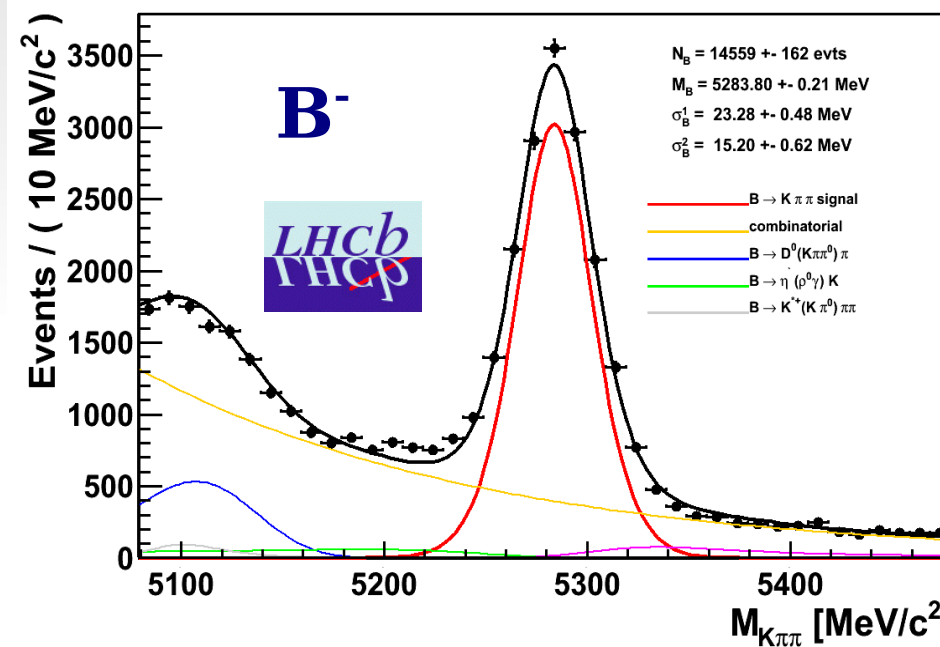
Total charge asymmetry for

$$B^+ \rightarrow K^+ \pi^- \pi^+$$

ICHEP2012

$N(B^-) = 14,559 \pm 162$

$N(B^+) = 14,117 \pm 162$

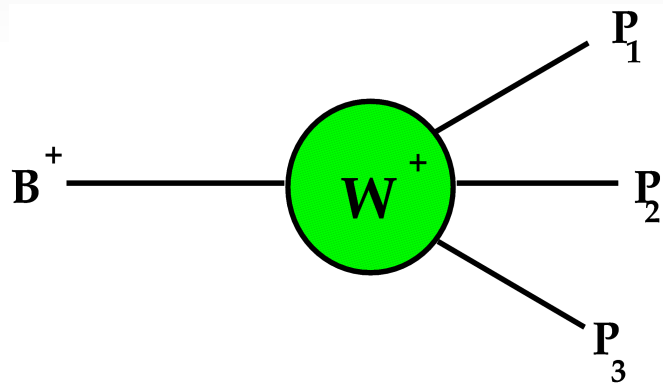


Total charge asymmetry:

$$\text{ACP_RAW} = \frac{N(B^-) - N(B^+)}{N(B^-) + N(B^+)} = 0.015 \pm 0.008$$

Decaimento do B em três mésons

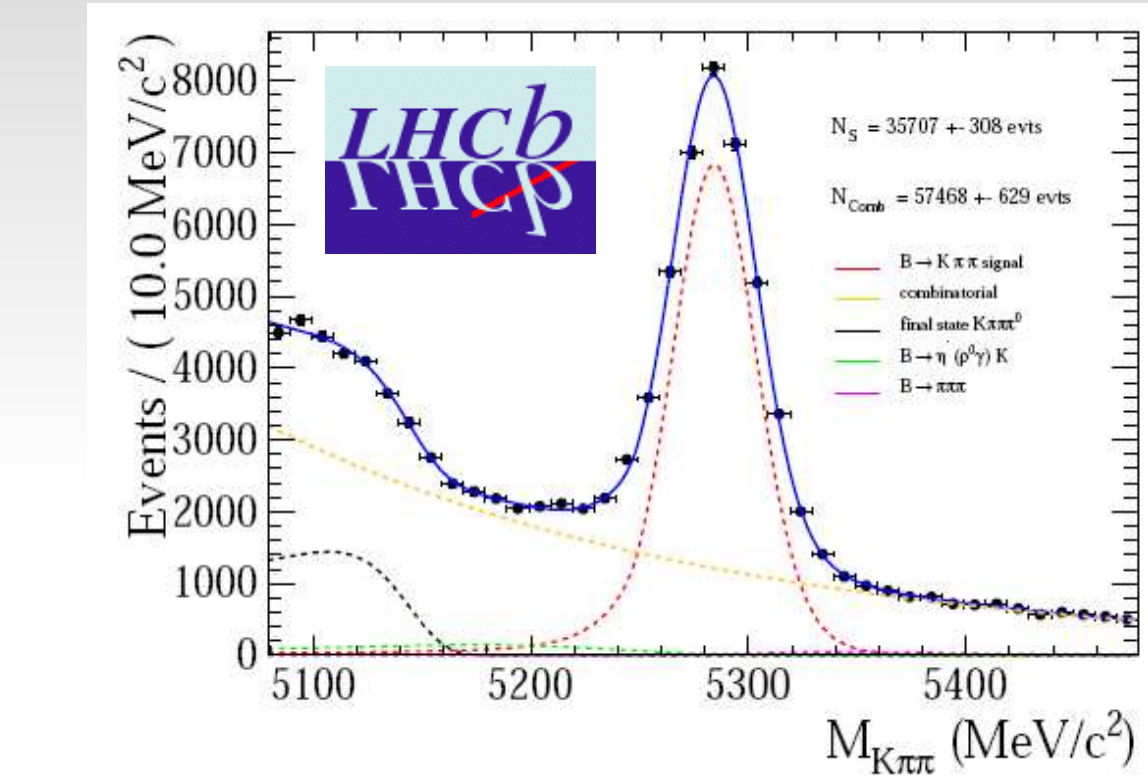
$35,707 \pm 308$ eventos de sinal $B^\pm \rightarrow K^\pm \pi^+ \pi^-$
Dados de 2011



$$s_{12} = M_{12}^2 = (p_1^\nu + p_2^\nu)^2$$

$$s_{13} = M_{13}^2 = (p_1^\nu + p_3^\nu)^2$$

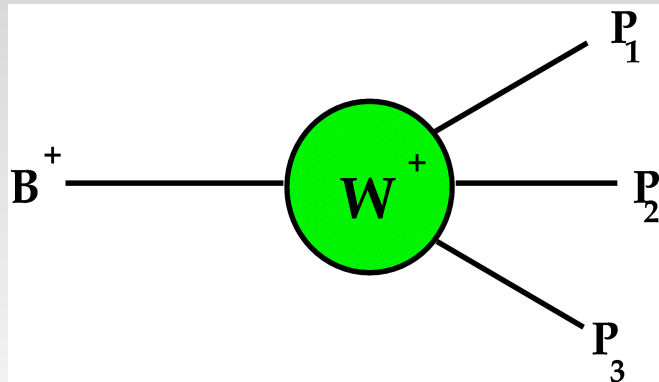
$$s_{23} = M_{23}^2 = (p_2^\nu + p_3^\nu)^2$$



$$M_B^2 = (\mathbf{P}_B^\nu)^2 = (\mathbf{P}_1^\nu + \mathbf{P}_2^\nu + \mathbf{P}_3^\nu)^2$$

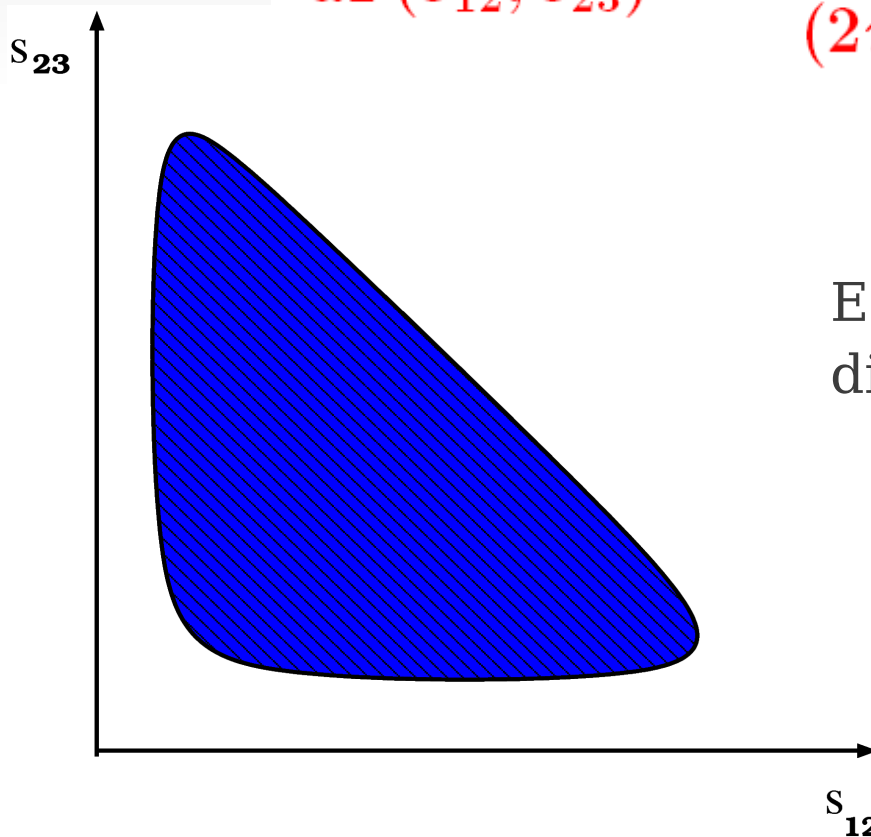
$$M_B^2 + m_1^2 + m_2^2 + m_3^2 = s_{12} + s_{23} + s_{13}$$

Dalitz Plot-



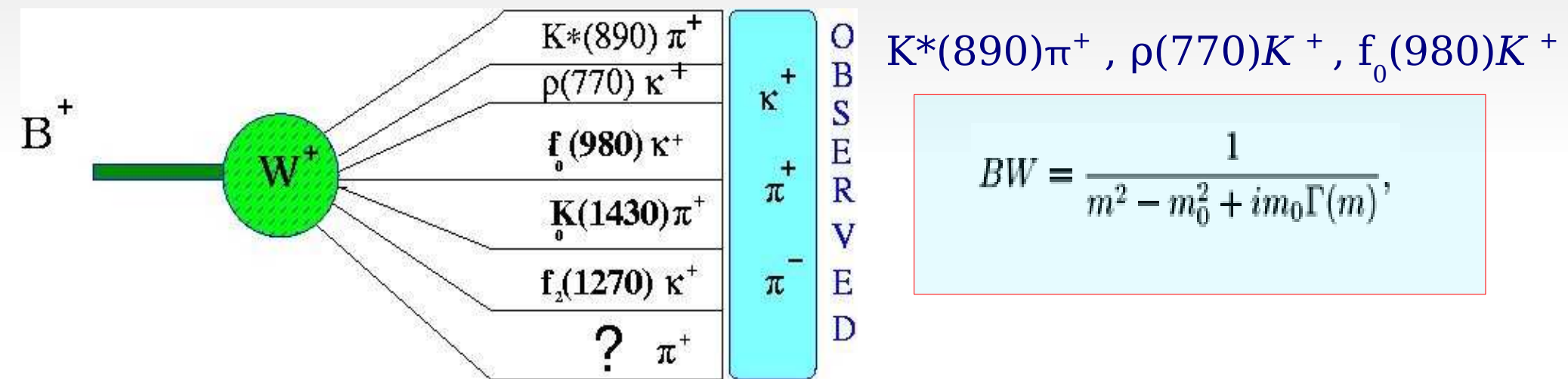
$$s_{12} = M_{12}^2 = (p_1^\nu + p_2^\nu)^2$$
$$s_{13} = M_{13}^2 = (p_1^\nu + p_3^\nu)^2$$
$$s_{23} = M_{23}^2 = (p_2^\nu + p_3^\nu)^2$$

$$d\Gamma(s_{12}, s_{23}) = \frac{1}{(2\pi)^3 32M_B^3} |\mathcal{M}|^2 ds_{12} ds_{23}$$



Espaço de fase onde escrevo a dinâmica dada pelo $|\mathcal{M}|^2$

Busca de violação de CP em desintegrações em três hadrons.



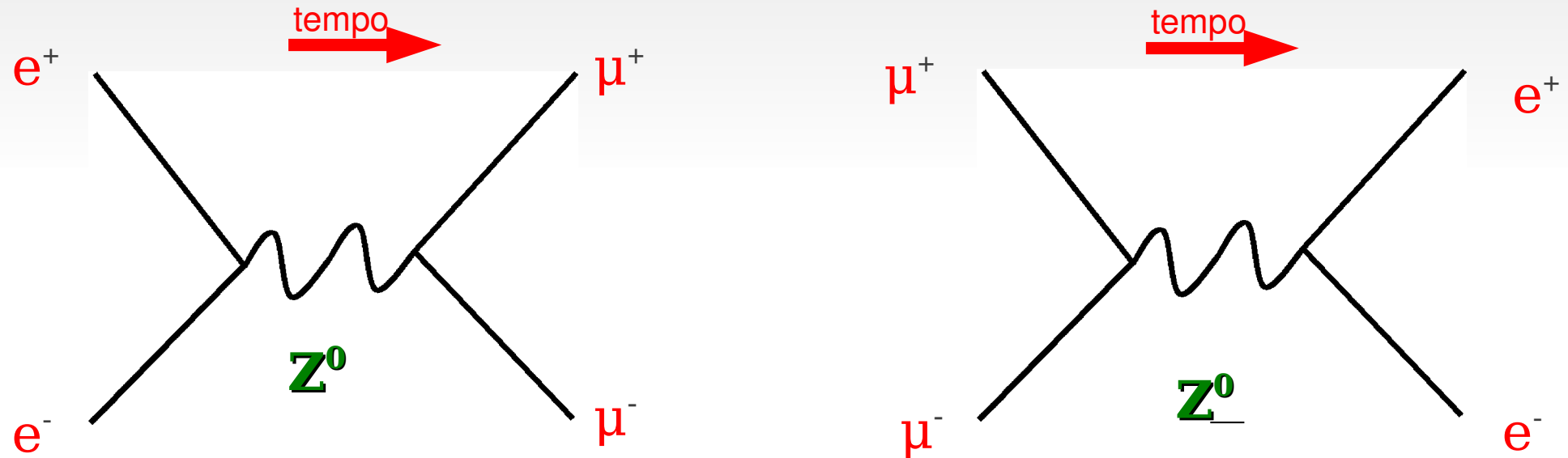
Soma coerente de amplitudes

Interferências e fases
Ressonâncias: partículas com vidas médias 10^{-24} s,
se desintegram por interações fortes.

Teorema de CPT

Se aplica a qualquer teoria invariante de Lorentz, onde os observáveis são representados por operadores hermitianos.

Violação de CP → Irreversibilidade.



Transformação em tempo deve ser descrita por

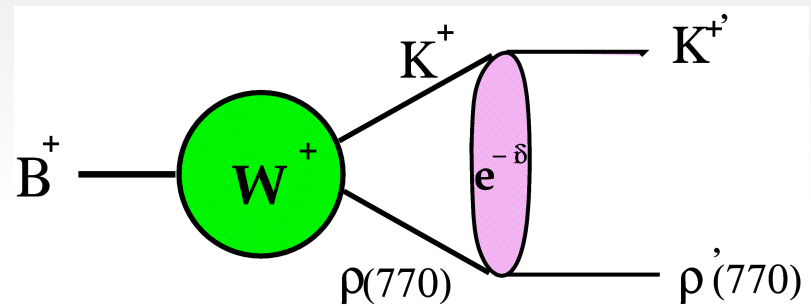
uma transformação unitária e complexa $e^{-iEt} \rightarrow T \rightarrow e^{iEt}$.

Violação de CP implica na existência de uma fase.

Heavy meson three body decays.

Amplitude analysis

- Isobaric Model amplitude two body plus one bachelor
- $M_i = BW_i \times \Theta_i^J$
- BW - Breit Wigner
- Θ_i^J - angular function
- $M_T = \sum a_i e^{i\delta_i} M_i$
- δ_i is the re-scattering phase



Work pretty well for
charm three body decays.

- Approximation 2 + 1 work at least in first order.

Working group Nabis

Different expertise → formation of working group Nabis

From Theory

I. Bigi, S. Gardner (USA)

C. Hanhart, Th. Mannel, U.-G. Meißner, W. Ochs, A. Sibirtsev (Germany)

J.A. Oller, J.R. Pelaez (Spain)

M.R. Pennington (UK)

From Experiment

I. Bediaga (Brazil)

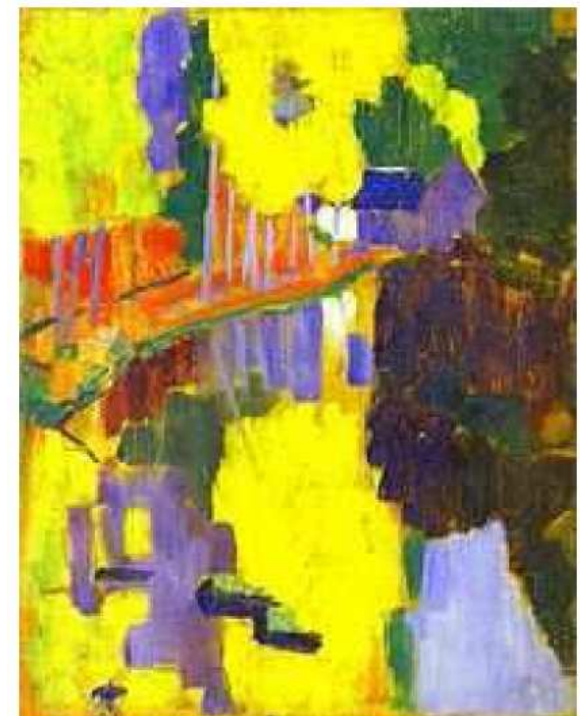
A.E. Bondar (Russia)

A. Denig, W. Gradl, K. Peters, U. Wiedner (Germany)

T.J. Gershon (UK)

B.T. Meadows (USA)

G. Wilkinson (Switzerland)



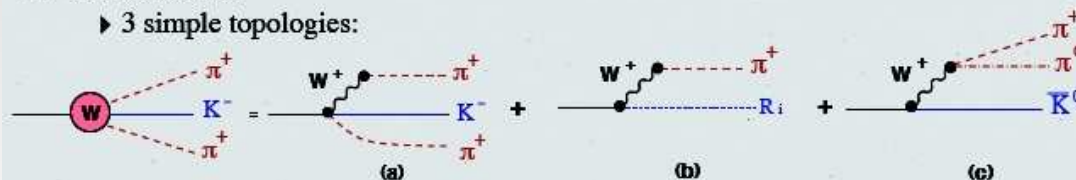
The talisman Paul Serusier, 1888

Re-scattering in three body heavy meson decays.

P.C. Magalhaes, M.R. Robilotta, K.S.F.F. Guimaraes, T. Frederico, W. de Paula, I. B., A.C.dos Reis, , C.M. Maekawa, G.R.S. Zarnauskas, Phys.Rev.{ D84}:094001,2011.

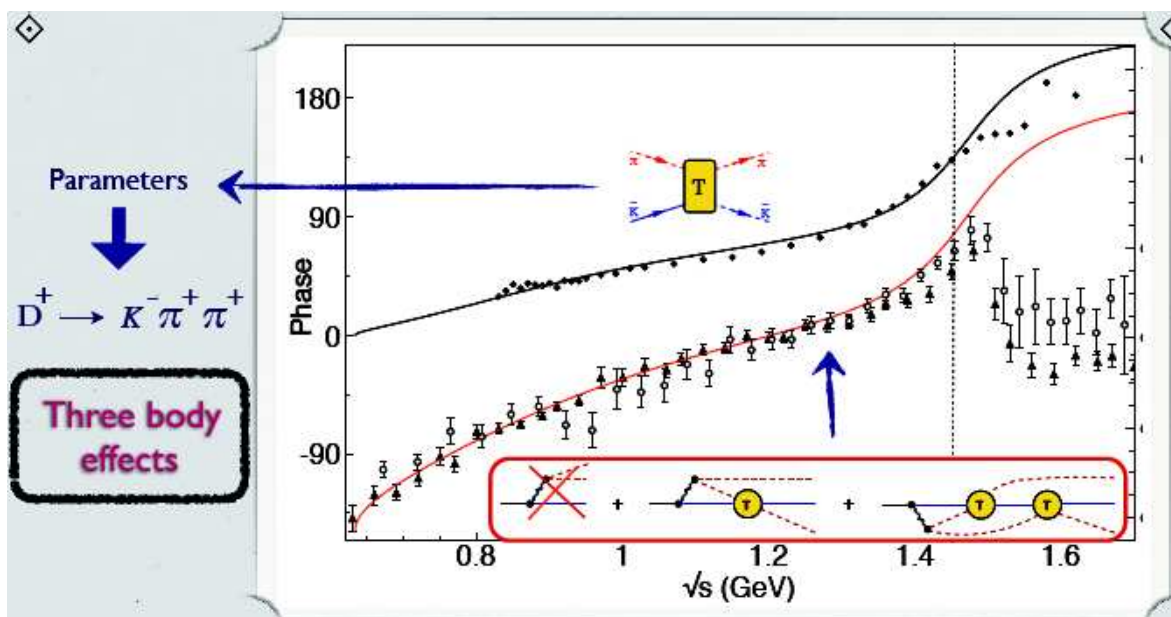
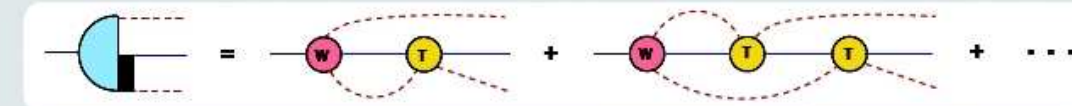
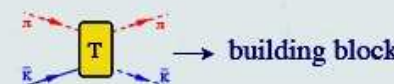
● Weak vertex

- 3 simple topologies:



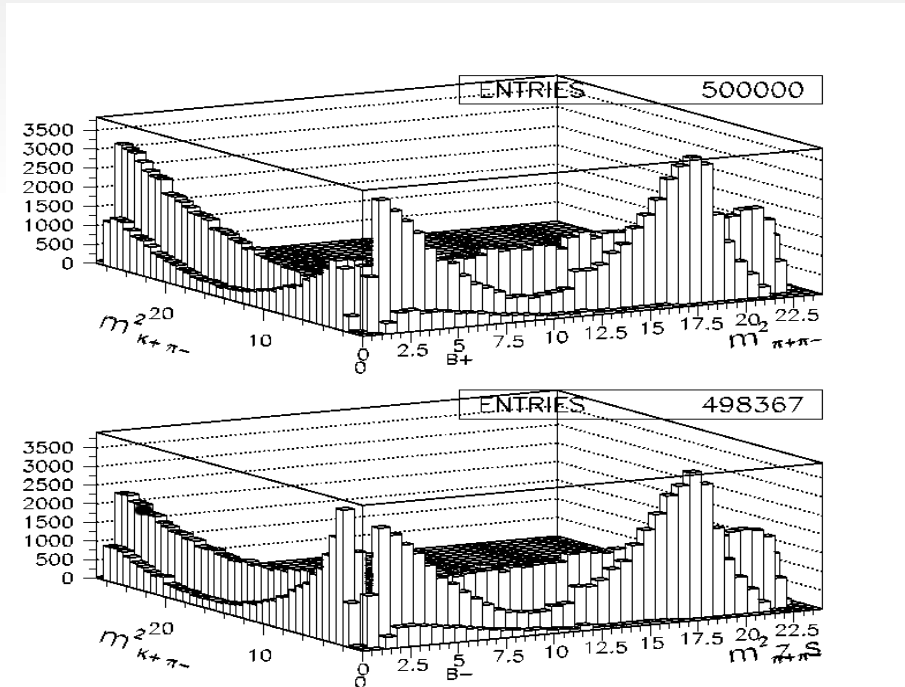
● FSI: three-body rescattering model

- ChPT in SU(3) sector.
- $\pi^+\pi^+$ interaction can be neglected



Violacão de CP no Dalitz plot: Subtração entre os planos dos decaimentos

$$B^+ \rightarrow K^+ \pi^- \pi^+ \text{ do } B^- \rightarrow K^- \pi^+ \pi^-$$



$$B^+ \rightarrow K^+ \pi^- \pi^+$$

$$B^- \rightarrow K^- \pi^+ \pi^-$$

Diferença entre os dois planos \Rightarrow Violacão de CP

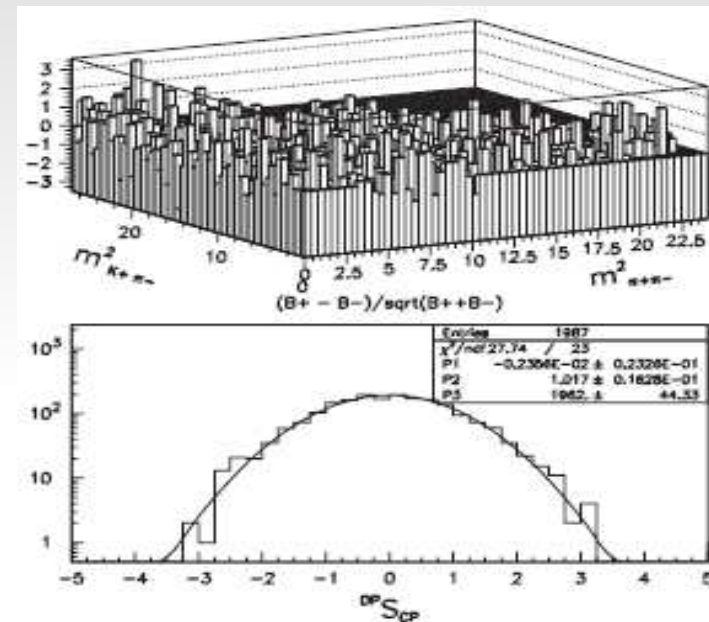
Search for sources of ~~CP~~ in $B^+ \rightarrow hhh$: Mirandizing

Subtract B^+ and B^- Dalitz surface and write the significance of each bin:

$${}^{DP}S_{CP}(i) = \frac{(N^+(i) - N^-(i))}{\sqrt{(N^+(i) + N^-(i))}}$$



For $B^+ \equiv B^- \Rightarrow CP$



bins of significance

"imported" from astrophysical community:
Ti-pei Li and Yu-qian Ma, Astr.Jour.272(1983) ,317 by

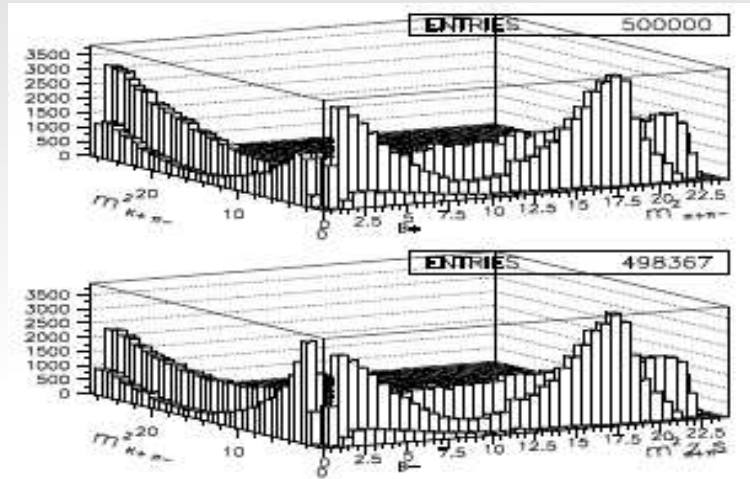
I.B., I.I. Bigi, A. Gomes, G. Guerrer,
J. Miranda and A.C. Dos Reis
-Phys. Rev. D 80, 096006 (2009)

Pure statistical fluctuation:
centred Gaussian of unit width $g_0(0,1)$.

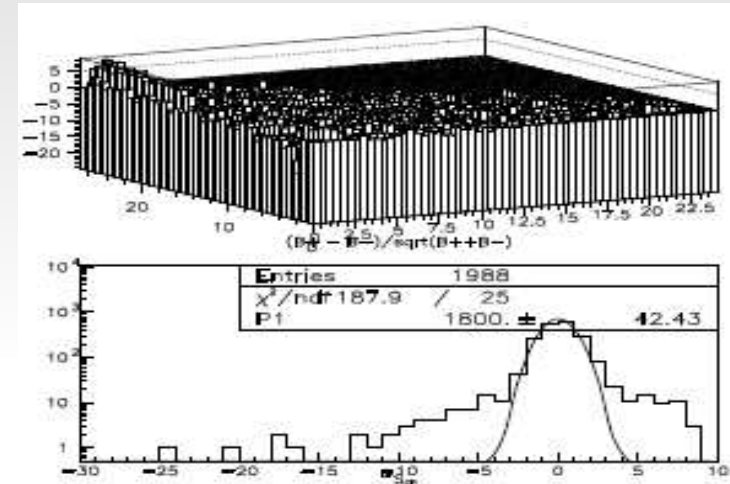
CP invariance $\Rightarrow g(0,1)$

Search for sources of \cancel{CP} in $B^+ \rightarrow hhh$: Mirandizing

$$B^+ \neq B^- \Rightarrow \cancel{CP}$$



$DP S_{CP}$



bins of significance

$$\cancel{CP} \Rightarrow g(0,1)$$

Possibility of probing regions of the Dalitz plot looking at interference with \cancel{CP} :

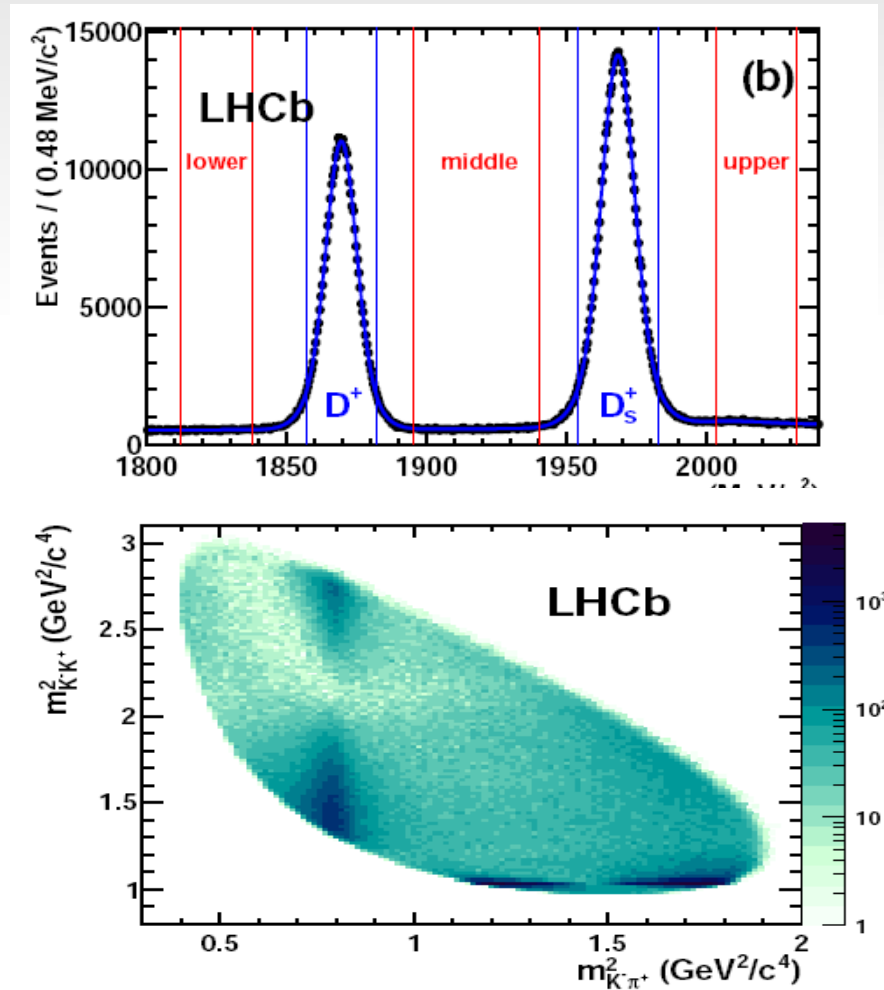
1- resonant intermediary asymmetries like: $A_{cp}(B^+ \rightarrow K^+ \rho^0)$

2- \cancel{CP} in interferences between intermediary resonant states with CP
model independent method

Application of the method

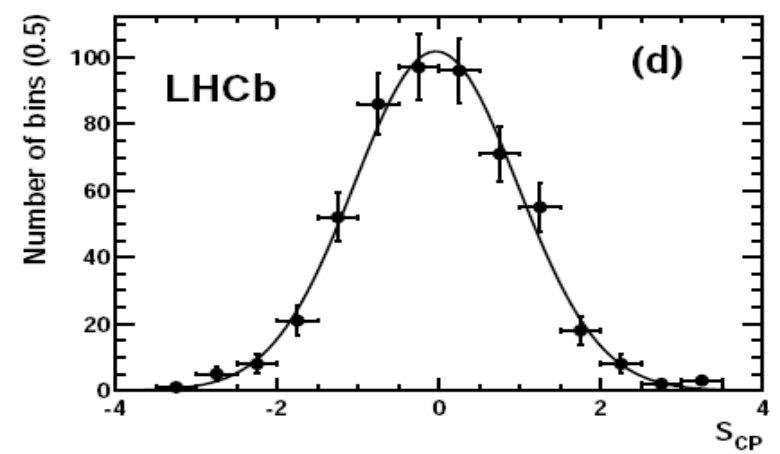
Mirandizing in date: $D^+ \rightarrow K^+ K^- \pi^+$

LHCb Collaboration, Phys.Rev.D84:112008,2011.



370.000 eventos
0.035 ft⁻¹

$$CP \Rightarrow g(0,1)$$

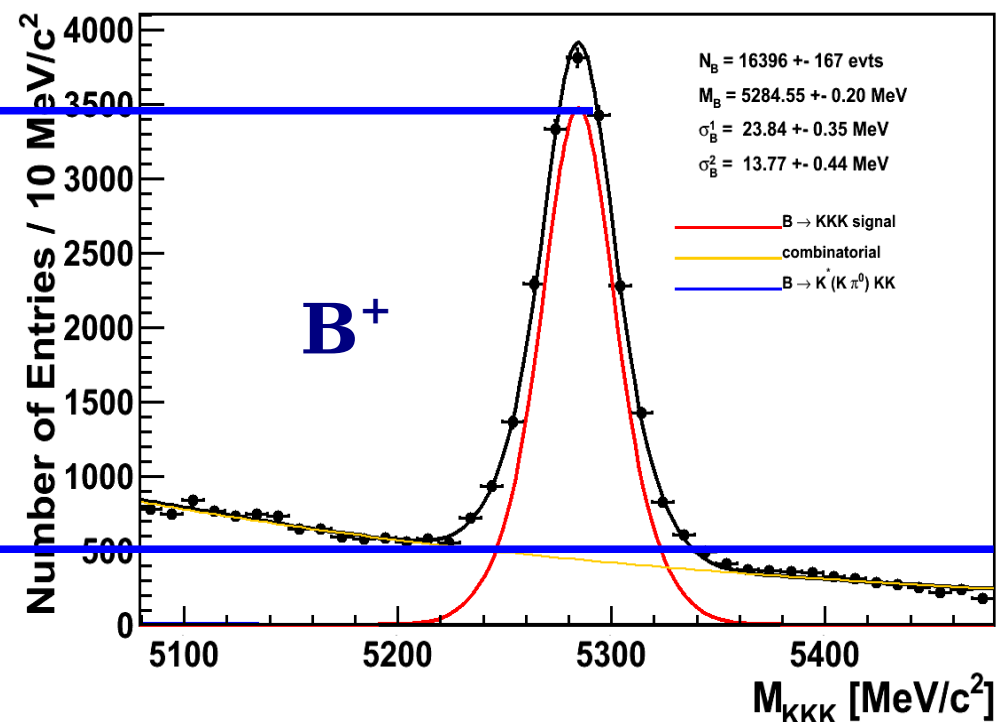
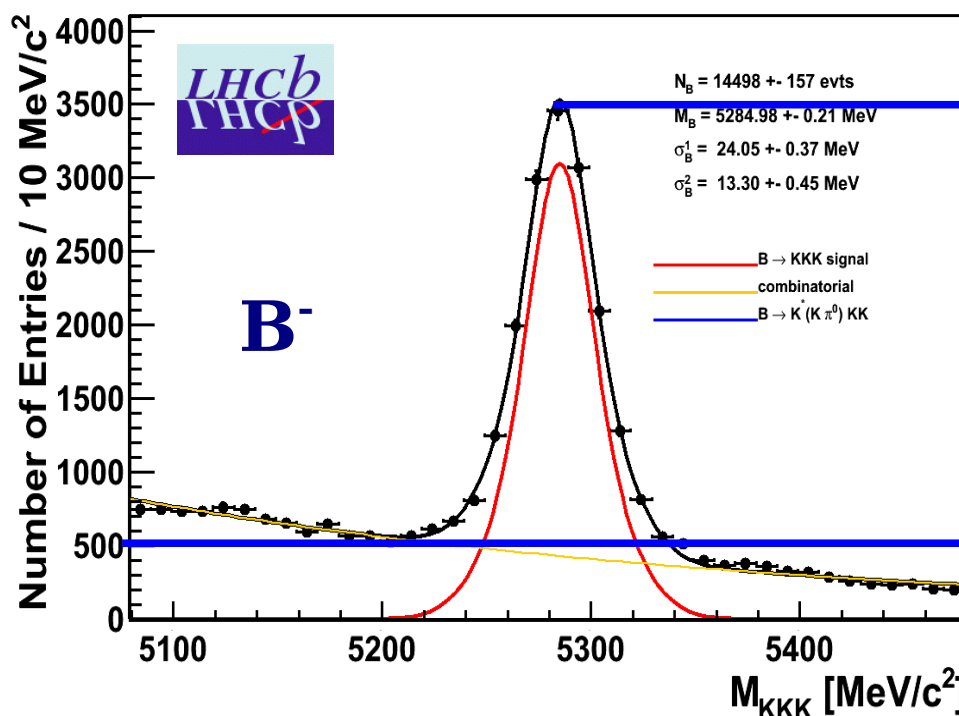


Total charge asymmetry for

$$B^+ \rightarrow K^+ K^- K^+$$

$$N(B^-) = 14,498 \pm 156$$

$$N(B^+) = 16,396 \pm 167$$

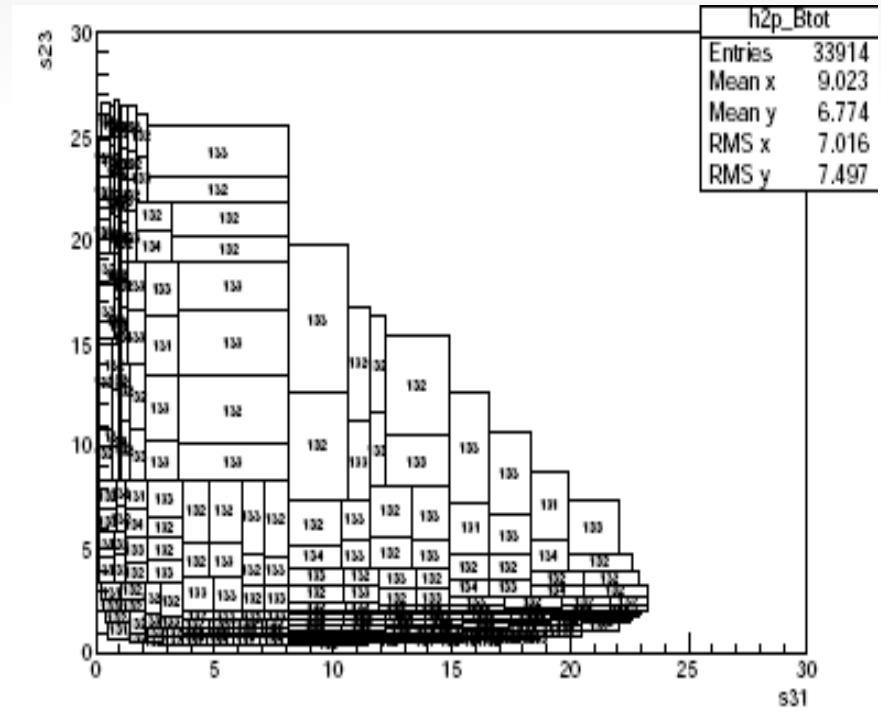
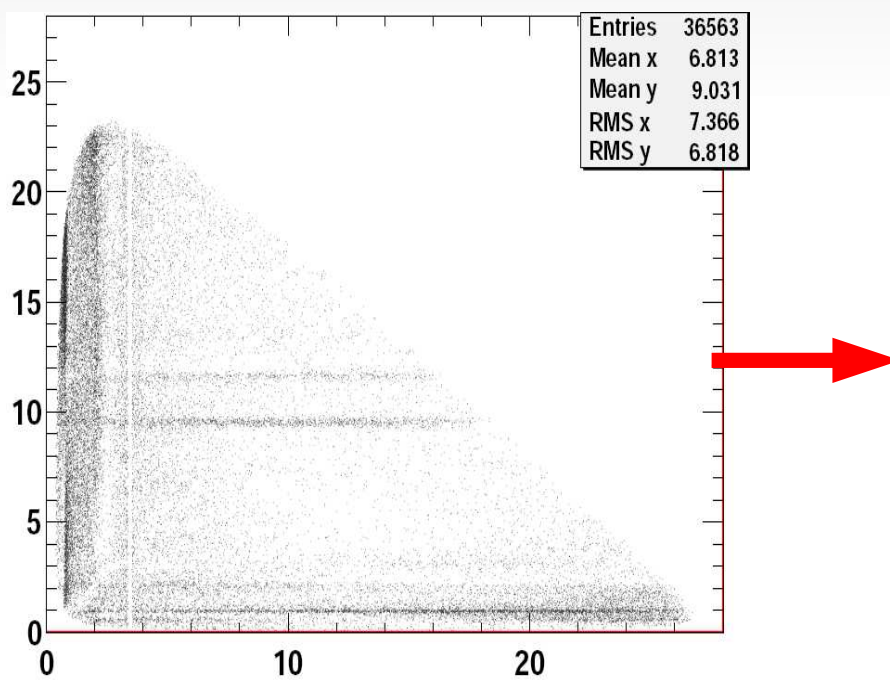


Total charge asymmetry:

$$\text{ACP_RAW} = \frac{N(B^-) - N(B^+)}{N(B^-) + N(B^+)} = -0.061 \pm 0.007$$

Dalitz bins with the same number of events

- Producing a Dalitz surface for the sum of B^+ plus B^- with equal number of events per bin (+1).
- Algorithm divided recursively step-by-step into two with the same number of events, alternating in x and y .



A_{CP} Mirandizing

New quantitative model independent method.

I.B, I.I. Bigi, A. Gomes, J. Miranda, A.C. Dos Reis, J. Otalara and A. Veiga, Phys. Rev. DD 86, 036005 (2012)

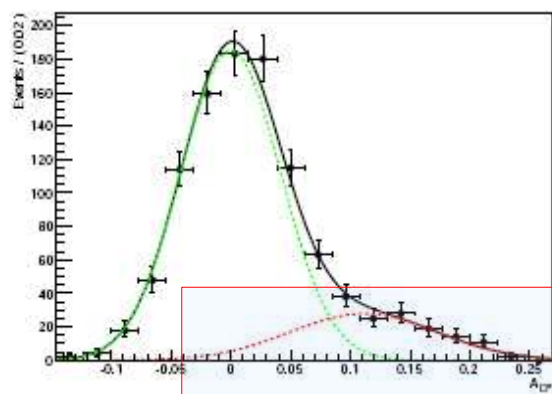
- Since $N^+(i) + N^-(i) = N(i) = \text{constant}$ and the same for all bins, we can redefine:

$$S_{CP}(i) = \frac{N^+(i) - N^-(i)}{\sqrt{(N^+(i) + N^-(i))}} \quad \rightarrow \quad A_{CP}(i) = \frac{N^+(i) - N^-(i)}{N^+(i) + N^-(i)}$$

changing the width from 1 to $1/\sqrt{N(i)}$

S_{CP} Mirandizing → A_{CP} Mirandizing

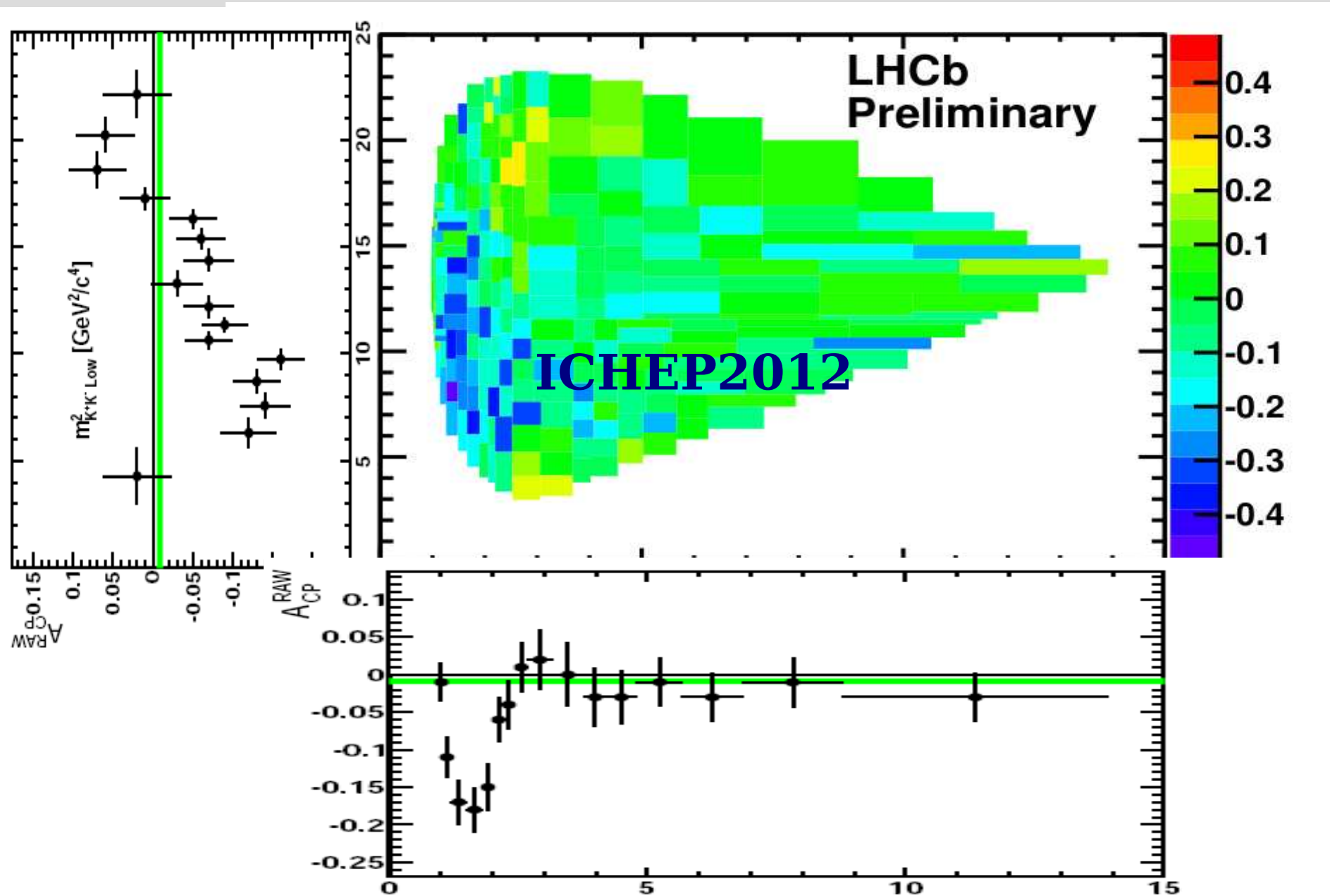
$\text{CP} \Rightarrow g(0,1) \rightarrow \text{CP} \Rightarrow g(0,1/\sqrt{N(i)})$



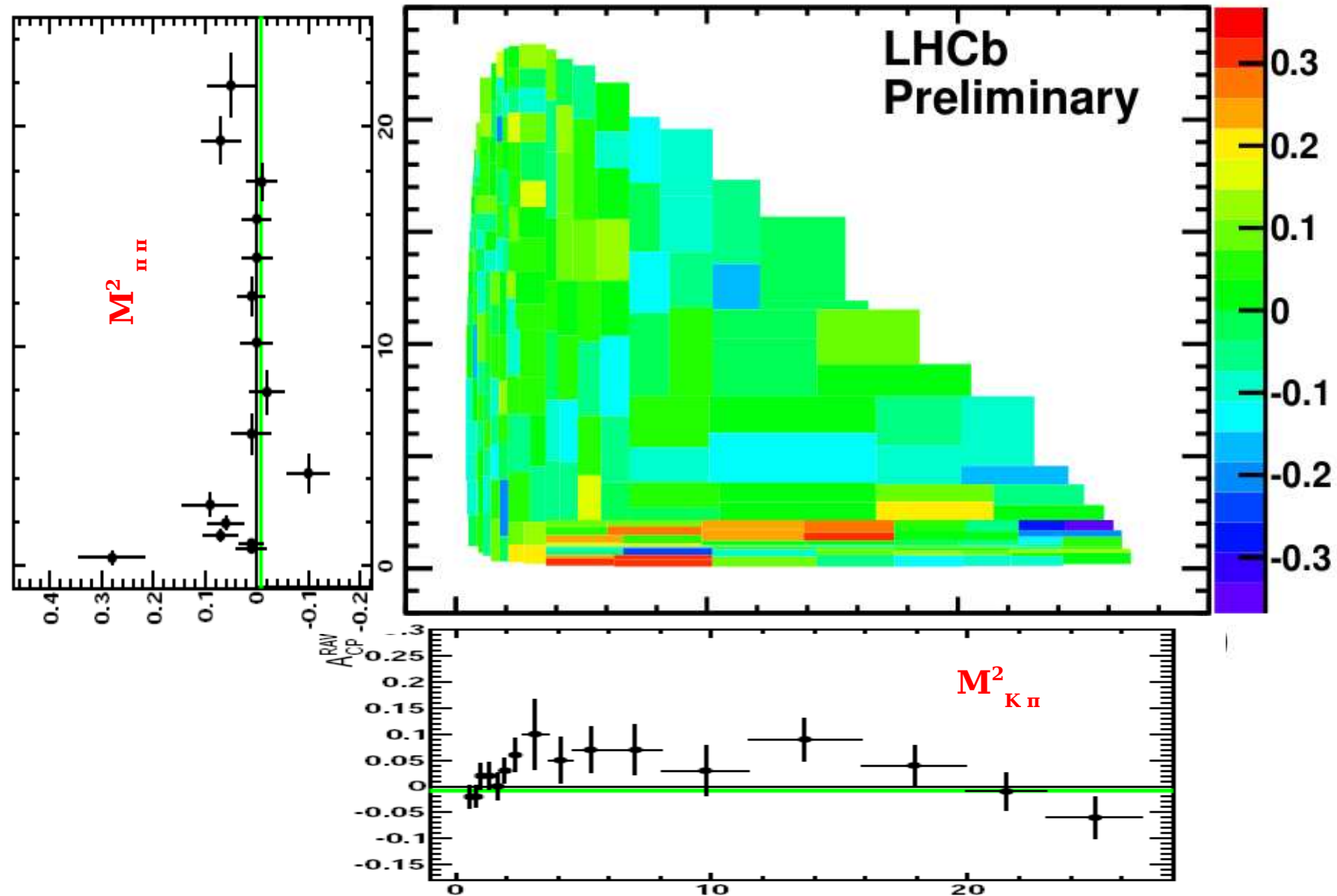
$B^+ - B^-$ Dalitz differences

Low M_{KK}^2 and High M_{KK}^2 phase space distribution

ICHEP2012



$B^+ - B^-$ Dalitz differences $M^2_{K + \pi^-}$ Vs $M^2_{\pi^+ \pi^-}$ phase space distribution



CP asymmetry and CPT

Directly CP violation in a heavy meson decay:

Number of final state coming from a particle is different from anti-particle.

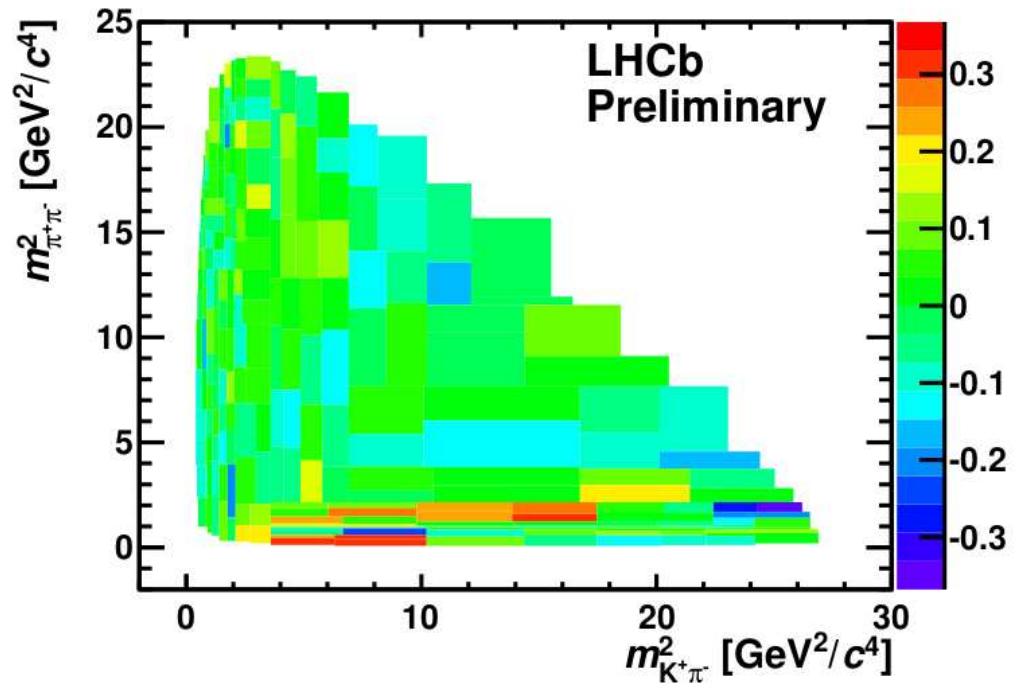
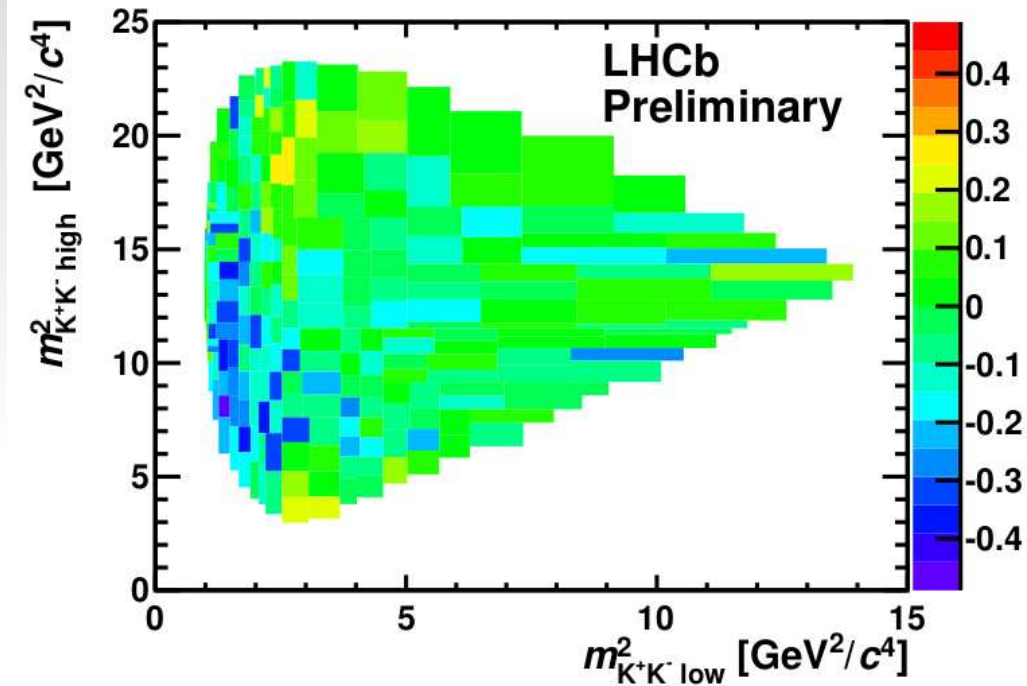
Basic question: Decay of particles produced with same amount: when CP asymmetry is violated, that is $N(M^+ \rightarrow f^+) > N(M^- \rightarrow f^-)$, **where the surplus $M^- \not\rightarrow f^-$ events go?**

CPT imposes that these M^- events go to another *hadronic final state, connected to f^- via S matrix*. Bigi and Sanda or Marshak et al. Books.

Other than weak phases at quarks scale, directly CP violation needs the existence of re-scattering amplitudes different from zero.

$$\text{CPT} \Rightarrow \Delta|A|^2 \rightarrow \Delta|A|^2 \times P(K^+ \pi^- \pi^+ \rightarrow \text{hadrons})$$

What we learned with the first preliminary results from LHCb data?



- ◆ Seems CP violation in $B^+ \rightarrow K^+ \pi^- \pi^+$ decay is positive and the $B^+ \rightarrow K^+ K^+ K^-$ negative.
- ◆ The number of events involved in CP Violation is basic the same.
- ◆ Both have CP Violation in similar low $K^+ K^-$ and $\pi^- \pi^+$ mass kinematic regions.
- ◆ There is a non Dalitz symmetrical CP Violation distribution in both decays.
- ◆ **Are the sources of CP violation for these two channels, correlated by CPT constraint?**

Sumário

Sumário

- 1- não foi encontrada antimatéria no Universo.**
- 2- Violação de CP, observada em pequena quantidade.**
- 3- Força fraca, principal suspeita.**
- 4- Busca de novos fenômenos através de aumento da energia e de alta estatística**
- 5- Busca de violação de CP na desintegração de partículas em três corpos apresenta perspectivas interessantes**
- 6- Novos resultados estão para aparecer.**

Searches for new fermions and bosons

Petra Van Mulders

On behalf of the CMS and ATLAS collaborations

Physics In Collision 2012 - September, 12 - 15

We are not there yet!

Only the latest-greatest results presented, there is much more!

Searches are ongoing, we are starting to exclude some models



We are not there yet!

Only the latest-greatest results presented, there is much more!

Searches are ongoing, we are starting to exclude some models

But we are not done yet,
theorists tend to reanimate
their favorite models...

